

Základy klinické onkologie

07 – Nádory CNS

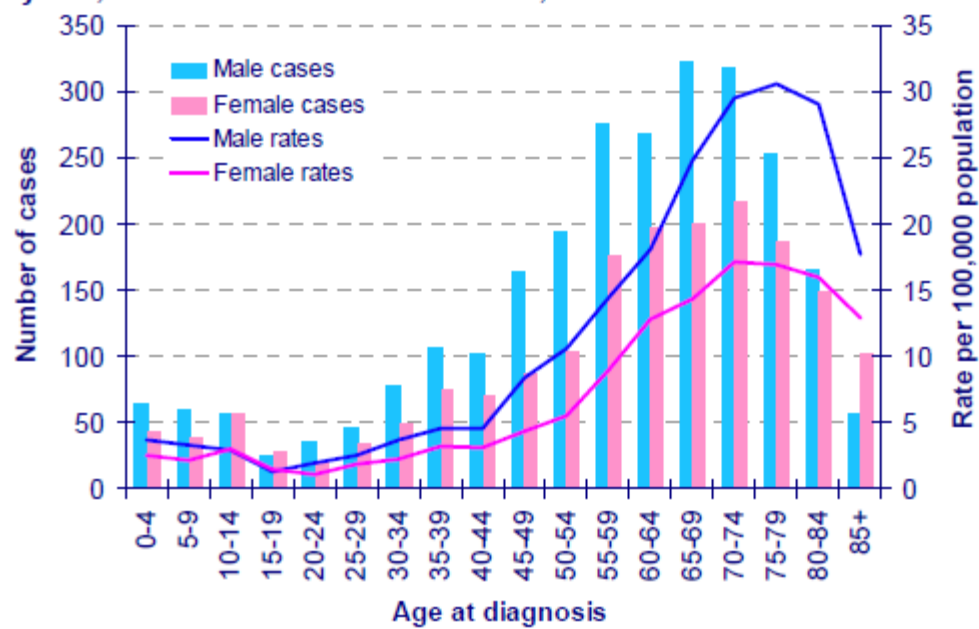


Zitterbart K., Pavelka, Z.

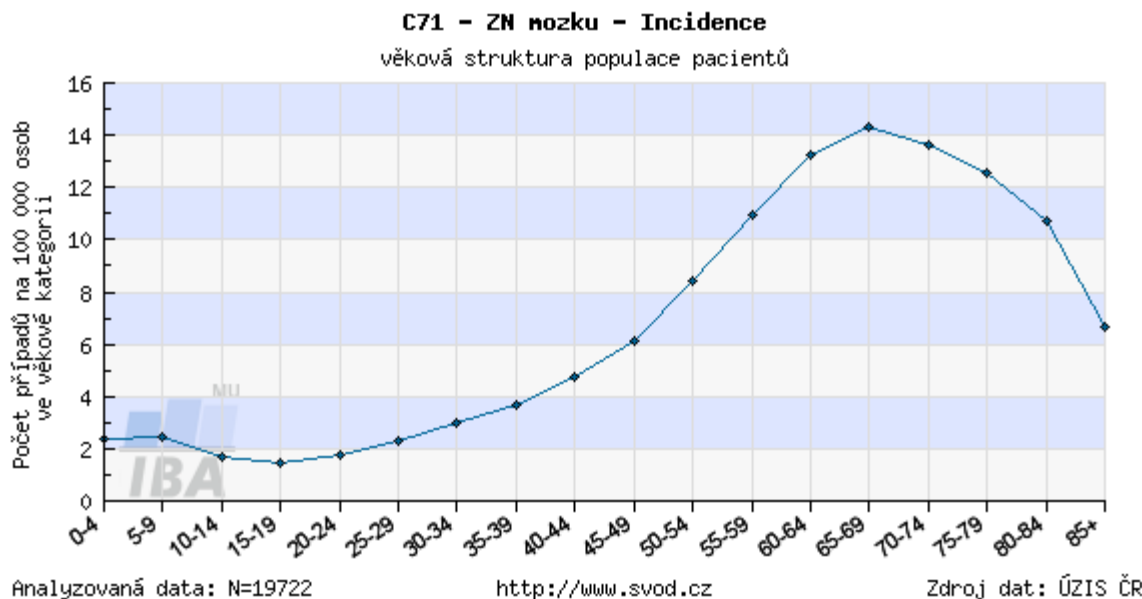
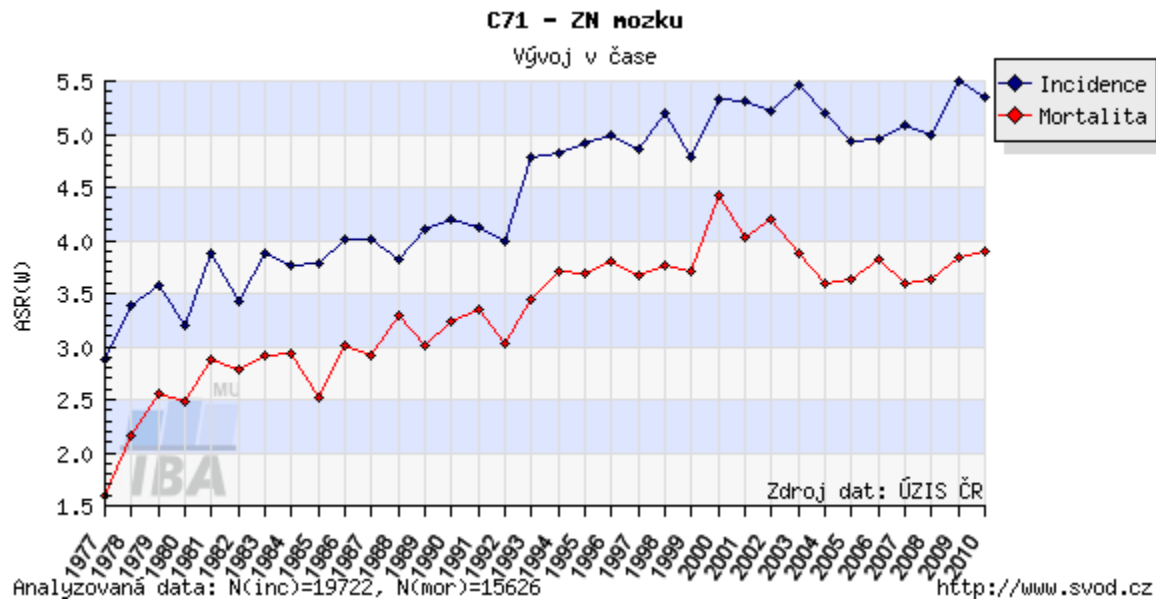
Klinika dětské onkologie LF MU a FN Brno

Primární nádory CNS

Figure 1.1: Numbers of new cases and age specific incidence rates, by sex, brain and other CNS tumours, UK 2004

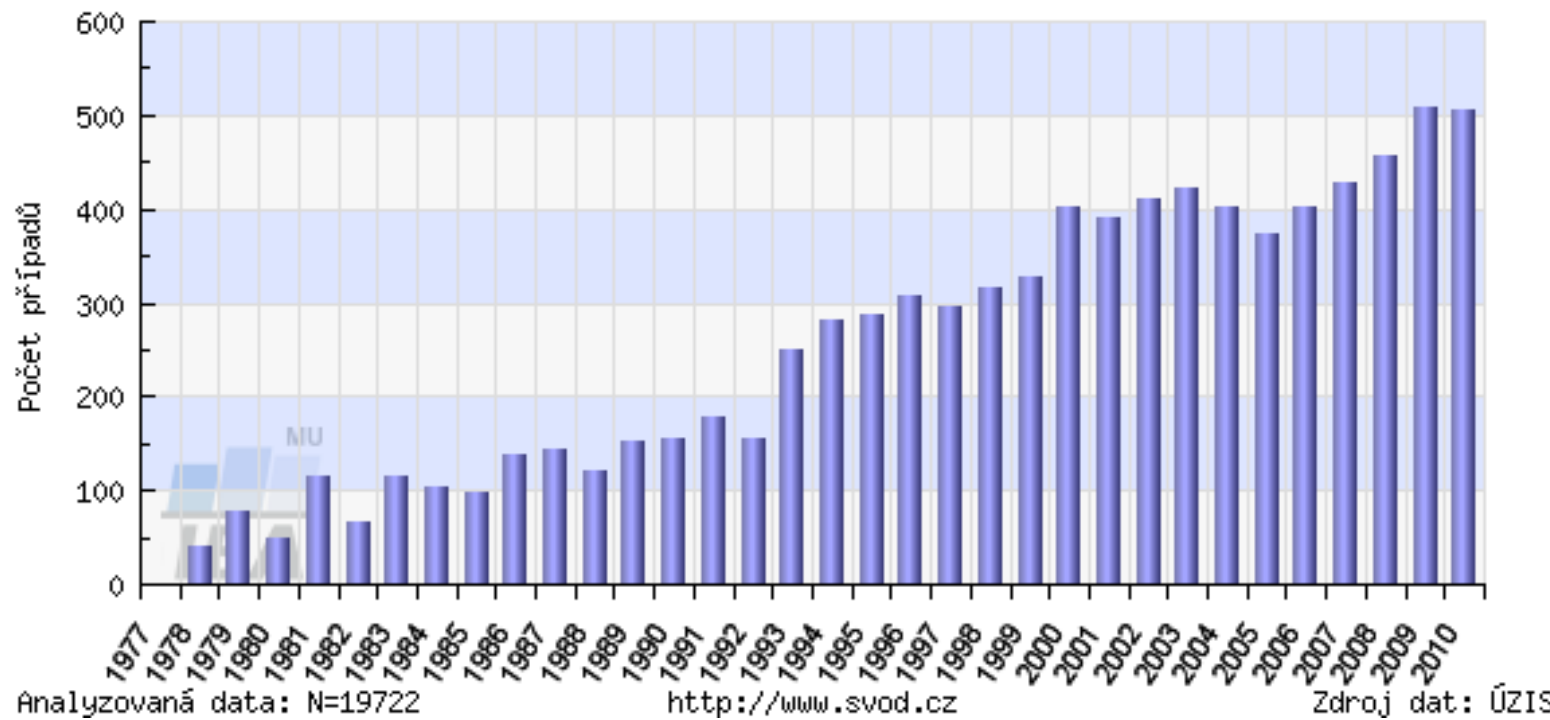


Cancer Research UK 2007

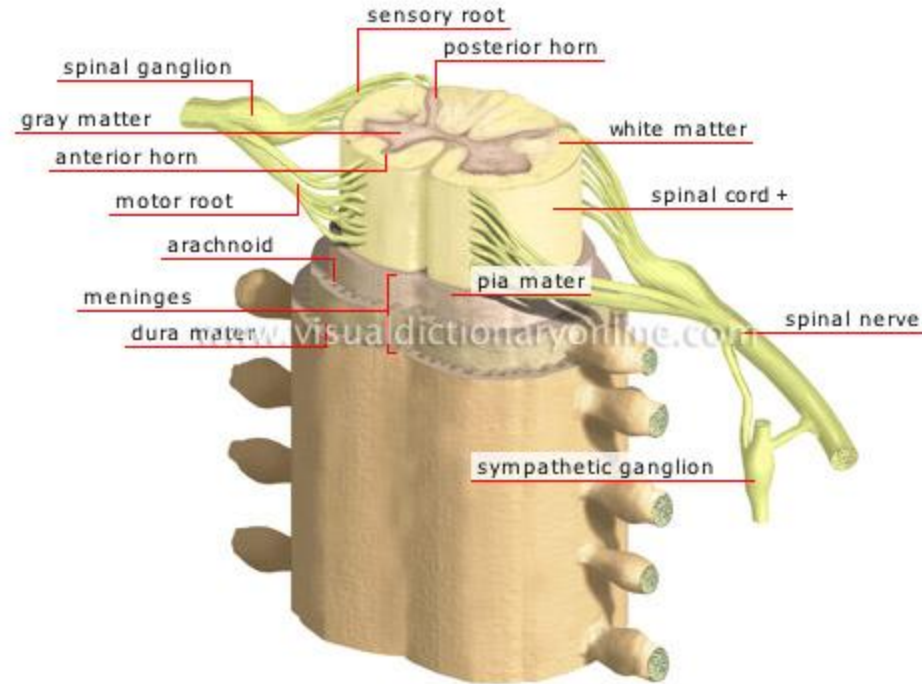
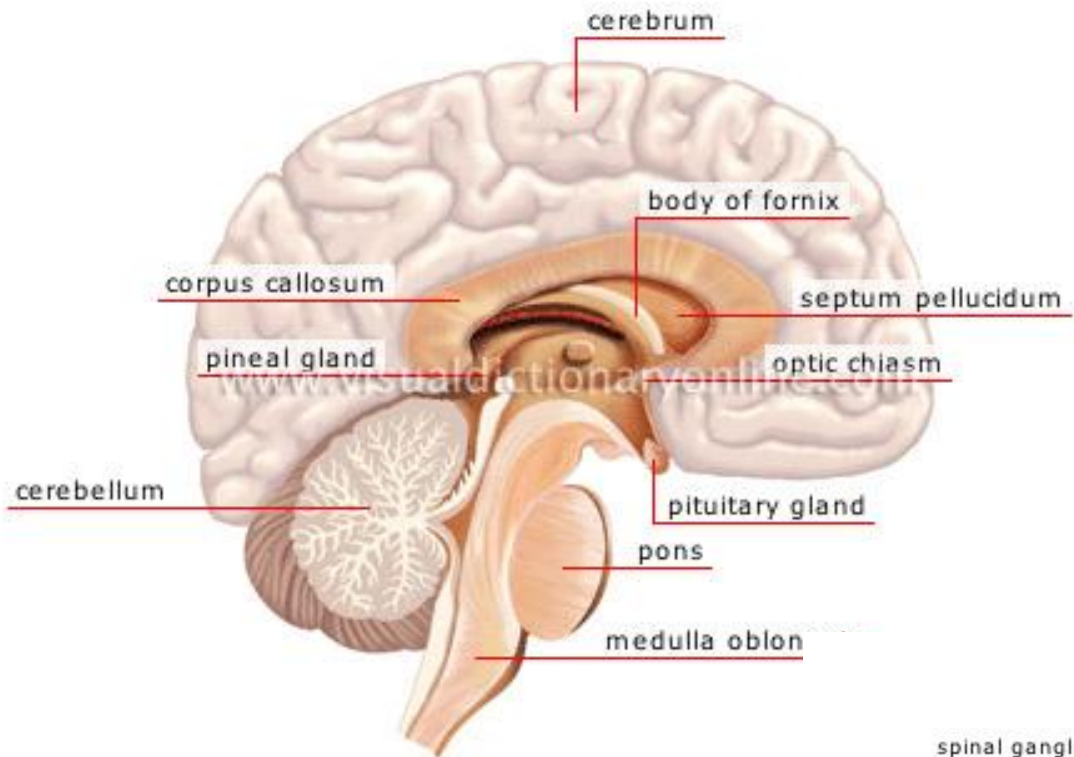


C71 - ZN mozku

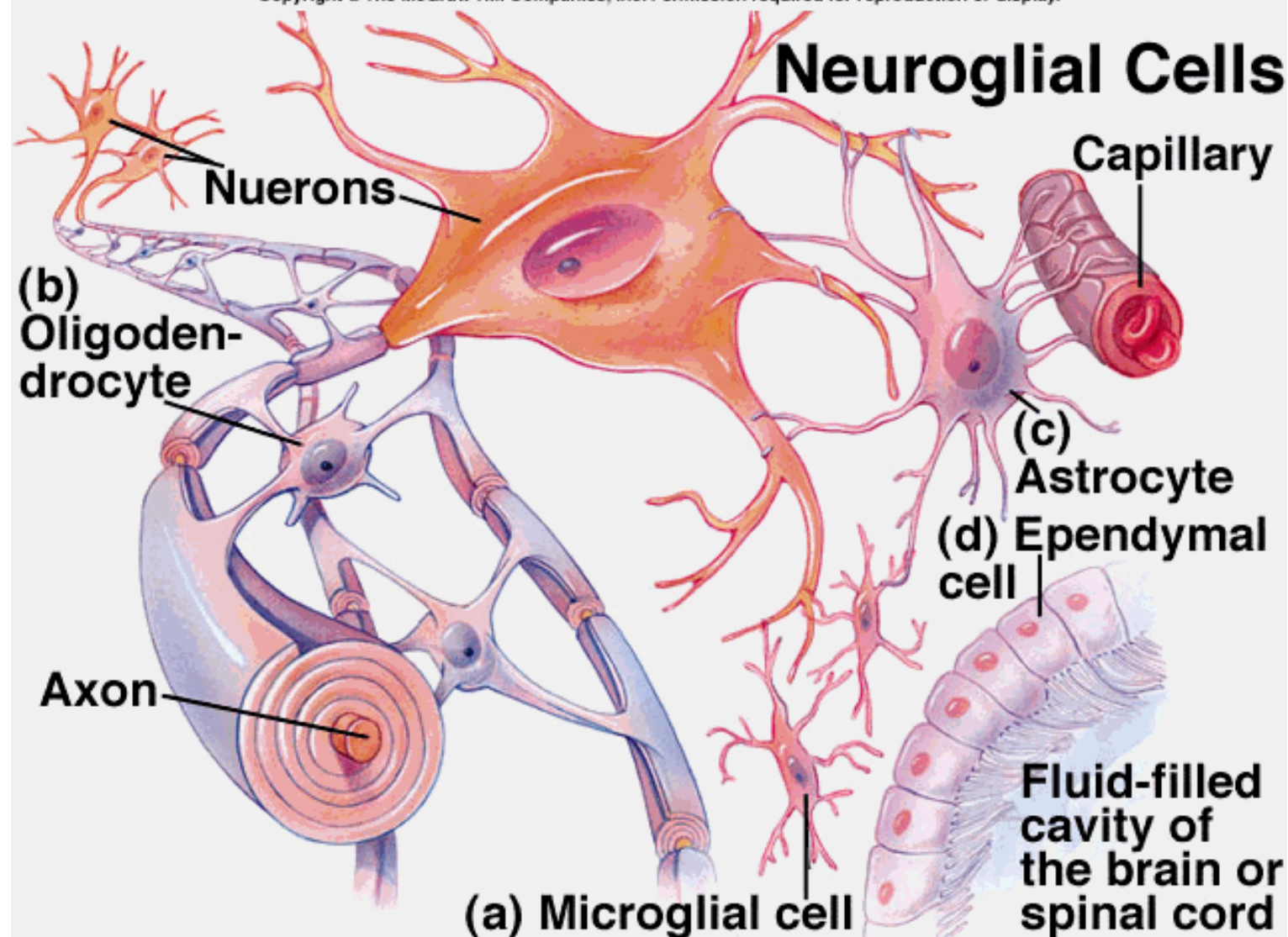
index růstu incidence k roku 1977

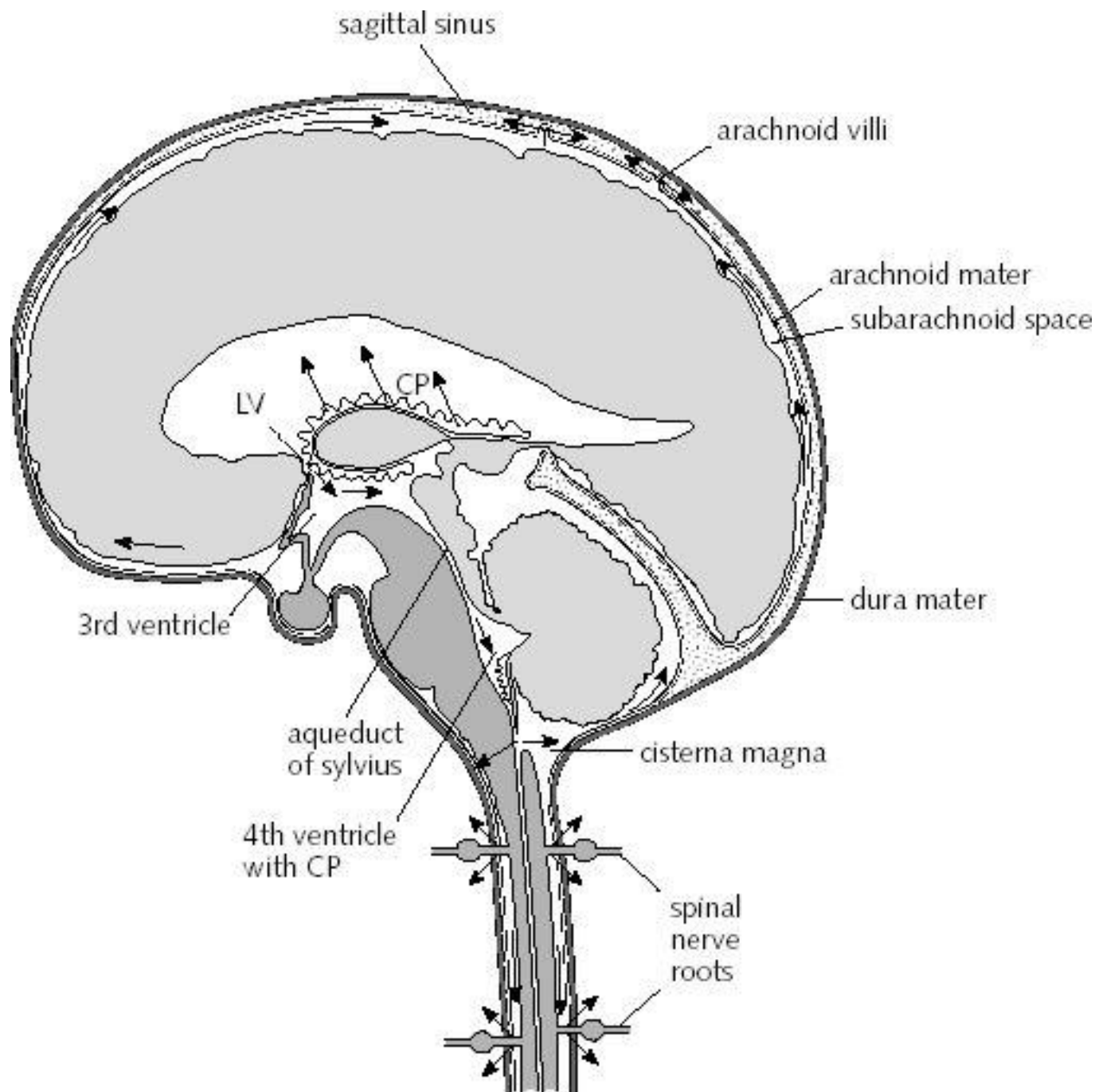


- primární maligní mozkové nádory tvoří **2 % všech nádorů dospělých, asi 20 % všech nádorů dětí**
- avšak poměrně vyšší morbidita a mortalita
- WHO klasifikace: skupiny na základě tkáňového původu
- v diagnostice hraje nyní rozhodující roli strukturální vyšetření CNS : CT mozku a magnetická rezonance mozku
- léčba se odvíjí od histologické diagnózy
- zásadní vliv má u většiny nádorů (výjimkou germinální nádory CNS či lymfomy CNS) **chirurgická resekce**
- adjuvantní (po-operační) **radioterapie a chemoterapie** zlepšuje přežití u pacientů s maligními (high-grade = gr. 3, 4) nádory
- současný rozvoj systémové terapie (chemoterapie a biologická léčba) ukazuje nové možnosti pro pacienty s recidivou nádoru



Copyright © The McGraw-Hill Companies, Inc. Permission required for reproduction or display.





Tab. 1 – Klasifikace nádorů CNS (zpracováno podle WHO)

Neuroepiteliální nádory CNS

- I. Astrocytické nádory (gradus I-IV)
 1. Pilocytičký astrocytom (WHO gradus I)
 2. Astrocytom (WHO gradus II)
 - varianty: protoplazmatický, gemistocytický, fibrilární, smíšený
 3. Anaplastický astrocytom (WHO gradus III)
 4. Multiformní glioblastom (glioblastoma multiforme) (WHO gradus IV)
 - varianty: obrovskobuněčný glioblastom, gliosarkom
 5. Gliomatosis cerebri (WHO grade IV)
 6. Subependymální velkobuněčný (giant cell) astrocytom
 7. Pleomorfní xantoastrocytom (WHO gradus I)
- II. Oligodendroglialní nádory
 1. Oligodendrogliom (WHO gradus II)
 2. Anaplastický oligodendrogliom (WHO gradus III)
- III. Ependymální nádory
 1. Ependymom (WHO gradus II)
 2. Anaplastický ependymom (WHO gradus III)
 3. Subependymom (WHO gradus I)
- IV. Smíšené gliomy
 1. Smíšený oligoastrocytom (WHO gradus II)
 2. Anaplastický oligoastrocytom (WHO gradus III)
 3. Další (např. ependymo-astrocytom)
- V. Nádory plexus choroideus
 1. Papilom choroidálního plexu
 2. Karcinom choroidálního plexu
- VI. Neuronální a smíšené neuronální-gliální nádory
 1. Gangliocytom
 2. Dysplastický gangliocytom mozečku (Lhermitte-Duclos)
 3. Gangliogliom
 4. Anaplastický gangliogliom
 5. Desmoplastický infantilní gangliogliom
 6. Centrální neurocytom
 7. Dysembryoplastický neuroepiteliální nádor
 8. Esterizoneuroblastom
- VII. Nádory corpus pineale
 1. Pinealocytom
 2. Pinealoblastom (histogeneticky řazen k embryonálním nádorům CNS, gradus IV)

VIII. Embryonální nádory CNS

1. Primitivní neuroektodermální nádory (PNET)
 - A. Medulloblastom („infratentoriální PNET“)
 - varianty: medulloblastom klasický, melanocytický a desmoplastický (se subtypem medulloblastom s extrémní nodulární predominancí, „mozečkový neuroblastom“), medulomyoblastom
 - B. Supratentoriální primitivní neuroektodermální nádor (sPNET)
2. Medulloepiteliom
3. Ependymoblastom
4. Atypický teratoid/rabdoidní nádor

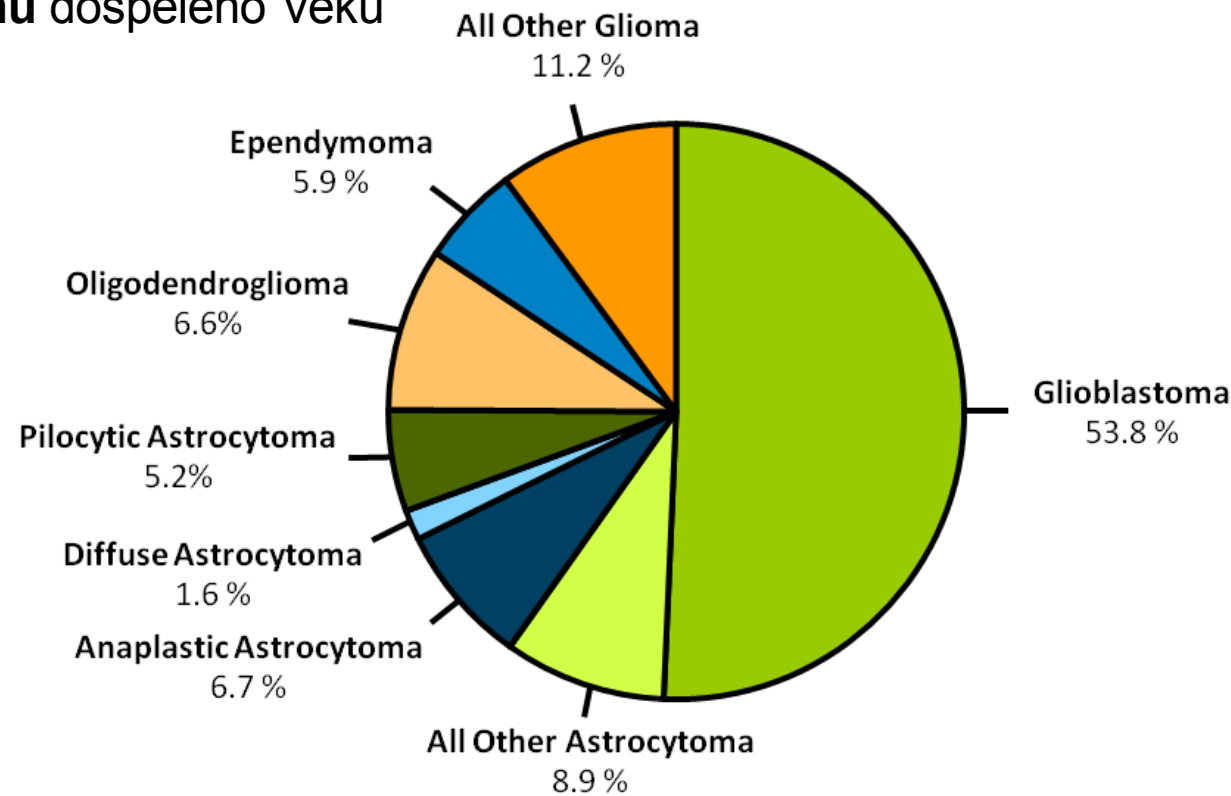
Další nádory CNS

- I. Nádory selly
 1. Adenom hypofýzy
 2. Karcinom hypofýzy
 3. Kraniofaryngom
- II. Nádory hematopoetické, především primární maligní lymfomy CNS
- III. Germinální nádory CNS
- IV. Nádory meninx
 1. Meningeom
 2. Atypický meningeom
 3. Anaplastický meningeom
 4. Mezenchymální nádory mening (benigní, maligní)
 5. Primární melanocytické léze
 - A. Melanóza
 - B. Maligní melanom
- V. Nádory hlavových a míšních nervů
 1. Schwannom (neurinom, neurilemorn)
 2. Neurofibrom (solitární, plexiformní)
 3. Maligní schwannom (malignant peripheral nerve sheath tumor)
- VI. Nádory lokálně invazivně se šířící do CNS
 1. Paragangliom (chemodektom)
 2. Chordom
 3. Chondrom
 4. Chondrosarkom
 5. Karcinomy
- VII. Metastatické nádory

Dospělí :

- gliomy (40–50 % všech nádorů mozku)
- menigiomy (12–15 %)

Distribuce gliomů dospělého věku

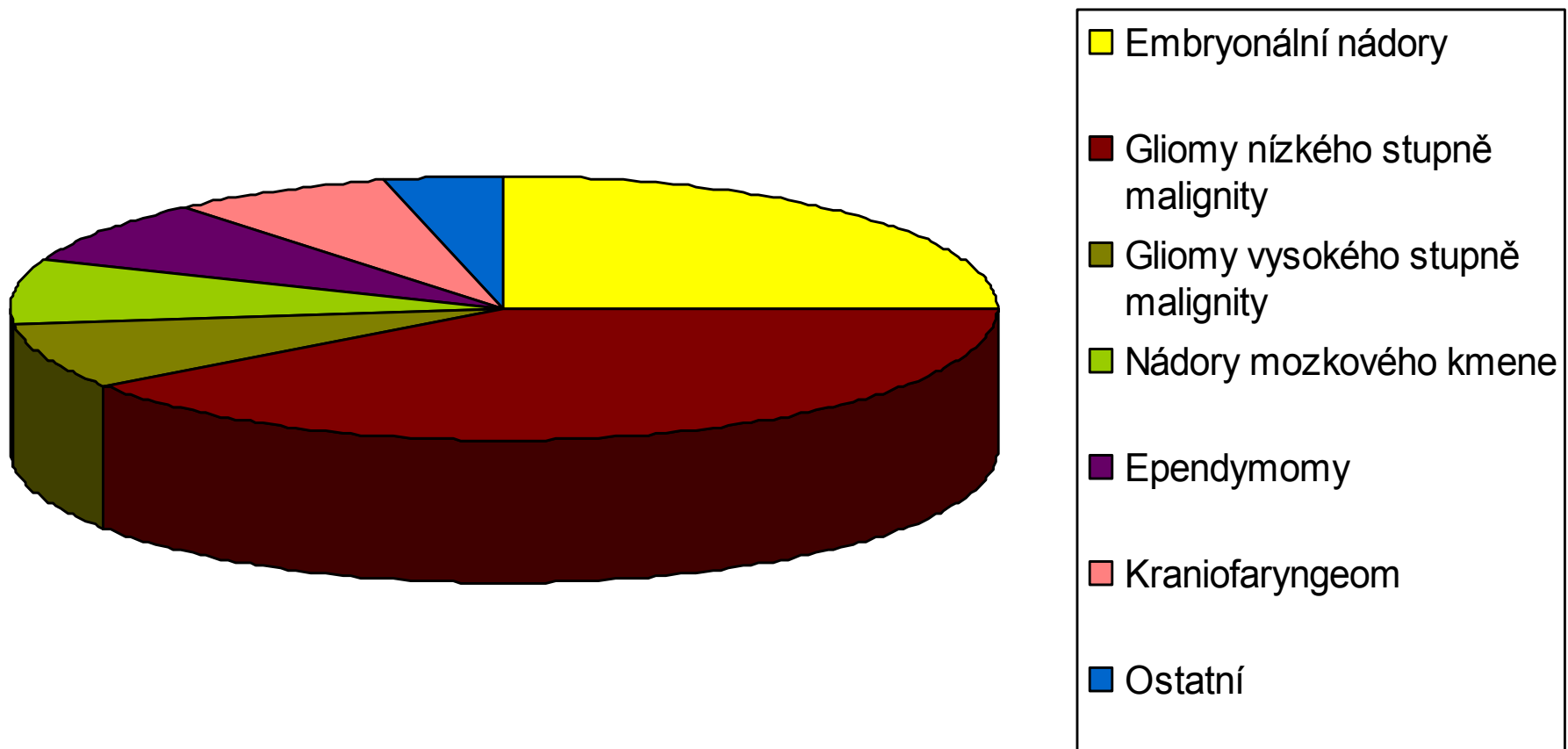


CBTRUS: 2004-2006.

Děti :

	Relativní incidence	Věk (roky)
<u>Astrocytomy, low-grade,</u> z toho: – supratentoriální lokalizace – infratentoriální lokalizace	35 % 13 % 22 %	2–10 >6 2–10
<u>Astrocytomy, high-grade,</u> (anaplastický astrocytom a multiformní glioblastom)	8 %	<1, >6
<u>Nádory mozkového kmene</u>	8 %	3–9
<u>Oligodendrogliom</u>	2 %	<6
<u>Meduloblastom</u> a další nádory embryonální histologie (supratentoriální primitivní neuroektodermální nádor, PNET, a atypický teratoid/rhabdoidní nádor, AT/RT);	20 %	1–10
<u>Ependymom,</u> z toho: – supratentoriální lokalizace – infratentoriální lokalizace	8–10 % 5 % 3 %	>6 1–5
<u>Kraniofaryngom</u>	7 %	8–14
<u>Nádory glandula pinealis a germinální nádory CNS</u>	4 %	<2, >6
<u>Nádory plexus choroideus</u>	2 %	<1
Další: např. gangliogliom, DNET , centrální neurocytom, meningiom etc.	< 2%	

relativní četnost nádorů CNS u dětí (data KDO FN Brno)



Etiologie

- Etiologie většiny nádorů CNS není známa a vyskytuje se jako sporadická onemocnění
- Za jediný prokázaný zevní etiologický faktor je považována **expozice ionizujícímu záření** (děti léčené ve 40. a 50. letech minulého století radioterapií pro tinea capitis trpěly postradiačními gliomy a meningeomy)
- u dětí léčených radioterapií na neurokranium se setkáváme se **sekundárními malignitami CNS** (např. po léčbě pro akutní lymfoblastickou leukémii či nehodgkinský lymfom, s latencí 5 – 25 let).
- Méně než 10 % nádorů mozku či míchy se vyskytuje u pacientů **s hereditárním syndromem se známou spojitostí s výskytem nádorů CNS**

Syndrom	Gen	Nádor CNS
Neurofibromatóza typu 1	NF1 (neurofibromin)	gliomy optické dráhy, <i>low-grade</i> astrocytomy v diencephalon, hemisférách či infratentoriálně
Neurofibromatóza typu 2	NF2 (merlin)	schwannom, meningeom, ependymom
Tuberózní skleróza	TSC1, TSC2	subependymální velkobuněčný astrocytom
von Hippel–Lindau	VHL	hemangioblastomy (mozeček, mícha, retina)
Gorlinův syndrom (syndrom bazocelulárního névu)	PTCH	meduloblastom
Turcotův syndrom	APC, MLH1, PMS2	meduloblastom, glioblastom
Li–Fraumeni	TP53	astrocytomy, karcinom choroidálního plexu, meduloblastom

Neurofibromatóza typu 1 (NF1)

Nejznámější z **fakomatáz** (neuro-kutánních syndromů, ř. fakos – čočka)

Dominantně dědičné multisystémové onemocnění, které je ve familiární i sporadické formě podmíněno mutací genu pro neurofibromin (lokalizován na 17q11.2, jde o GTPase activating protein, GAP, zahrnutý v signální dráze onkoproteinu ras) de novo mutace v 50%

Vedle **specifických kožních změn** („café au lait“ skvrny), případných **změn na skeletu** a hamartogenních **změn na duhovce** (Lischovy noduly), **bývá NF–1 spojena se zvýšeným výskytem nádorů**

Kromě **benigního periferního či plexiformního neurofibromu, feochromocytomu a maligního schwannomu** se setkáváme rovněž s **nádory CNS**. Nejtypičtější je postižení **low-grade astrocytomem v oblasti optické dráhy**

U dětí s NF–1 nalézáme ve vysoké prevalenci při MR mozku hyperintenzní léze v T2 váženém obrazu, považovány za „hamartogenní“ a nikoliv nádorové postižení.

Diagnostická kritéria neurofibromatózy typu 1

DVĚ A VÍCE = KLINICKÁ DG NF-1

- 6 a více **café au lait skvrn** na kůži (nad 5 mm do puberty, nad 15mm po pubertě)
- přítomnost 2 a více **neurofibromů**, nebo 1 a více plexiformních neurofibromů
- axilární a inguinální hyperpigmentace (**freckling**)
- přítomnost **Lischových nodulů** (hamartomy duhovky)
- **nádor zrakové dráhy**
- **specifické kostní změny**
- **prvostupňový příbuzný s NF1**

DISPENZARIZACE



Tuberousí sklerosa (TSC, tuberous sclerosis complex)

- Multisystémová, geneticky podmíněná nemoc s autosomálně dominantní přenosem
- Ve 2/3 vzniká na podkladě nové mutace
- Významně snižuje kvalitu života postižného
- Jde o potenciálně život ohrožující onemocnění
- Charakteristická je přítomnost mnohočetných hamartomů a neurologického vývojové postižení
- Většina nemocných je nositelem mutace v genu *TSC1* nebo *TSC2*, jejíž důsledkem je trvalá aktivace mTOR signální dráhy (mammalian target of rapamycin complex 1)

Epidemiologie TSC

- Odhadová prevalence TSC 1 : 6000 - 10000
- 1,5 milionu postižených celosvětově
- ČR: 1 000 – 1 500 nemocných s TSC

Klinická manifestace TSC

- Epileptická aktivita (EA), infantilní spasmy (IS)
- Subependymální obrovskobuněčný astrocytom (SEGA)
- Angiomyolipomy (AML)
- Angiofibromy (AF)
- Srdeční rhabdomyomy
- Plicní lymfangioleiomyomatosa (LAM)
- Postižení sítnice
- Neurovývojové postižení - poruchy autistického spektra, další psychologická a psychiatrická onemocnění

Klinická diagnostická kritéria TS Consensus Conference 1998

Major features

- Facial angiofibromas or forehead plaque
- Nontraumatic ungula or periungual fibroma
- Hypomelanotic macules (three or more)
- Shagreen patch migration lines
- Multiple retinal nodular hamartomas
- Cortical tuber[†]
- Subependymal nodule
- Subependymal giant-cell astrocytoma
- Cardiac rhabdomyoma, single or multiple
- Lymphangiomyomatosis, renal angiomyolipoma, or both^{*}

Definite TSC:

Either two major features or one major feature plus two minor features

Probable TSC:

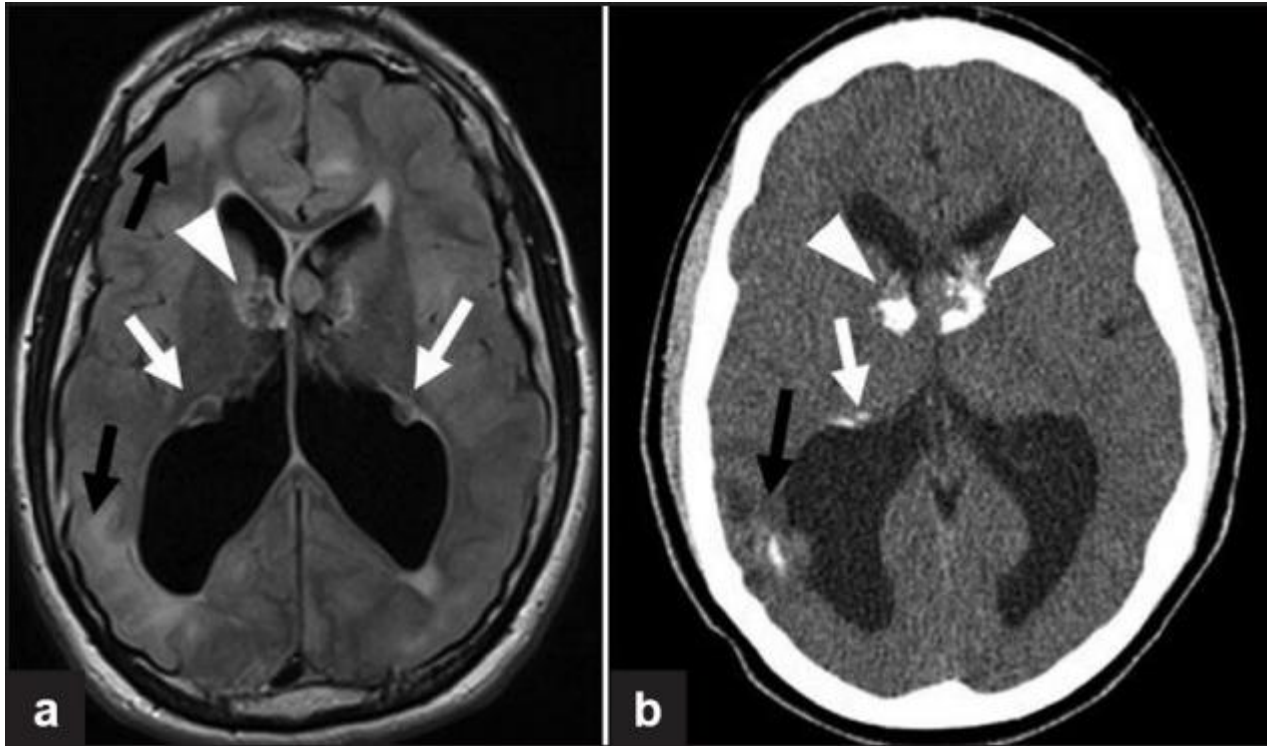
One major plus one minor feature

Minor features

- Multiple, randomly distributed pits in dental enamel
- Hamartomatous rectal polyps[§]
- Bone cysts[¶]
- Cerebral white matter radial migration lines^{||}
- Gingival fibromas
- Nonrenal hamartoma[†]
- Retinal achromic patch
- Confetti-like skin lesions
- Multiple renal cysts[¶]

Possible TSC:

Either one major feature or two or more minor features



A 20-year-old woman with tuberous sclerosis. (a) Axial FLAIR MR shows small subependymal nodules along the lateral walls of the lateral ventricles (white arrows) and heterogeneous masses at the foramen of Monro that likely represent subependymal giant cell astrocytomas (arrowheads). There is cortical and sub-cortical bright signal indicating tubers (black arrows). (b) Noncontrast head CT at the corresponding location shows calcifications at the subependymal giant cell astrocytomas (arrowheads), subependymal nodules (white arrows) and cortical tuber (black arrows) on the right.

Kožní postižení u TSC



Klinické projevy

Celkové příznaky jsou dány zvýšením intrakraniálního tlaku, jež je způsoben progresivním růstem nádoru v prostoru limitovaném kostěnou lebeční schránkou.

Místní příznaky jsou vyvolány lokalizací nádoru v jednotlivých částech mozku.

- Bolest hlavy
 - Syndrom intrakraniální hypertenze
 - Parézy (obrny)
 - Křeče
 - Ataxie
- Malé dítě:
- Opoždění vývoje
 - Ztráta vývojových milníků
 - Makrocefalie

Klinické projevy

- **Stejné příznaky** má nádor zhoubný i nezhoubný ve stejné lokalizaci
- **Nejlepší screening =** kvalitní neurologické vyšetření: většina pacientů s bolestmi hlavy a mozkovým nádorem má klinicky abnormní neurologický nález



Syndrom nitrolební hypertenze

- Větší děti, dospělí
 - + bolest hlavy
 - + ranní zvracení
 - + městnavá papila
 - + diplopie
 - +/- neurotopiccký nález
- Kojenci, batolata
 - + kompensatorní makrocefalie
 - + rozšíření žilní kresby
 - + nespecifická irritabilita
 - + opožďování vývoje

Léčba nádorů CNS

V klinické praxi je vhodné léčebnou strategii nových případů nádorů CNS a jejich recidiv řešit v rámci **multidisciplinárních komisí** za účasti neurochirurga, radioterapeuta, onkologa, neuroradiologa, neurologa a neuropatologa

- léčba se odvíjí od histologické diagnózy
- zásadní vliv má u většiny nádorů (výjimkou germinální nádory CNS či lymfomy CNS) **chirurgická resekce**
- adjuvantní (po-operační) **radioterapie a chemoterapie** zlepšuje přežití u pacientů s maligními (high-grade = gr. 3, 4) nádory
- současný rozvoj systémové terapie (chemoterapie a biologická léčba) ukazuje nové možnosti pro pacienty s recidivou nádoru

Multiformní glioblastom:

- nejčastější maligní nádor CNS dospělých
- u mladých mužů je maligní primární nádor CNS **jednou z nejčastějších příčin úmrtí ve věkové skupině 20 – 39 let**
- **medián věku při dg. je 64 let**

adultní glioblastomy (WHO grade IV) u starších pacientů , bez předchozí evidence prekurzorové léze : = **primarní , resp. „de novo“ glioblastomy** :

EGFR amplifice /overexprese

PTEN mutace

u mladších pacientů : často „**sekundární glioblastom**“ = pomalá progrese z gr. II glioblastomu (difuzního) či WHO gr. III (anaplastického astrocytomu)

p53 mutace

amplifikace a overexprese *PDGFR-α* vedou typicky k sekundárním glioblastomům

Astrocyte Mutation

- Normal Astrocyte
- Neoplastic
- Anaplastic
- GBM



Deletions:
17p P53
22q NF2

Excess production of:
PDGF

Deletions:
13q RB
19q
10

Excess production of:
CDK4

Deletions:
10 PTEN/MMAC1
9p P16,P15,P14

Excess production of:
EGFR
VEGF

Diffuse Astrocytoma: Enlarged Hemisphere



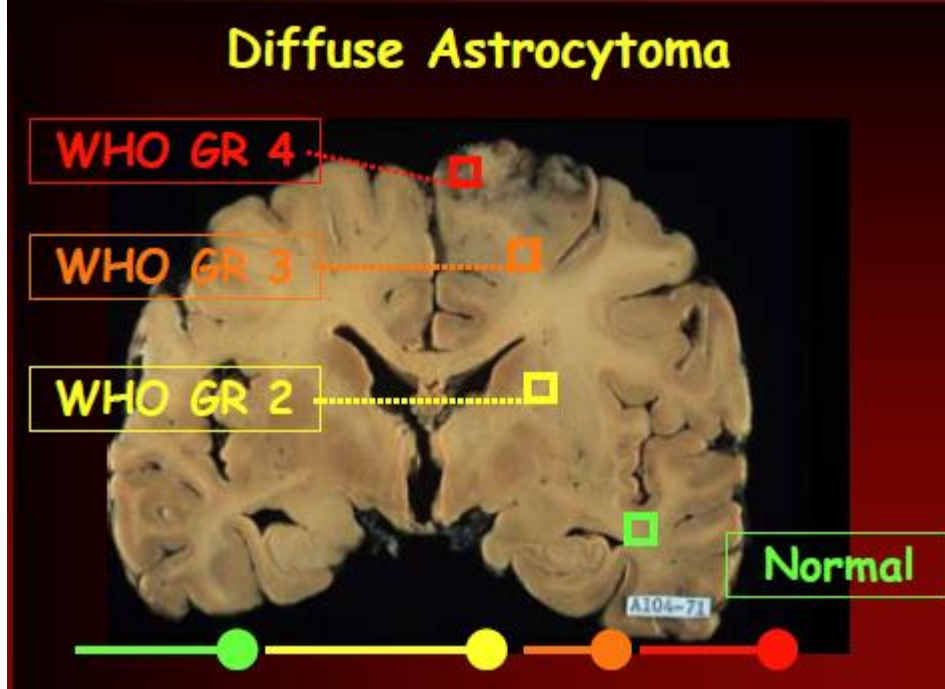
Diffuse Astrocytoma

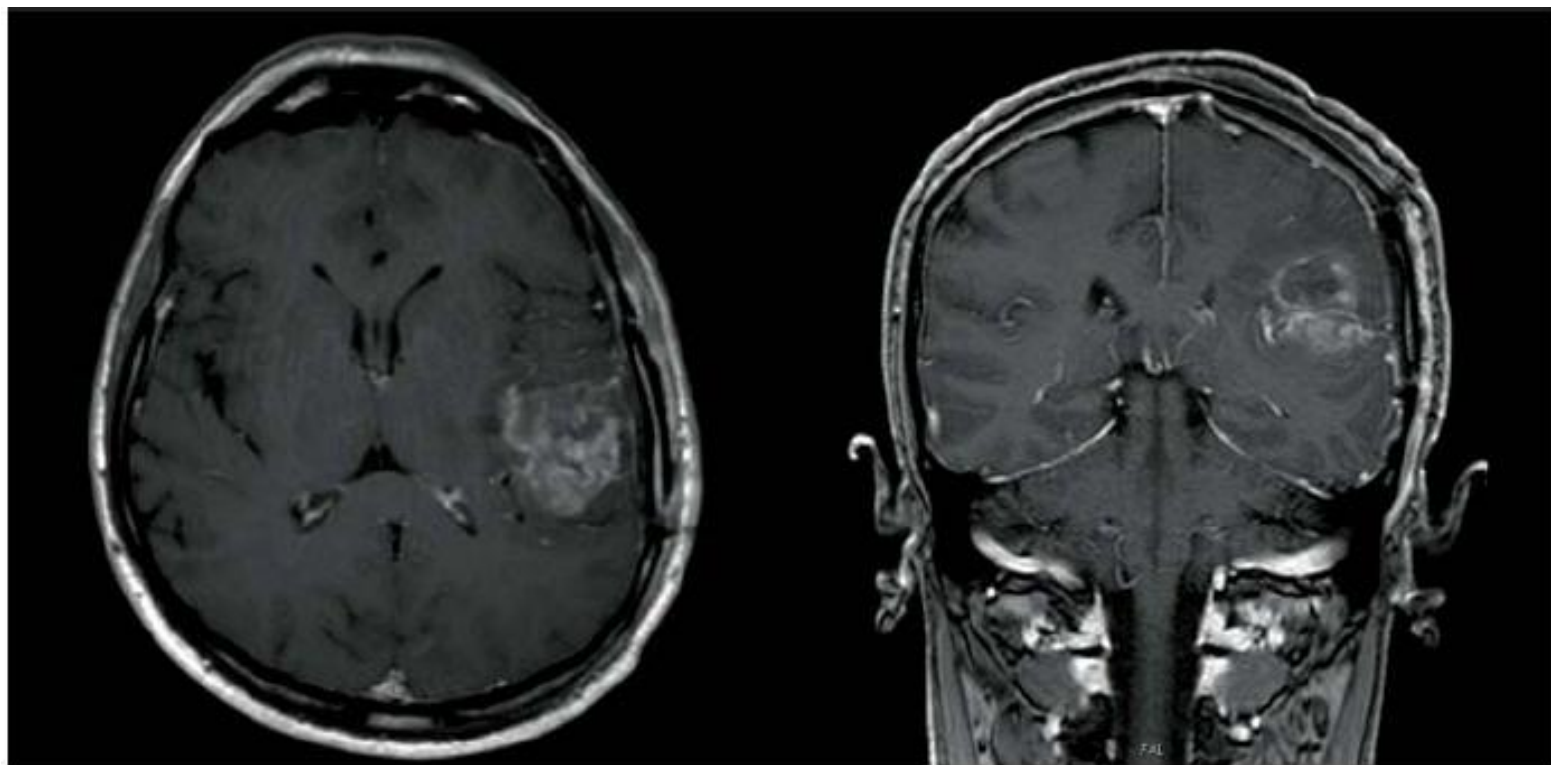
WHO GR 4

WHO GR 3

WHO GR 2

Normal





RT + TMZ vs RT EORTC-NCIC Trial

- N = 573 patients
- Primary endpoint: overall survival
 - RT = 12.1 months
 - RT + TMZ = 14.6 months
 - P < .0001
- Secondary endpoints: progression-free survival, QOL, safety
- No negative impact on QOL

Standard léčby high grade gliomů :

1) resekce

2) adjuvantní léčba:

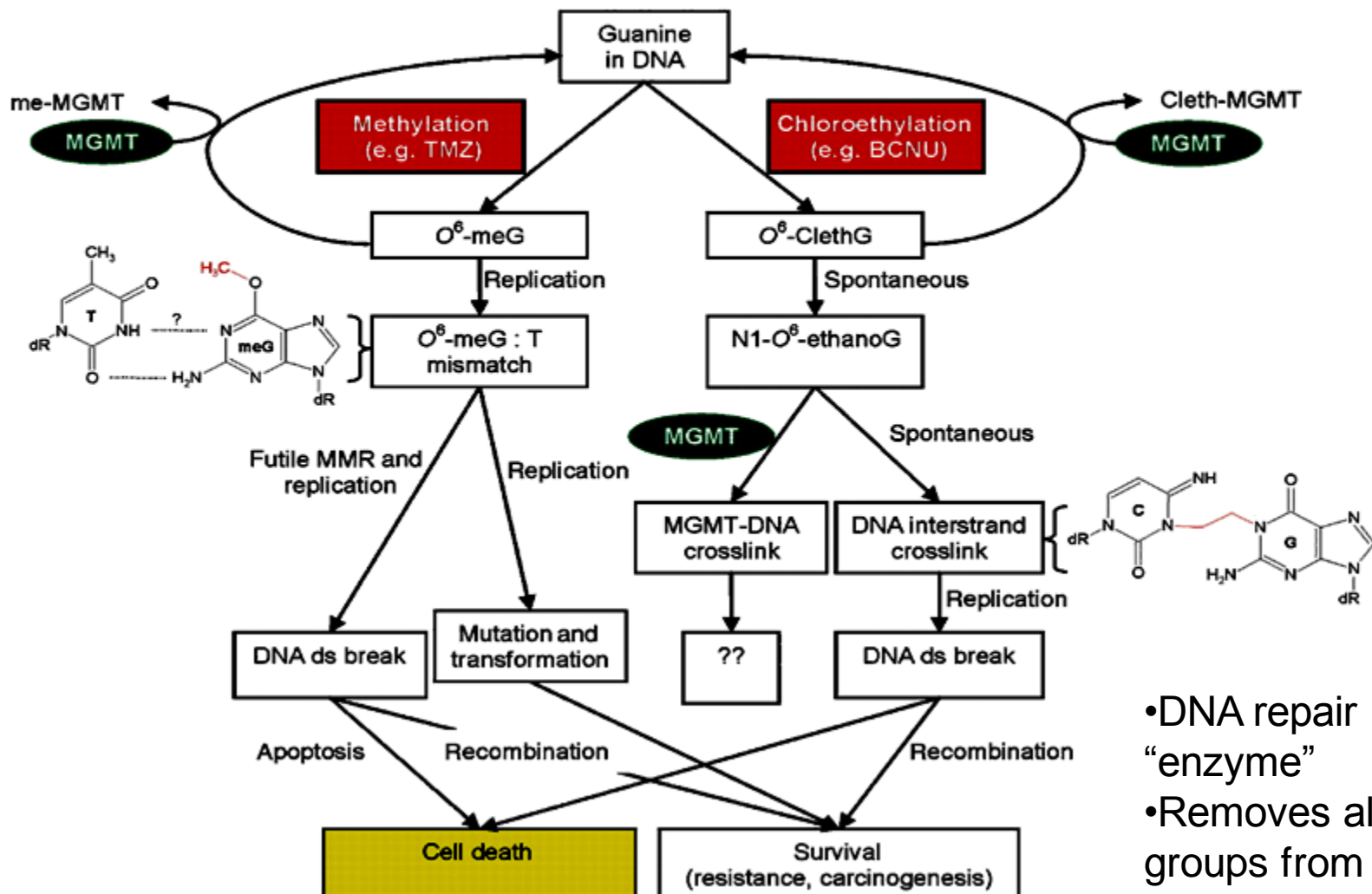
i) radioterapie konkomitantně
(společně) s podáním **temozolomidu**
A ii) následně temozolomid blokově

5-Year Follow-up

Survival	RT	RT + TMZ
Median	12.1 mo	14.6 mo
2-year	10.9%	27.2%
3-year	4.4%	16.0%
4-year	3.0%	12.1%
5-year	1.9%	9.8%

Temozolomide Resistance

O⁶-Methylguanine-DNA Methyltransferase



- DNA repair “enzyme”
- Removes alkyl groups from the O⁶position of guanine

EORTC-NCIC Trial

Effect of MGMT Promoter Methylation

Outcome	Methylated MGMT Promoter (\downarrow MGMT) (n=46)	Unmethylated MGMT Promoter (\uparrow MGMT) (n=60)
Progression-free survival		
Median duration	10.3 mo	5.3 mo
6-month	68.9%	40.0%
Overall survival		
Median duration	21.7 mo	12.7 mo
2-year	46.0%	13.8%

Rozdělení radioterapie

- **Zevní radioterapie (externí, EBRT, TCT)**
zdroj záření je 80-100 cm mimo cílový objem
(radiokobaltové přístroje, lineární urychlovače),
u RTG terapie 3-50 cm
- **Brachyradioterapie (BRT, BCT)**
ozařování z „krátké“ vzdálenosti, zdroj je
zaveden do dutiny či přímo do nádoru nebo do
lůžka nádoru (peroperačně)

Cíl radioterapie

- aplikace letální (tumoricidní) dávky záření do přesně stanoveného cílového objemu (nádor, reg. uzliny + bezpečnostní lem) s maximálním šetřením okolních zdravých tkání
- dosažení optimálního léčebného výsledku s minimálním rizikem průvodních nežádoucích účinků

Frakcionace radioterapie

- celková léčebná dávka záření je rozdělena do menších dávek – frakcí
- frakcionace chrání buňky zdravých okolních tkání, tyto buňky se rychleji reparují z radiačního poškození než nádorové (u radiosenzitivních nádorů),

Frakcionace radioterapie

- u zevní radioterapie – jedna frakce 1,5 (1,8)-2,0 Gy
- celková doba radioterapie – 4-7 týdnů
Dle celkové dávky

Základní druhy frakcionačních režimů

- **Standardní frakcionace** = normofrakcionace s aplikací frakce záření jedenkrát denně 1,8-2,0 Gy, 5x týdně.

U dětí denní frakce nižší 1,5-1,8 Gy

- **Hypofrakcionace** - kdy aplikujeme vyšší dávku (3-5 Gy; event. 1x8 Gy) na jednotlivou frakci a počet frakcí je menší než pět za týden.
- **Hyperfrakcionace** - při níž je zmenšena dávka na jednu frakci (1,2-1,4 Gy) a počet frakcí je větší než pět za týden, což znamená ozařování několikrát (2-3x) denně. K aplikaci biologicky ekvivalentní dávky hyperfrakcionačním režimem je nutná vyšší celková dávka než při standardní frakcionaci.

Plánování radioterapie

- **RTG simulátor** – příprava CT plánování, příprava fixačních pomůcek
- **CT plánování** – CT vyš. s kontrastními značkami na kůži
- **3D plánovací systém (PC)**
 - **lékař:** stanovení a zakreslení cílového objemu, určení kritických orgánů a jejich zakreslení, stanovení ozařovacích podmínek (frakcionační režim, volba ozařovacího přístroje, energie záření)
 - **fyzik:** vytvoření isodózního plánu léčby, příprava indiv. vykryvacích bloků

Plánování radioterapie

- **RTG simulátor** – kontrola isodózního plánu, MLC a bloků, simulační snímky
- **Ozařovací přístroj** – kontrola nastavení, verifikace v průběhu RT- portálové snímky, dnes i pomocí CT integrovaného do lineárního urychlovače

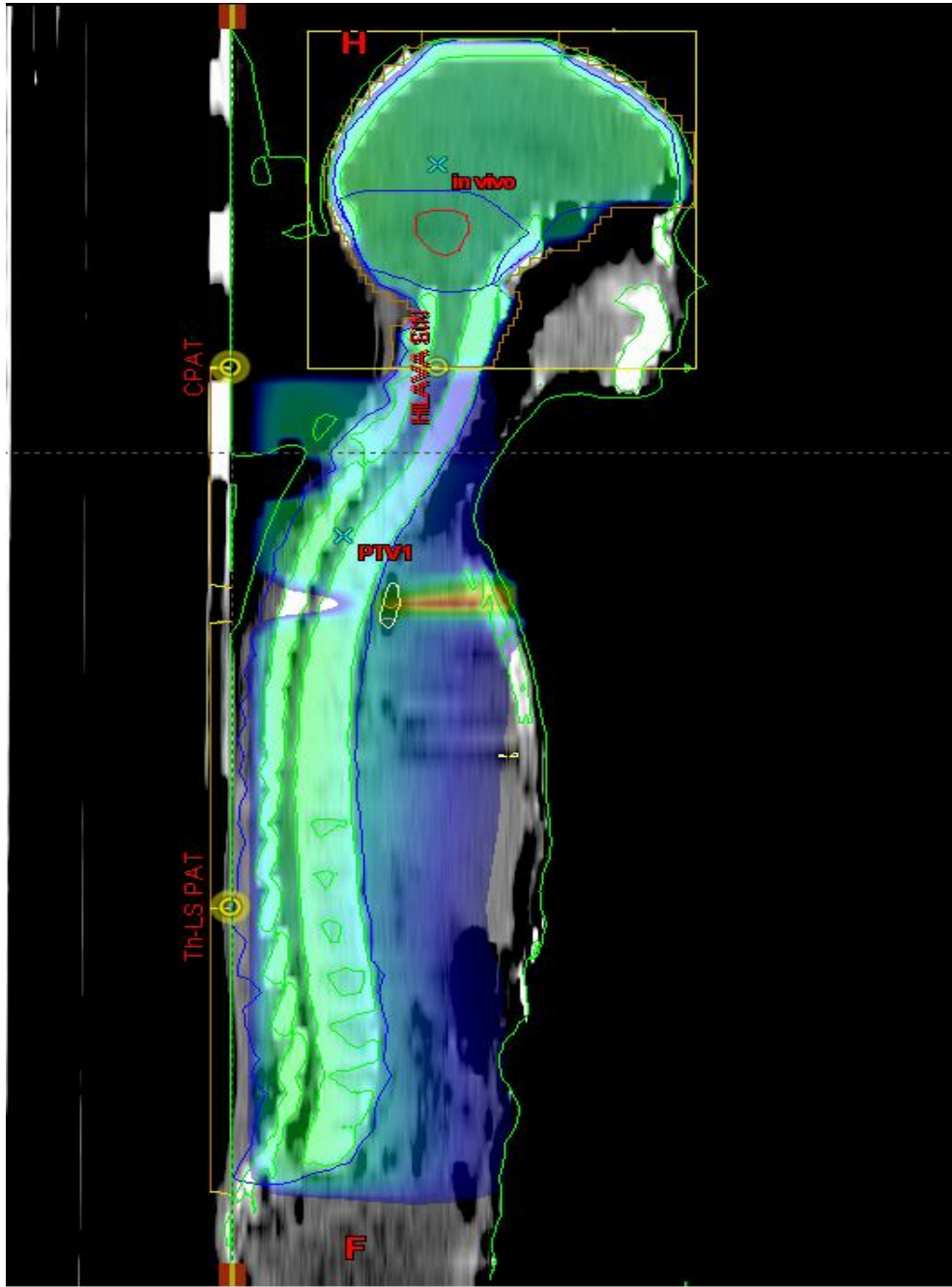
RTG simulátor



Fixace pacienta







Zakreslení
cílových objemů

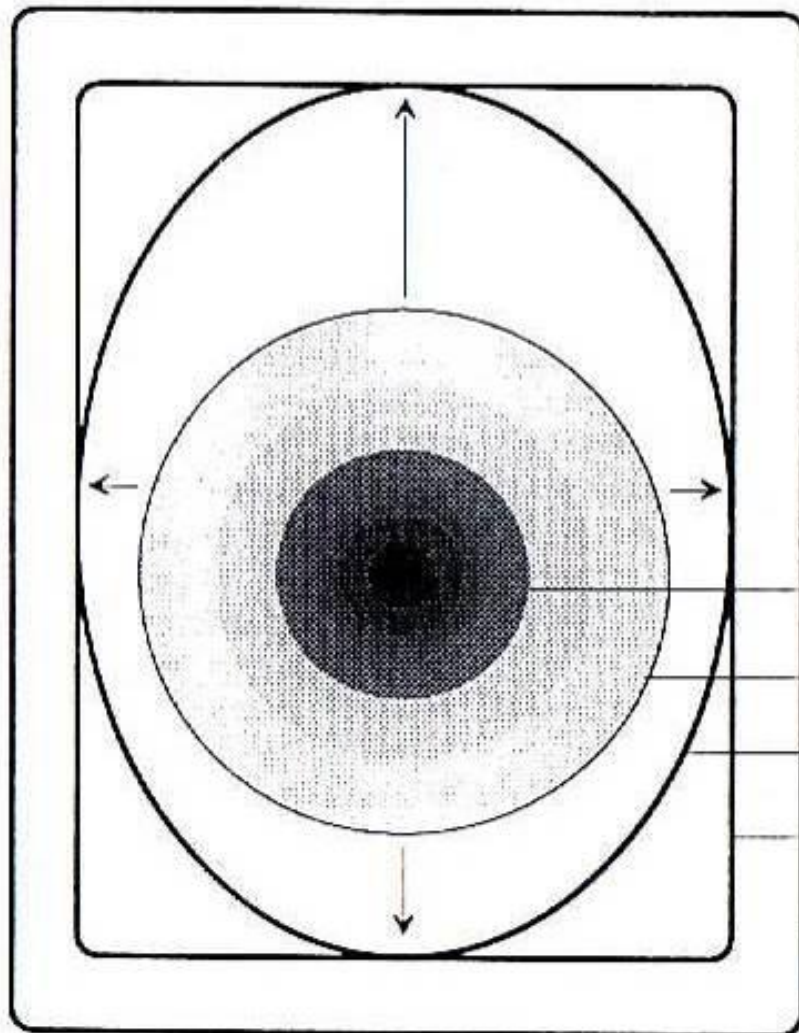
Plánování
ozařovací techniky

Kontrola dávky ve
zdravé tkáni

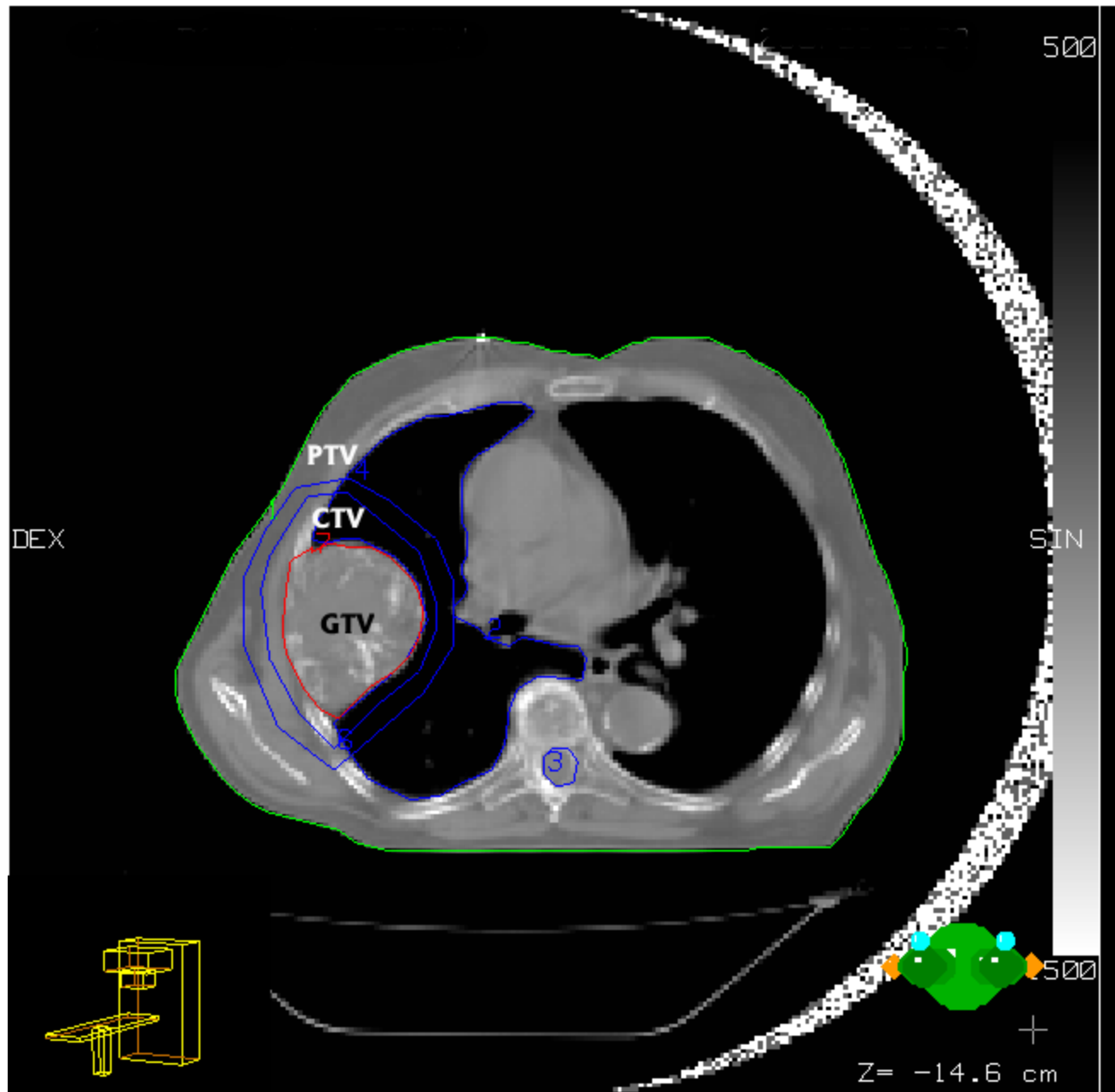
Cílové objemy

- **GTV** (gross tumor volume) makroskopický nádor
- **CTV** (clinical target volume) =
GTV + bezpečnostní (biologický lem)
- **PTV** (planning target volume) =
CTV + polohový lem (internal margin +
set-up margin)
- **TV** (treated volume) 95% izodóza
- **IV** (irradiated volume) tkáňový objem ozařovaný
dávkou významnou vzhledem k toleranci zdravé tkáně

Základní pojmy pro plánování radioterapie podle ICRU 50

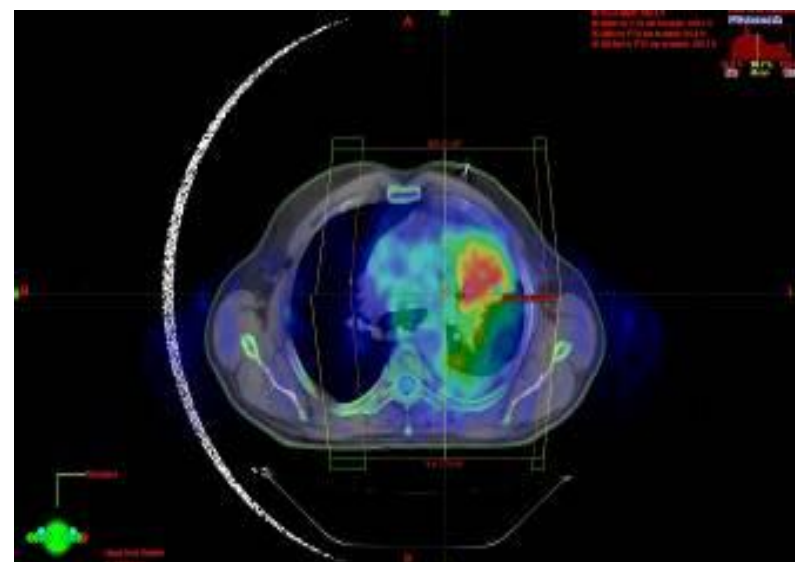
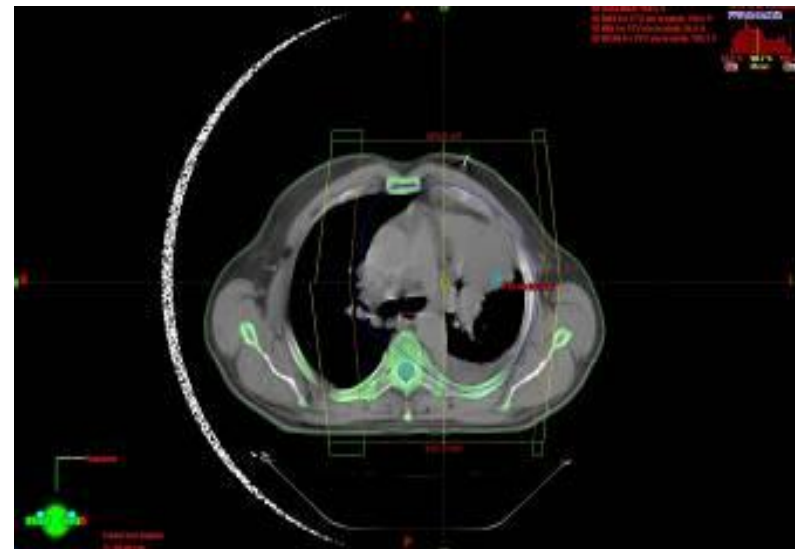


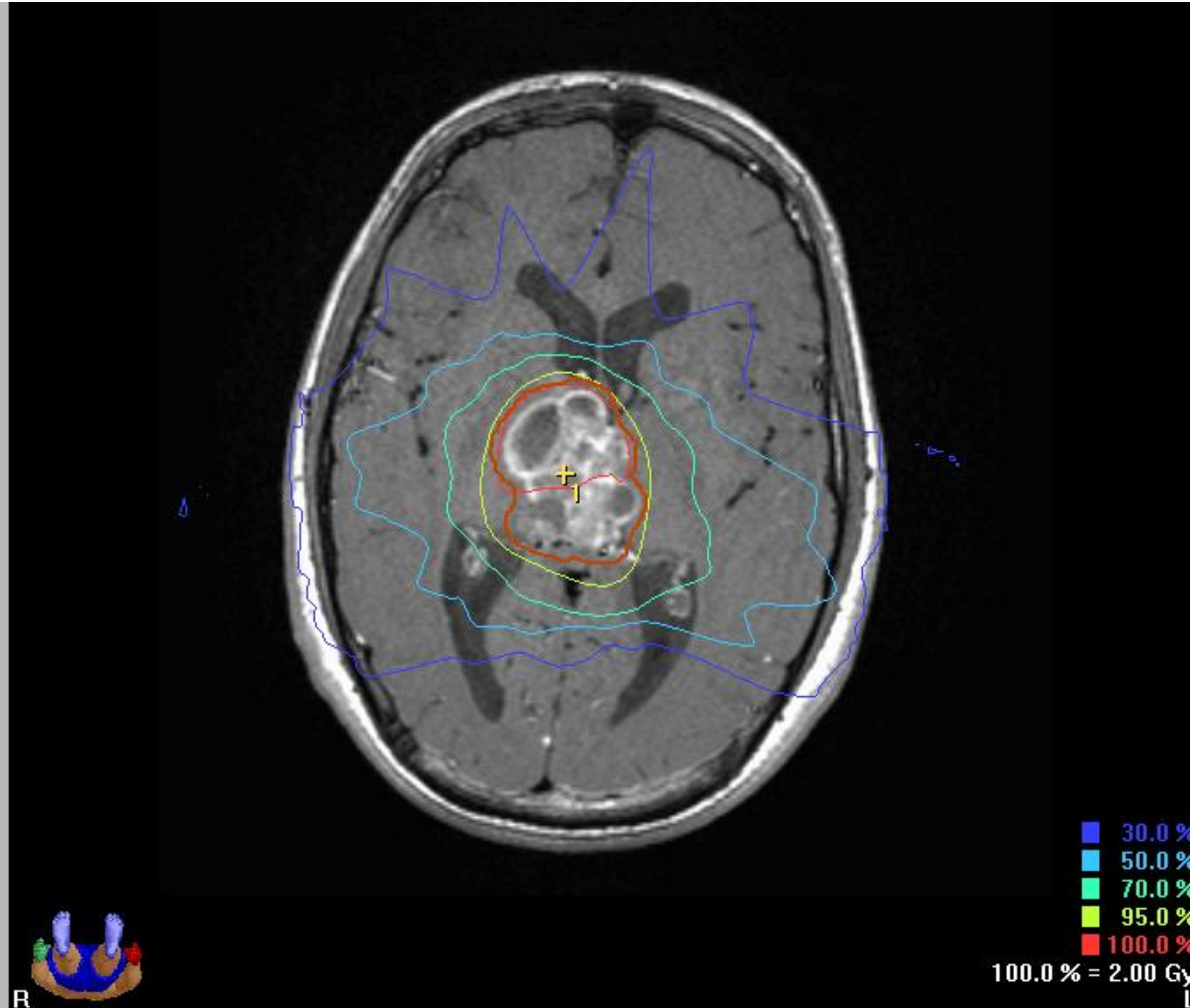
- Nádorový objem – GTV**
 - Klinický cílový objem – CTV**
 - Plánovací cílový objem – PTV**
 - Léčený objem – TV**
 - Ozářený objem - IV**
- ICRU referenční bod**



Biologicky cílový objem

- pomocí určitých zobrazovacích metod (PET, SPECT...) zobrazení biologicky aktivních oblastí v rámci GTV





Glioblastoma

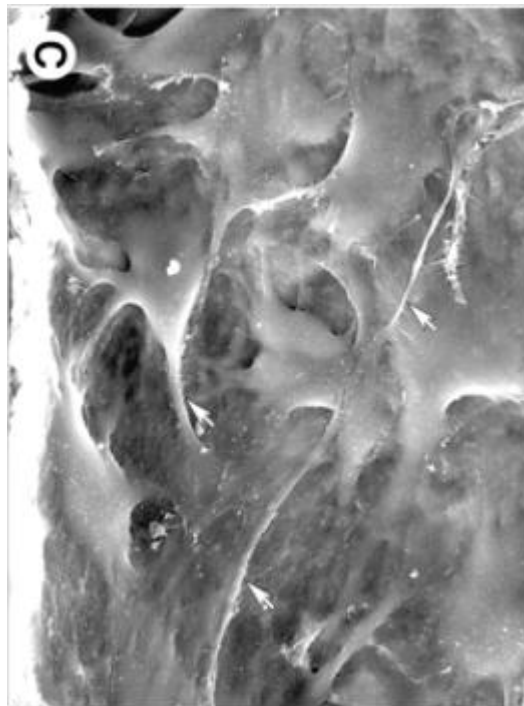
Highly Vascular Tumor

- Microvascular proliferation and tumor hypoxia are pathophysiologic hallmarks of GBM
- Hypoxia → HIF-1 α → Increased VEGF and VEGFR gene expression → EC proliferation, survival, migration, and permeability
- VEGF-A and VEGFR2 levels correlate with histologic grade of glioma
- The vascular network formed in GBM is abnormal: vessels are dilated, tortuous, disorganized, highly permeable, and characterized by abnormal pericyte coverage and thickened basement membranes

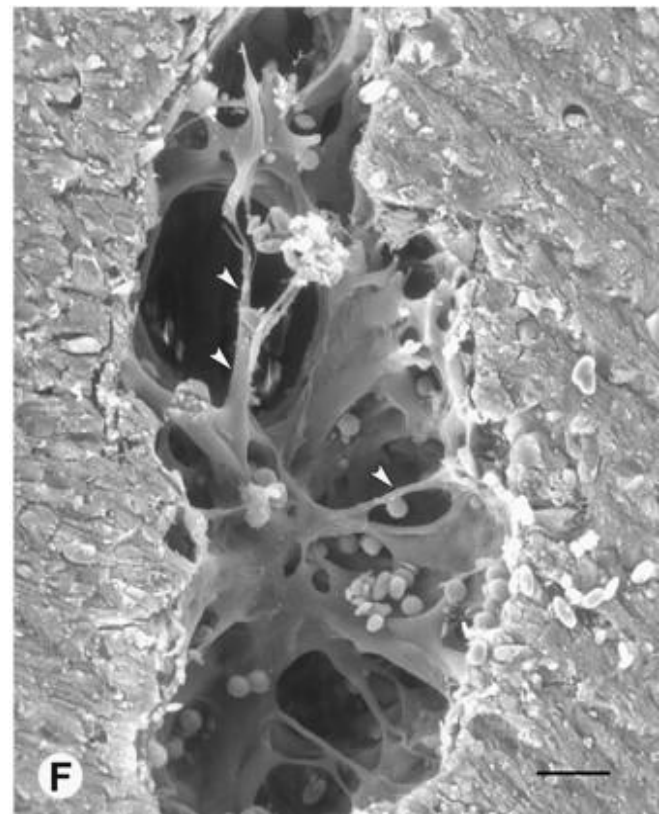
Normal quiescent endothelium



Tumor endothelium with
lumen less sprouts



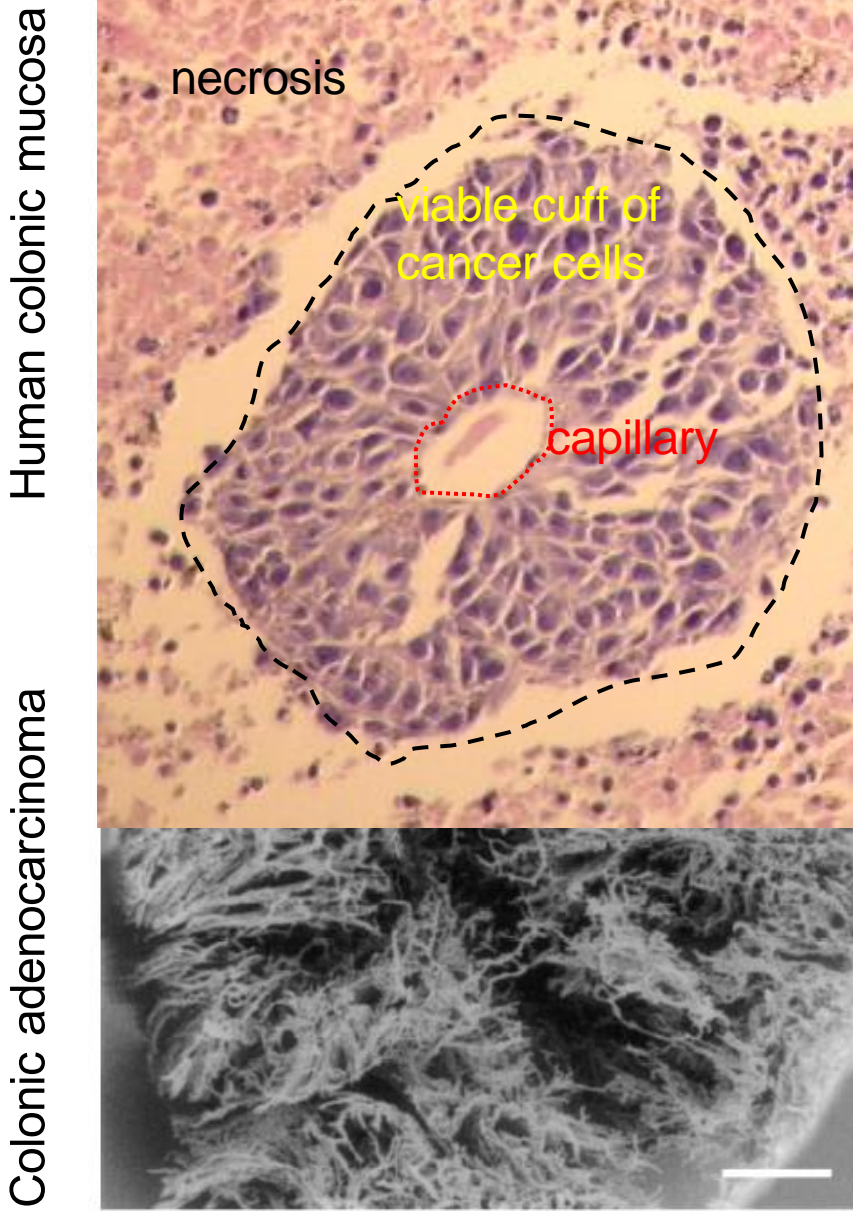
Tumor vessel trabeculations



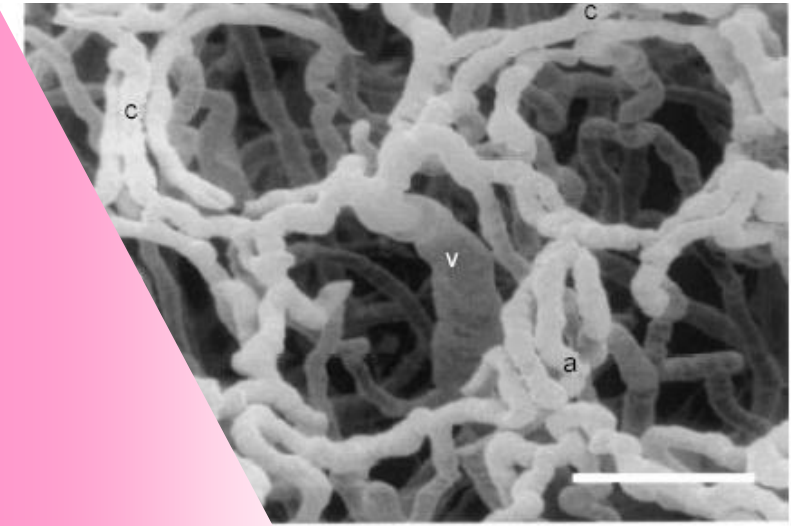
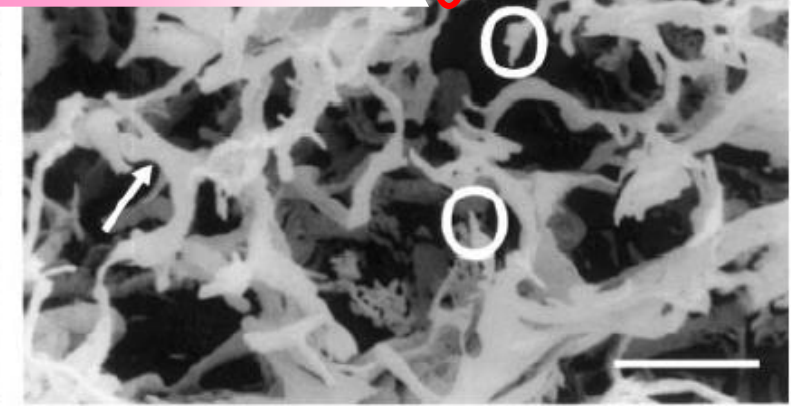
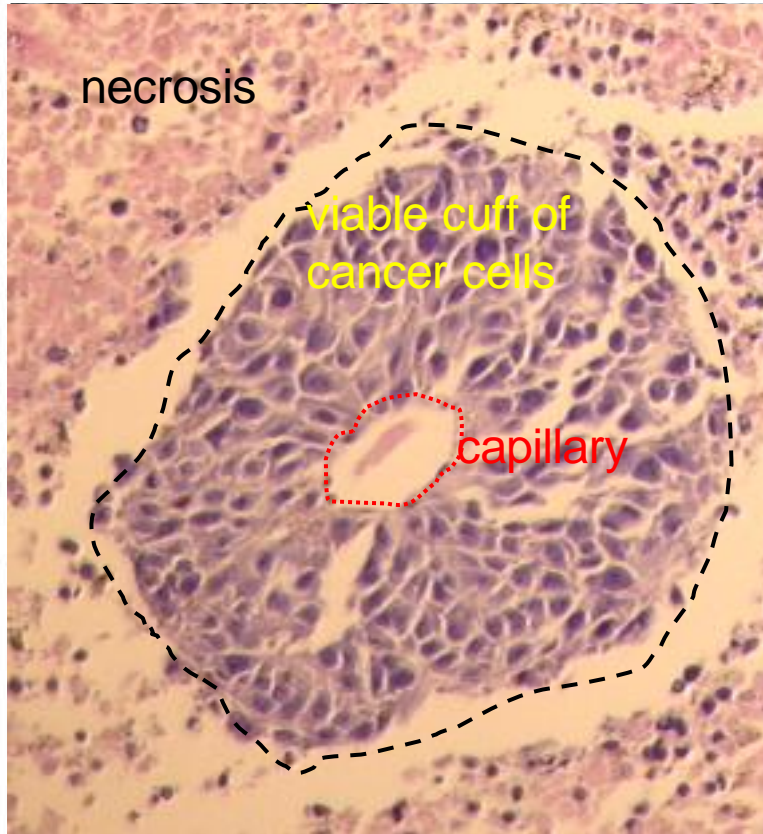
Adapted from Hashizume *et al*, AJP, 2000, 156(4), 1363

Tumors are angiogenic and angiogenesis-dependent (Folkman 1971)

Colonic adenocarcinoma



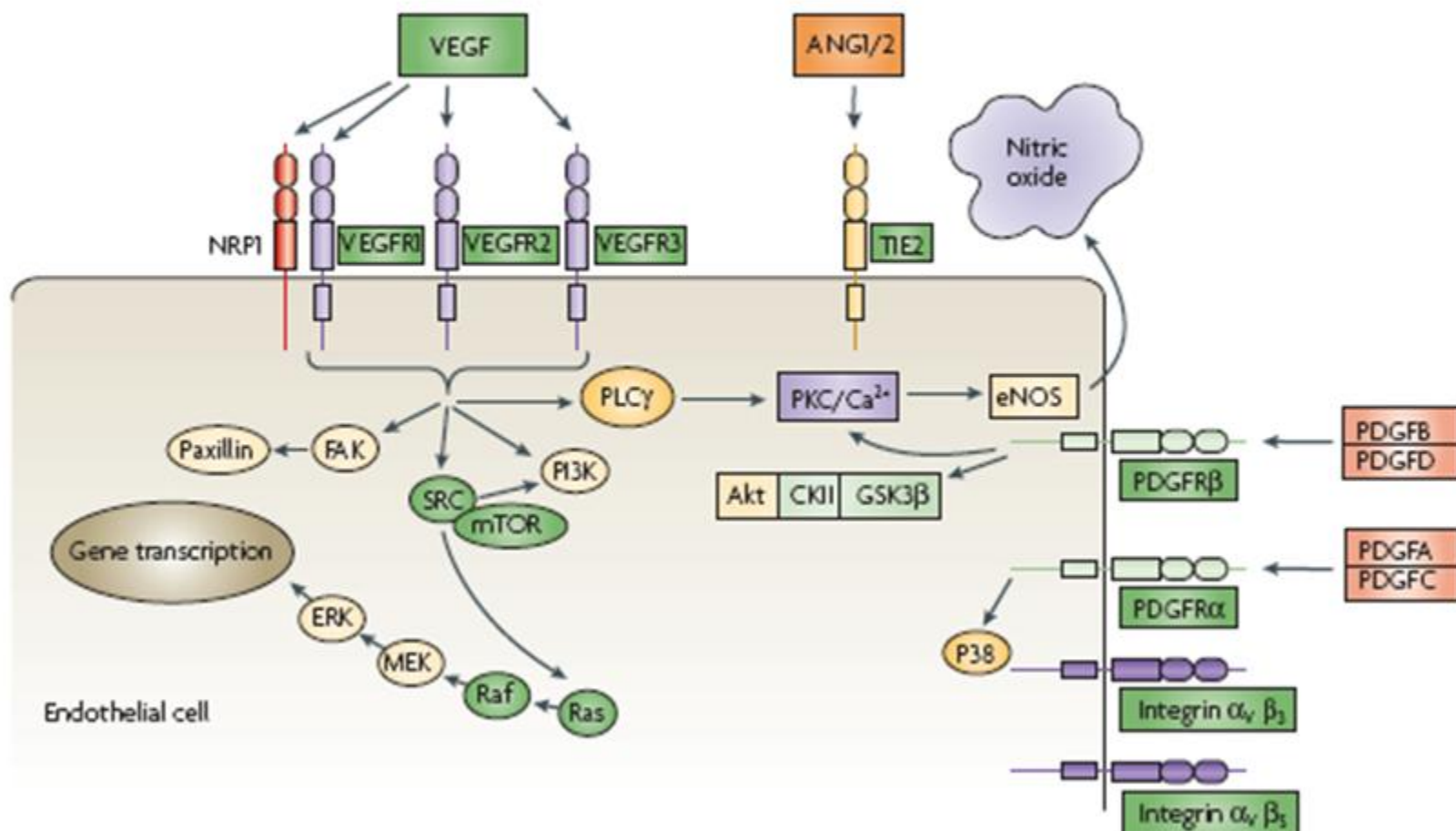
Human colonic mucosa



Resin vessel casting/scanning electromicrogram

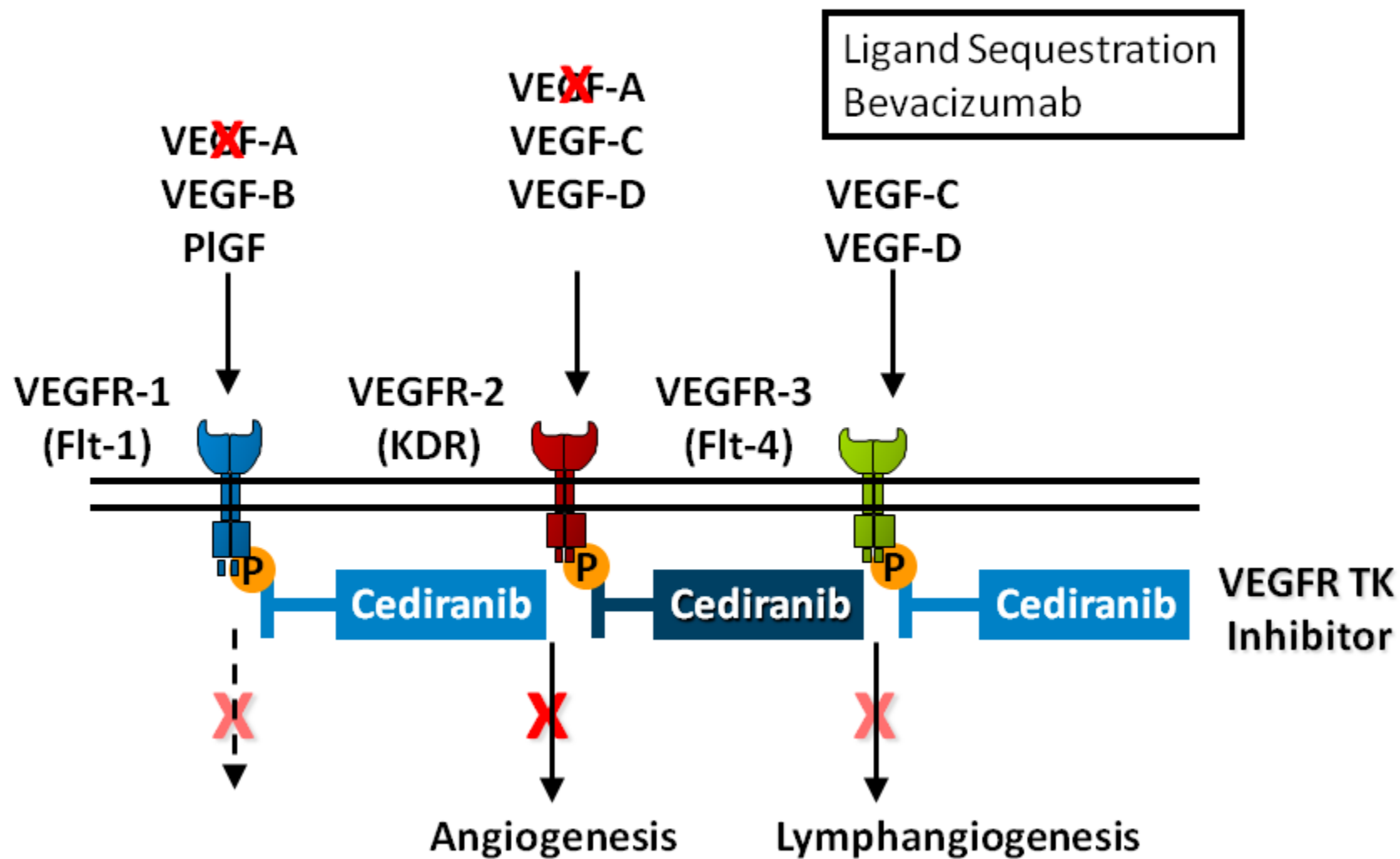
Glioblastoma

Multiple Proangiogenic Signaling Pathways



Bevacizumab and Cediranib

Mechanism of Action



Newly Diagnosed Glioblastoma

RTOG 0825

Randomize

Bevacizumab + Temozolomide + Radiation

Temozolomide + Radiation

Design: Stratified (RTOG RPA class; MGMT status), randomized, phase 2 study

Study Population: 720 patients with newly diagnosed GBM

Objectives: Progression-free survival; overall survival

RESULTS

A total of 978 patients were registered, and 637 underwent randomization. There was no significant difference in the duration of overall survival between the bevacizumab group and the placebo group (median, 15.7 and 16.1 months, respectively; hazard ratio for death in the bevacizumab group, 1.13). Progression-free survival was longer in the bevacizumab group (10.7 months vs. 7.3 months; hazard ratio for progression or death, 0.79). There were modest increases in rates of hypertension, thromboembolic events, intestinal perforation, and neutropenia in the bevacizumab group. Over time, an increased symptom burden, a worse quality of life, and a decline in neurocognitive function were more frequent in the bevacizumab group.

CONCLUSIONS

First-line use of bevacizumab did not improve overall survival in patients with newly diagnosed glioblastoma. Progression-free survival was prolonged but did not reach the prespecified improvement target. (Funded by the National Cancer Institute; ClinicalTrials.gov number, [NCT00884741](https://clinicaltrials.gov/ct2/show/NCT00884741).)

Glioblastoma

Other Angiogenesis-Targeting Agents

Target	Agent	Disease Setting	Study Phase
Integrins	Cilengitide	nGBM	Phase 3
		rGBM	Phase 1/2
FGF	Brivanib	rGBM	Phase 1/2
Angiopoietin/Tie 2	CVX-060, CVX-061	rGBM	Phase 1/2
PDGFR	MLN518	rGBM	Phase 1/2
VEGF	VEGF-Trap (afibbercept)	rGBM	Phase 2
		nGBM	Phase 2
VEGFR TKIs (XL-184, cediranib, axitinib)		rGBM, nGBM	Phase 1, 2, 3
Bevacizumab + strategies		nGBM, rGBM	Phase 1, 2, 3
Endothelial cell proliferation	Metronomic temozolomide	nGBM, rGBM	Phase 2, 3

Beal K, et al. *Radiat Oncol.* 2011;6:2.

Brastianos PK, Batchelor TT. *Clin Adv Hematol Oncol.* 2009;7:753-760, 768.

Phase II study of cilengitide ×

www.ncbi.nlm.nih.gov/pubmed/24014381

Aplikace Pokyny Rounds 2012-13 Log In CL JCAI JCO ICB English PCCI OPTIMED Park PM [bnc] g

Display Settings: Abstract [Send to:](#)

Neuro Oncol. 2013 Oct;15(10):1438-44. doi: 10.1093/neuonc/not058. Epub 2013 Sep 5.

Phase II study of cilengitide in the treatment of refractory or relapsed high-grade gliomas in children: a report from the Children's Oncology Group.

MacDonald TJ¹, Vezina G, Stewart CF, Turner D, Pierson CR, Chen L, Pollack IF, Gajjar A, Kieran MW.

[+ Author information](#)

Abstract

BACKGROUND: Cilengitide, an αv integrin antagonist, has demonstrated activity in recurrent adult glioblastoma (GBM). The Children's Oncology Group ACNS0621 study thus evaluated whether cilengitide is active as a single agent in the treatment of children with refractory high-grade glioma (HGG). Secondary objectives were to investigate the pharmacokinetics and pharmacogenomics of cilengitide in this population.

METHODS: Cilengitide (1800 mg/m²/dose intravenous) was administered twice weekly until evidence of disease progression or unacceptable toxicity. Thirty patients (age range, 1.1-20.3 years) were enrolled, of whom 24 were evaluable for the primary response end point.

RESULTS: Toxicity was infrequent and mild, with the exception of one episode of grade 2 pain possibly related to cilengitide. Two intratumoral hemorrhages were reported, but only one (grade 2) was deemed to be possibly related to cilengitide and was in the context of disease progression. One patient with GBM received cilengitide for 20 months and remains alive with continuous stable disease. There were no other responders, with median time to tumor progression of 28 days (range, 11-114 days). Twenty-one of the 24 evaluable patients died, with a median time from enrollment to death of 172 days (range, 28-325 days). The 3 patients alive at the time of this report had a follow-up time of 37, 223, and 1068 days, respectively.

CONCLUSIONS: We conclude that cilengitide is not effective as a single agent for refractory pediatric HGG. However, further study evaluating combination therapy with cilengitide is warranted before a role for cilengitide in the treatment of pediatric HGG can be excluded.

KEYWORDS: childhood, cilengitide, high-grade glioma

PMID: 24014381 [PubMed - in process] PMCID: PMC3779033 [Available on 2014/10/1]

Publication Types, Grant Support

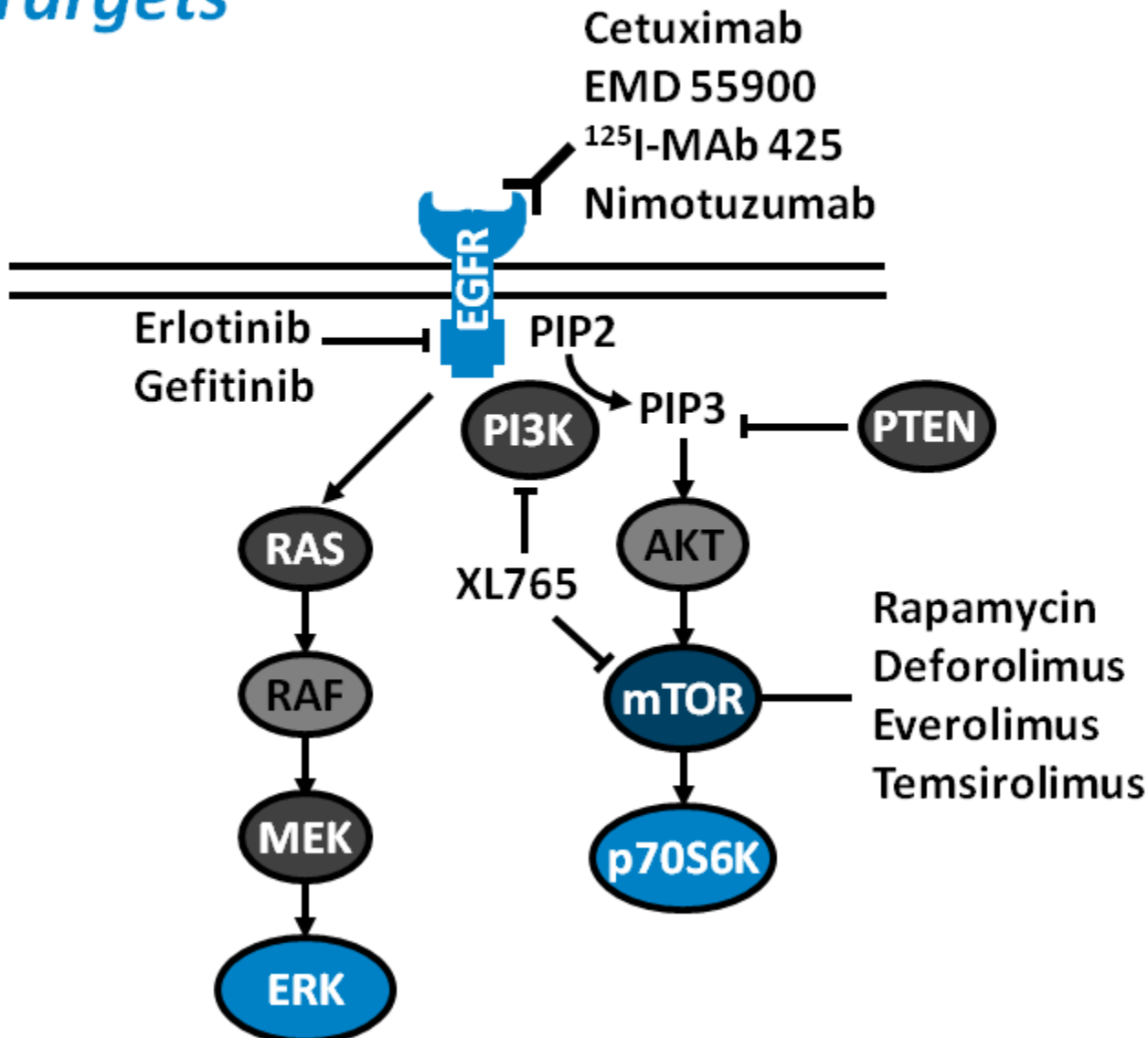
LinkOut - more resources

PubMed Commons

[PubMed Commons home](#)

Glioblastoma

Other Targets



Phase I/II study of erlotinib x

www.ncbi.nlm.nih.gov/pubmed/24470557

Aplikace Pokyny Rounds 2012-13 Log In CL JCAI JCO ICB English PCCI OPTIMED Park PM [bnc] g

Display Settings: Abstract Send to:

Neuro Oncol. 2014 Apr;16(4):567-78. doi: 10.1093/neuonc/not247. Epub 2014 Jan 26.

Phase I/II study of erlotinib and temsirolimus for patients with recurrent malignant gliomas: North American Brain Tumor Consortium trial 04-02.

Wen PY¹, Chang SM, Lamborn KR, Kuhn JG, Norden AD, Cloughesy TF, Robins HI, Lieberman FS, Gilbert MR, Mehta MP, Drappatz J, Groves MD, Santaquata S, Ligon AH, Yung WK, Wright JJ, Dancey J, Aldape KD, Prados MD, Ligon KL.

Author information

Abstract

BACKGROUND: Inhibition of epidermal growth factor receptor (EGFR) and the mechanistic target of rapamycin (mTOR) may have synergistic antitumor effects in high-grade glioma patients.

METHODS: We conducted a phase I/II study of the EGFR inhibitor erlotinib (150 mg/day) and the mTOR inhibitor temsirolimus. Patients initially received temsirolimus 50 mg weekly, and the dose adjusted based on toxicities. In the phase II component, the primary endpoint was 6-month progression-free survival (PFS6) among glioblastoma patients.

RESULTS: Twenty-two patients enrolled in phase I, 47 in phase II. Twelve phase I patients treated at the maximum tolerated dosage were included in the phase II cohort for analysis. The maximum tolerated dosage was 15 mg temsirolimus weekly with erlotinib 150 mg daily. Dose-limiting toxicities were rash and mucositis. Among 42 evaluable glioblastoma patients, 12 (29%) achieved stable disease, but there were no responses, and PFS6 was 13%. Among 16 anaplastic glioma patients, 1 (6%) achieved complete response, 1 (6%) partial response, and 2 (12.5%) stable disease, with PFS6 of 8%. Tumor levels of both drugs were low, and posttreatment tissue in 3 patients showed no reduction in the mTOR target phosphorylated (phospho-)S6(S235/236) but possible compensatory increase in phospho-Akt(S473). Presence of EGFR variant III, phospho-EGFR, and EGFR amplification did not correlate with survival, but patients with elevated phospho-extracellular signal-regulated kinase or reduced phosphatase and tensin homolog protein expression had decreased progression-free survival at 4 months.

CONCLUSION: Because of increased toxicity, the maximum tolerated dosage of temsirolimus in combination with erlotinib proved lower than expected. Insufficient tumor drug levels and redundant signaling pathways may partly explain the minimal antitumor activity noted.

KEYWORDS: anaplastic glioma, clinical trial, epidermal growth factor, erlotinib, glioblastoma, temsirolimus

PMID: 24470557 [PubMed - in process] PMCID: PMC3956354 [Available on 2015/4/1]

LinkOut - more resources

PubMed Commons home

Results of nimotuzumab x

www.ncbi.nlm.nih.gov/pubmed/24696052

Aplikace Pokyny Rounds 2012-13 Log In CL JCAI JCO ICB English PCCI OPTIMED Park PM [bnc] g

Display Settings: Abstract [Send to:](#)

J Neurooncol. 2014 Apr 3. [Epub ahead of print]

Results of nimotuzumab and vinorelbine, radiation and re-irradiation for diffuse pontine glioma in childhood.

Massimino M¹, Biassoni V, Miceli R, Schiavello E, Warmuth-Metz M, Modena P, Casanova M, Pecori E, Giangaspero F, Antonelli M, Buttarelli FR, Potepan P, Pollo B, Nunziata R, Spreafico F, Podda M, Anichini A, Clerici CA, Sardi I, De Cecco L, Bode U, Bach F, Gandola L.

[+ Author information](#)

Abstract

Radiotherapy is the only treatment definitely indicated for diffuse pontine gliomas (DIPG). Findings on the role of EGFR signaling in the onset of childhood DIPG prompted the use of nimotuzumab, an anti-EGFR monoclonal antibody. Assuming a potential synergy with both radiotherapy and vinorelbine, a pilot phase 2 protocol was launched that combined nimotuzumab with concomitant radiation and vinorelbine. An amendment in July 2011 introduced re-irradiation at relapse. The primary endpoint for first-line treatment was objective response rate (CR + PR + SD) according to the RECIST. This report concerns the outcome of this strategy as a whole. Vinorelbine 20 mg/m² was administered weekly, with nimotuzumab 150 mg/m² in the first 12 weeks of treatment; radiotherapy was delivered from weeks 3 to 9, for a total dose of 54 Gy. Vinorelbine 25 mg/m² and nimotuzumab were given every other week thereafter until the tumor progressed or for up to 2 years. Re-irradiation consisted of 19.8 Gy, fractionated over 11 days. Baseline and latest MRIs were assessed blindly by an outside neuroradiologist. Twenty five children (mean age 7.4 years) were enrolled as of August 2009 (median follow-up 29 months). A response was observed in 24/25 patients (96%). The nimotuzumab/vinorelbine combination was very well tolerated, with no acute side-effects. Eleven of 16 locally-relapsing patients were re-irradiated. One-year PFS and OS rates were 30 ± 10% and 76 ± 9%, respectively; 2-year OS was 27 ± 9%; the median PFS and OS were 8.5 and 15 months, respectively. This strategy generated interesting results and warrants further investigation.

PMID: 24696052 [PubMed - as supplied by publisher]

LinkOut - more resources

PubMed Commons [PubMed Commons home](#)

 0 comments [How to join PubMed Commons](#)

Therapeutic vaccination a Therapeutic vaccination a

www.ncbi.nlm.nih.gov/pubmed/23817721

Aplikace Pokyny Rounds 2012-13 Log In CL JCAI JCO ICB English PCCI OPTIMED Park PM [bnc] g

NCBI Resources How To

PubMed Advanced

Display Settings: Abstract Send to:

Cancer Immunol Immunother. 2013 Sep;62(9):1499-509. doi: 10.1007/s00262-013-1453-3. Epub 2013 Jul 2.

Therapeutic vaccination against autologous cancer stem cells with mRNA-transfected dendritic cells in patients with glioblastoma.

Vik-Mo EO¹, Nyakas M, Mikkelsen BV, Moe MC, Due-Tønnesen P, Suso EM, Sæbøe-Larssen S, Sandberg C, Brinchmann JE, Helseth E, Rasmussen AM, Lote K, Aamdal S, Gaudernack G, Kvalheim G, Langmoen IA.

Author information

Abstract

BACKGROUND: The growth and recurrence of several cancers appear to be driven by a population of cancer stem cells (CSCs). Glioblastoma, the most common primary brain tumor, is invariably fatal, with a median survival of approximately 1 year. Although experimental data have suggested the importance of CSCs, few data exist regarding the potential relevance and importance of these cells in a clinical setting.

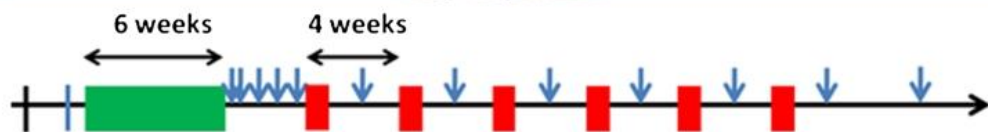
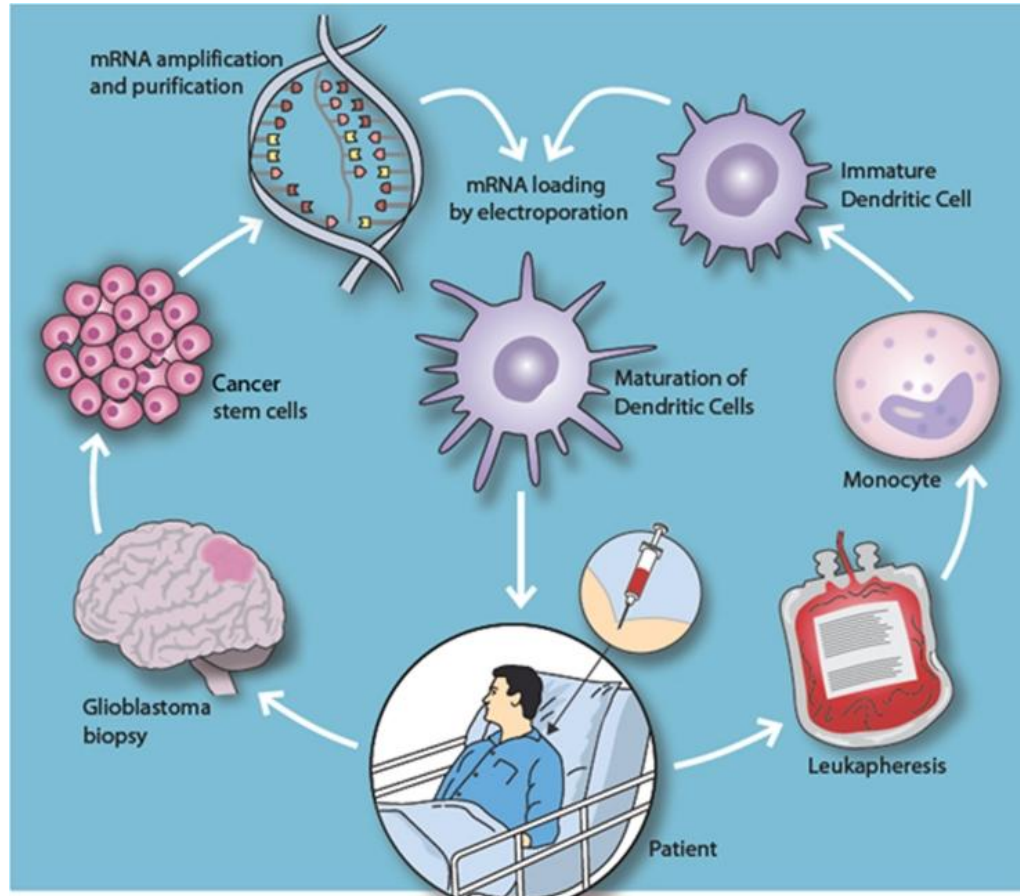
METHODS: We here present the first seven patients treated with a dendritic cell (DC)-based vaccine targeting CSCs in a solid tumor. Brain tumor biopsies were dissociated into single-cell suspensions, and autologous CSCs were expanded *in vitro* as tumorspheres. From these, CSC-mRNA was amplified and transfected into monocyte-derived autologous DCs. The DCs were aliquoted to 9-18 vaccines containing 10(7) cells each. These vaccines were injected intradermally at specified intervals after the patients had received a standard 6-week course of post-operative radio-chemotherapy. The study was registered with the ClinicalTrials.gov identifier NCT00846456.

RESULTS: Autologous CSC cultures were established from ten out of eleven tumors. High-quality RNA was isolated, and mRNA was amplified in all cases. Seven patients were able to be weaned from corticosteroids to receive DC immunotherapy. An immune response induced by vaccination was identified in all seven patients. No patients developed adverse autoimmune events or other side effects. Compared to matched controls, progression-free survival was 2.9 times longer in vaccinated patients (median 694 vs. 236 days, $p = 0.0018$, log-rank test).

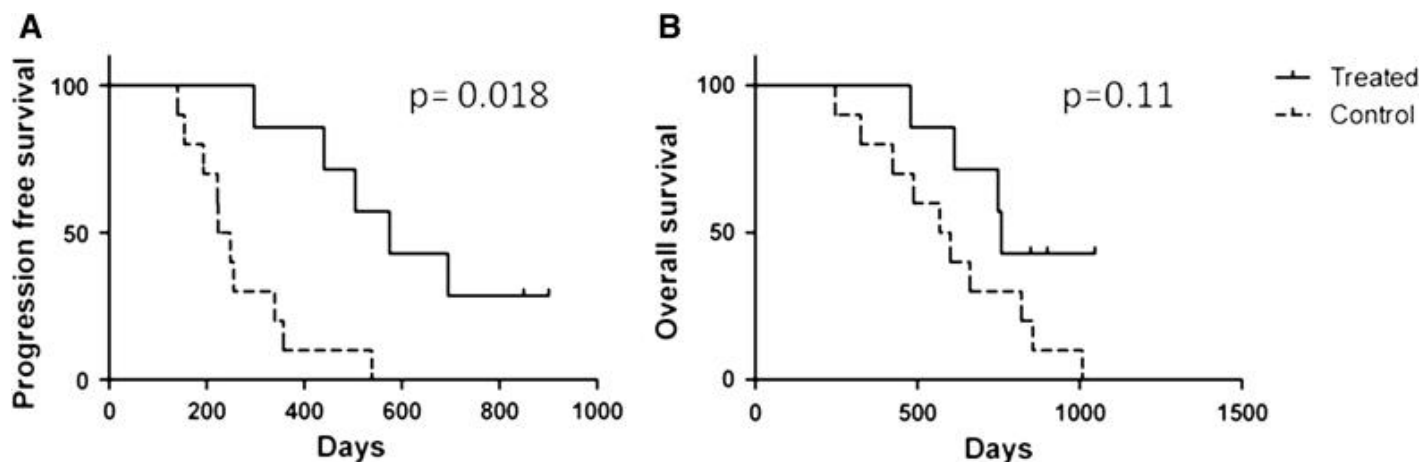
CONCLUSION: These findings suggest that vaccination against glioblastoma stem cells is safe, well-tolerated, and may prolong progression-free survival.

PMID: 23817721 [PubMed - indexed for MEDLINE] PMCID: PMC3755221 Free PMC Article

Images from this publication. See all images (3) Free text



- | | |
|---|--|
| <ul style="list-style-type: none"> Surgery Leukapheresis Temozolomide and Radiotherapy | <ul style="list-style-type: none"> ↓ DC vaccination ↓ Temozolomide treatment |
|---|--|



C

	Control	Treated	p-value
Age, mean	55.9	56.2	0.7
ECOG, mean	1	1	0.4
EORTC treatment	All	All	1
Preopr. tumorvolume, cm ³ , mean	16.6	15.8	0.9
Postopr. tumorvolume, cm ³ , mean	1.3	0.4	0.1
Localization (L=left, R=right)	6L, 4R	4L, 3R	0.9
Progression free survival, days, median	236	694	0.0018
Overall survival	585	759	0.11

The natural killer cell resp x Therapeutic vaccination a x Therapeutic vaccination a x

www.ncbi.nlm.nih.gov/pubmed/23802079

Aplikace Pokyny Rounds 2012-13 Log In CL JCAI JCO ICB English PCCI OPTIMED Park PM [bnc] g

Display Settings: Abstract [Send to:](#)

Oncotarget, 2013 Mar 1;2(3):e23401.

The natural killer cell response and tumor debulking are associated with prolonged survival in recurrent glioblastoma patients receiving dendritic cells loaded with autologous tumor lysates.

Pellegratta S¹, Eoli M, Frigerio S, Antozzi C, Bruzzone MG, Cantini G, Nava S, Anghileri E, Cuppini L, Cuccarini V, Ciusani E, Dossena M, Pollo B, Mantegazza R, Parati EA, Finocchiaro G.

[+ Author information](#)

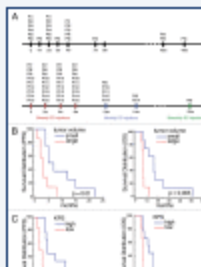
Abstract

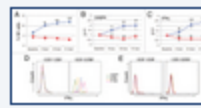
Recurrent glioblastomas (GBs) are highly aggressive tumors associated with a 6-8 mo survival rate. In this study, we evaluated the possible benefits of an immunotherapeutic strategy based on mature dendritic cells (DCs) loaded with autologous tumor-cell lysates in 15 patients affected by recurrent GB. The median progression-free survival (PFS) of this patient cohort was 4.4 mo, and the median overall survival (OS) was 8.0 mo. Patients with small tumors at the time of the first vaccination (< 20 cm³; n = 8) had significantly longer PFS and OS than the other patients (6.0 vs. 3.0 mo, p = 0.01; and 16.5 vs. 7.0 mo, p = 0.003, respectively). CD8⁺ T cells, CD56⁺ natural killer (NK) cells and other immune parameters, such as the levels of transforming growth factor β , vascular endothelial growth factor, interleukin-12 and interferon γ (IFN γ), were measured in the peripheral blood and serum of patients before and after immunization, which enabled us to obtain a vaccination/baseline ratio (V/B ratio). An increased V/B ratio for NK cells, but not CD8⁺ T cells, was significantly associated with prolonged PFS and OS. Patients exhibiting NK-cell responses were characterized by high levels of circulating IFN γ and E4BP4, an NK-cell transcription factor. Furthermore, the NK cell V/B ratio was inversely correlated with the TGF β 2 and VEGF V/B ratios. These results suggest that tumor-loaded DCs may increase the survival rate of patients with recurrent GB after effective tumor debulking, and emphasize the role of the NK-cell response in this therapeutic setting.

KEYWORDS: IFN γ , NK cells, dendritic cells, glioblastoma, immunotherapy

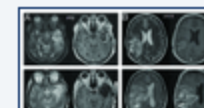
PMID: 23802079 [PubMed] PMCID: PMC3661164 [Free PMC Article](#)

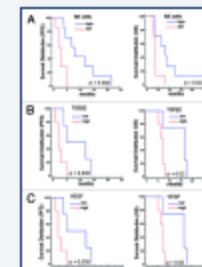
Images from this publication. See all images (5) Free text











Děti :

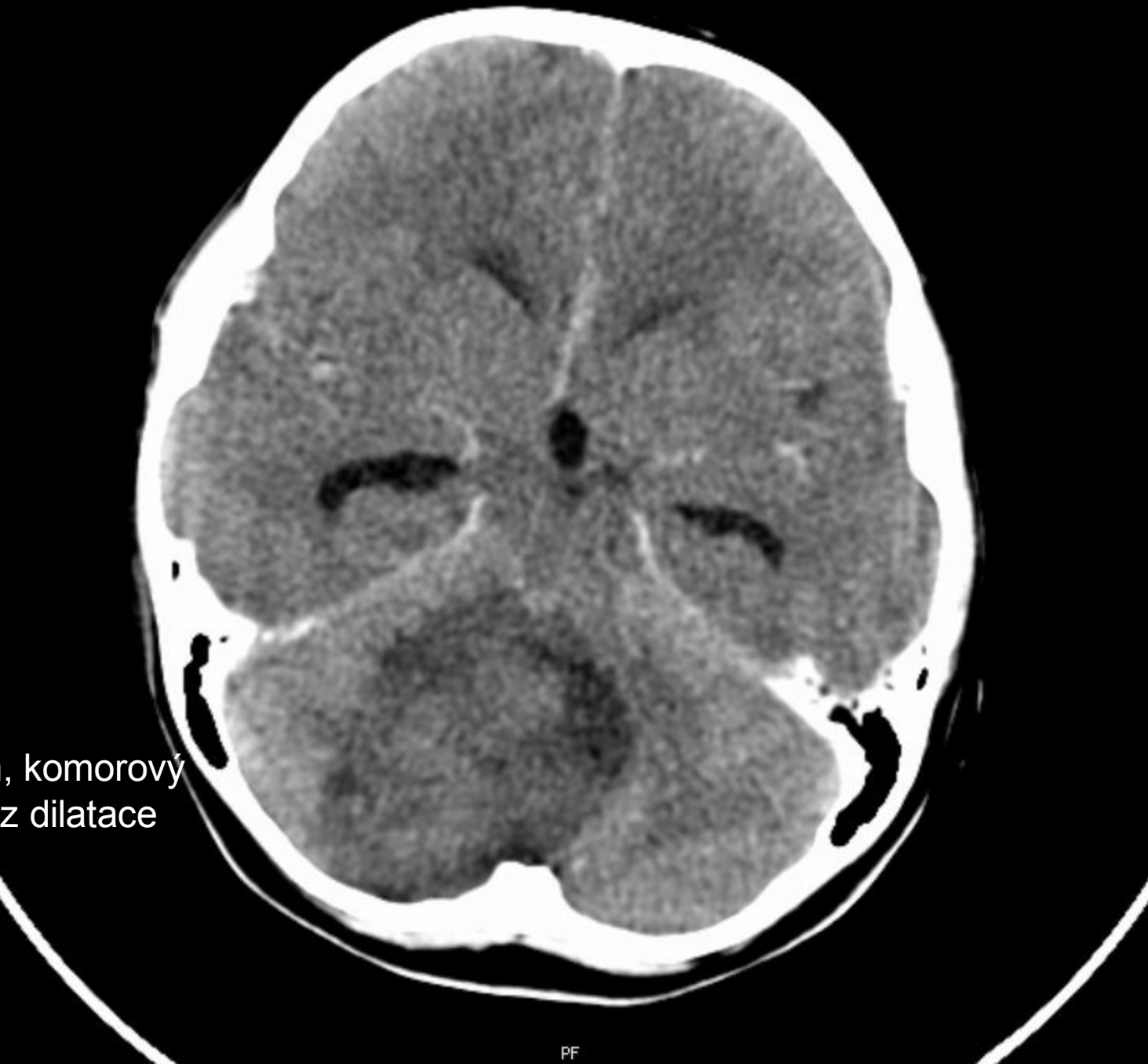
	Relativní incidence	Věk (roky)
Astrocytomy, low-grade, z toho: – supratentoriální lokalizace – infratentoriální lokalizace	35 % 13 % 22 %	2–10 >6 2–10
Astrocytomy, high-grade, (anaplastický astrocytom a multiformní glioblastom)	8 %	<1, >6
Nádory mozkového kmene	8 %	3–9
Oligodendrogliom	2 %	<6
Meduloblastom a další nádory embryonální histologie (supratentoriální primitivní neuroektodermální nádor, PNET, a atypický teratoid/rhabdoidní nádor, AT/RT);	20 %	1–10
Ependymom, z toho: – supratentoriální lokalizace – infratentoriální lokalizace	8–10 % 5 % 3 %	>6 1–5
Kraniofaryngom	7 %	8–14
Nádory glandula pinealis a germinální nádory CNS	4 %	<2, >6
Nádory plexus choroideus	2 %	<1
Další: např. gangliogliom , DNET , centrální neurocytom, meningiom etc.	< 2%	

	Relativní incidence	Věk (roky)
Astrocytomy, low-grade, z toho: – supratentoriální lokalizace – infratentoriální lokalizace	35 % 13 % 22 %	2–10 >6 2–10
Astrocytomy, high-grade , (anaplastický astrocytom a multiformní glioblastom)	8 %	<1, >6
Nádory mozkového kmene	8 %	3–9
Oligodendrogliom	2 %	<6
Meduloblastom a další nádory embryonální histologie (supratentoriální primitivní neuroektodermální nádor, PNET, a atypický teratoid/rhabdoidní nádor, AT/RT);	20 %	1–10
Ependymom , z toho: – supratentoriální lokalizace – infratentoriální lokalizace	8–10 % 5 % 3 %	>6 1–5
Kraniofaryngeom	7 %	8–14
Nádory glandula pinealis a germinální nádory CNS	4 %	<2, >6
Nádory plexus choroideus	2 %	<1
Další: např. gangliogliom , DNET , centrální neurocytom, meningiom etc.	< 2%	

- ***low-grade* astrocytomy (WHO gr. 1 a WHO gr. 2):**
- – 30–40 % primárních nádorů CNS u dětí; **nejčastější jsou *low-grade* astrocytomy mozečku**, tvoří 20–35 % všech nádorů zadní jámy dětí; **supratentoriální nádory** postihují především optické dráhy, hypothalamus, hemisféry; astrocytomy míchy tvoří méně než v 5 % případů primárních nádorů CNS dětí
- – **chirurgická resekce je první metodou volby a 5–leté celkové přežití je 95–100 % u kompletně resekovaných nádorů**
- – u inkompletně resekovaných **asymptomatických nádorů** je dítě obvykle pouze pečlivě sledováno a další **léčebná intervence je indikována v čase klinické nebo rentgenologické progrese**
- – **supratentoriální středočárové, thalamické či diencefalické nádory** převažují u dětí pod 5 let věku, jsou povětšinou **radikálně nerezekvatelné a symptomatické**, tyto děti mohou profitovat z **chemoterapeutických režimů** (vincristin/karboplatina/temozolomid; vinblastin), 5–letý EFS je cca 30–40 %
- – postižení optické dráhy nalézáme u dětí s NF-1
- – **radioterapie musí být velmi uvážlivě zvažována** (rizika její pozdí toxicity, ev. i její přispění ke konverzi v *high-grade* nádor), mohou z ní profitovat starší, symptomatické děti s inoperabilními nádory v hlubokých strukturách CNS

- 6,5 letá dívka, přichází na ambulanci LPPP, anamnéza bolestí hlavy asi 4 měsíční, viděna před měsícem spádovým dětským neurologem, bez ložiskového nálezu, vydávkován Peritol
- nyní hlava bolí denně, spavější, po ránu zvrací, točení hlavy
- oční negativní
- neurologie: bez pyramidových a patol. cerebelárních jevů, na končetinách normotonus, normální neurol. nález
- pro celkovou deterioraci v čase domluveno CT mozku nativně

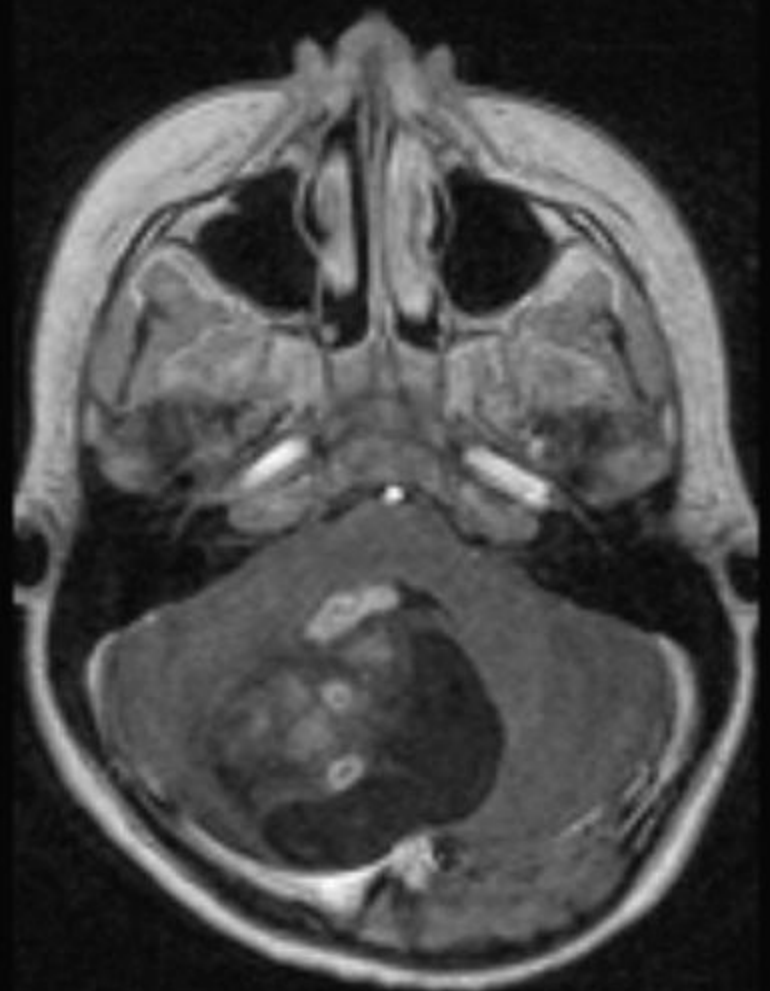
AH



6,5 x 5 cm, komorový
systém bez dilatace

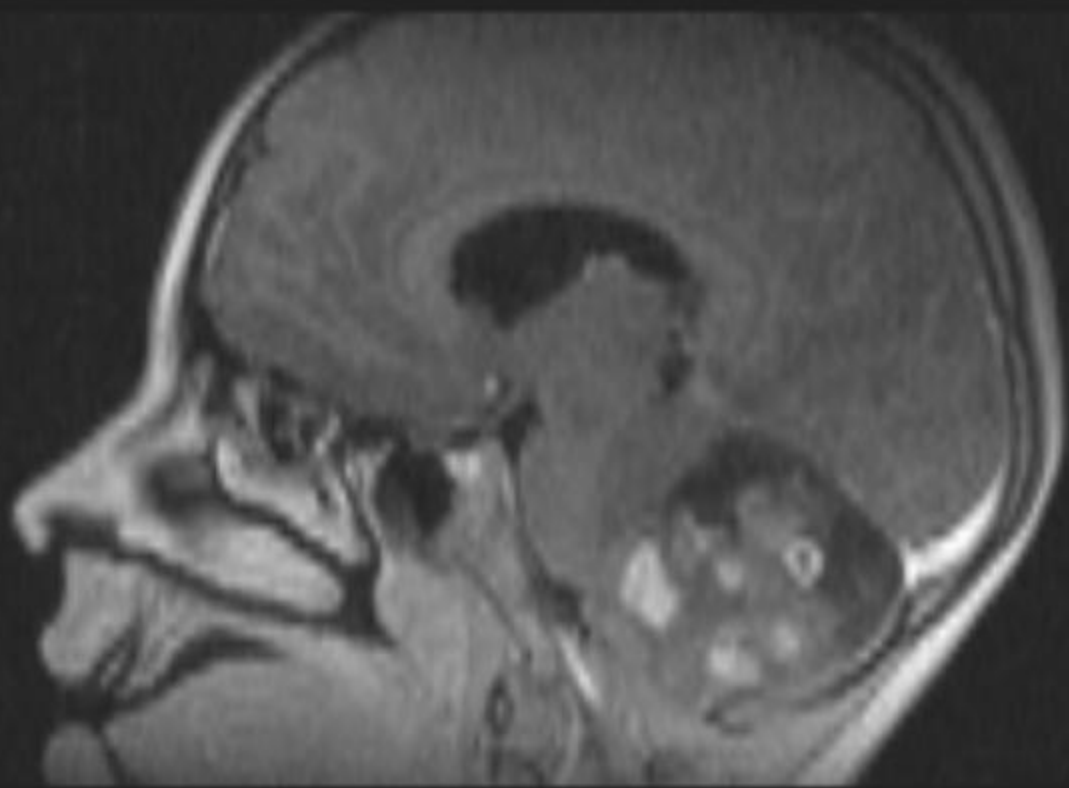
PF

AF



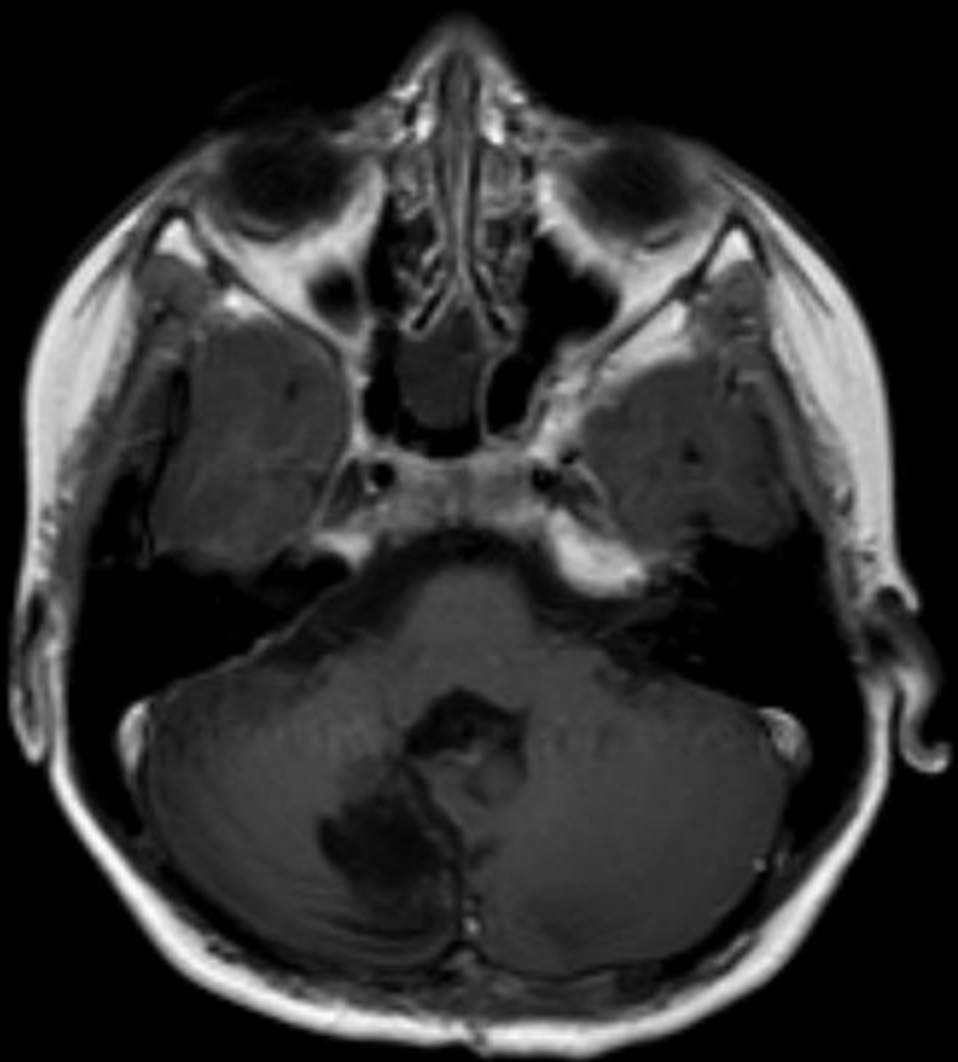
PH

HAR



FPL

AFL



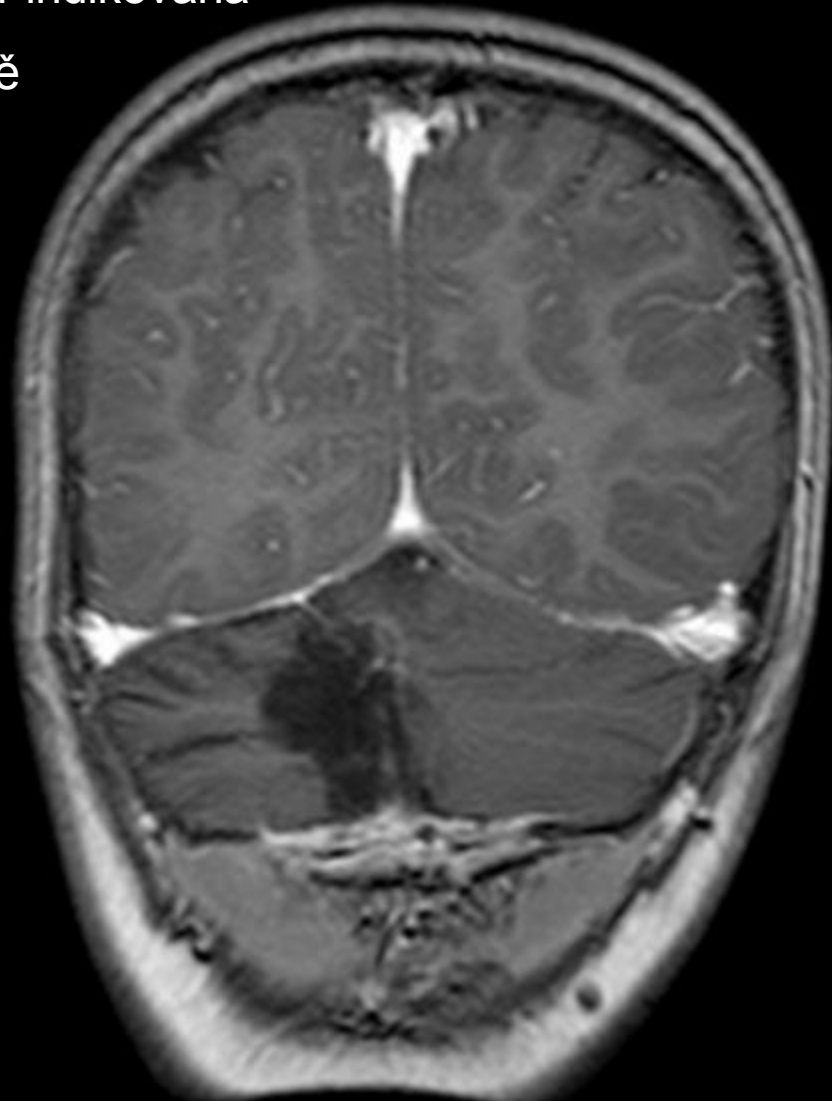
PHR

radikální chirurgická resekce

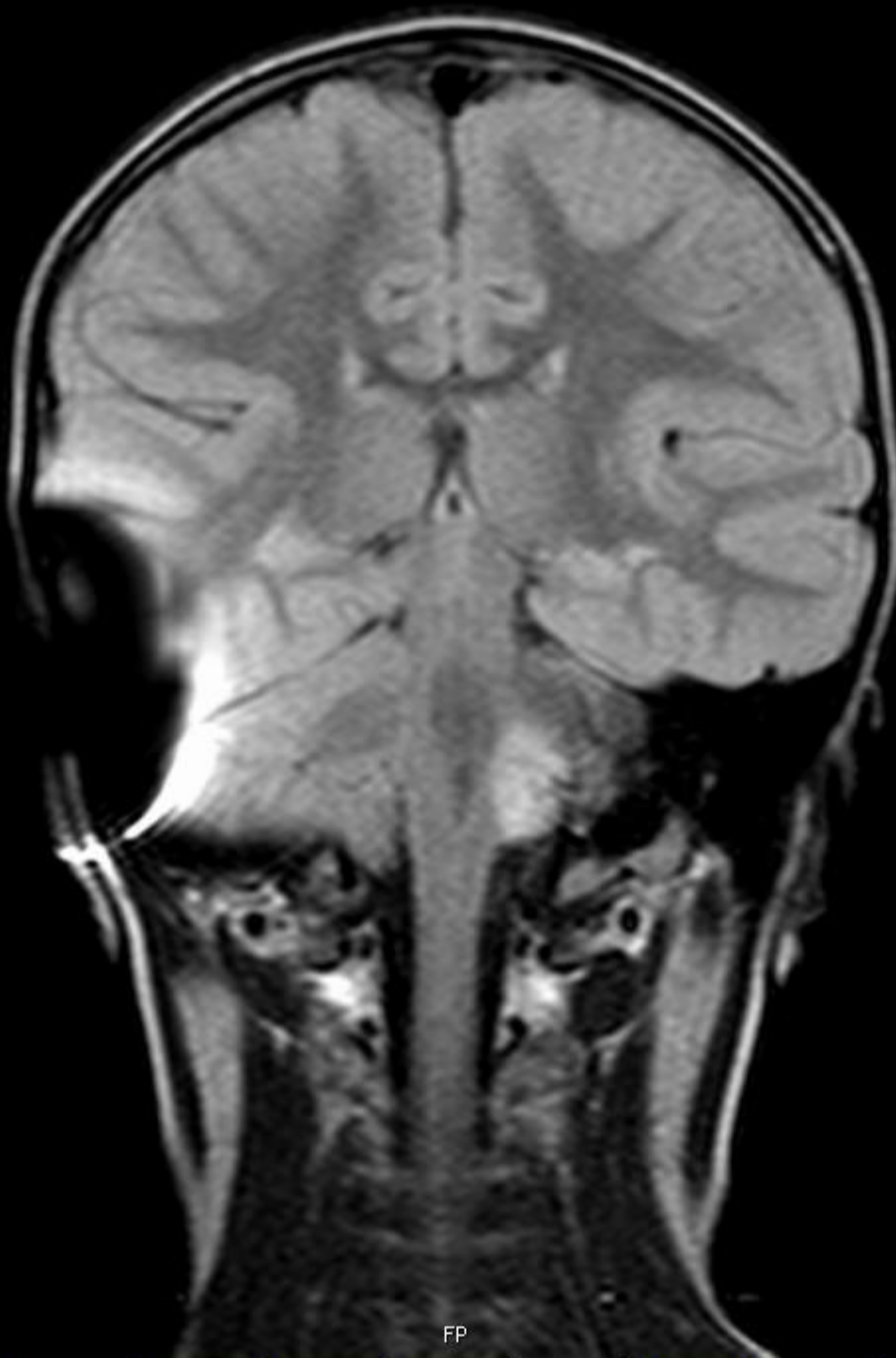
pilocytární astrocytom gr 1

adjuvantní léčba není indikována

sledování ambulantně



- 4-letá dívka, půl roku pozorují rodiče natáčení hlavy, zhoršený visus, zvracela snad přechodně při viroinfektu
- oční- myopie, oční pozadí negativní, dopor. kontroly
- při kontrole již nystagmus, neurologické vyšetření popisuje svalovou hypotonii, indikováno CT mozku



nádor dolního kmene se solidní a cysticou porcí, která prominuje do mostomozečkového koutu vlevo

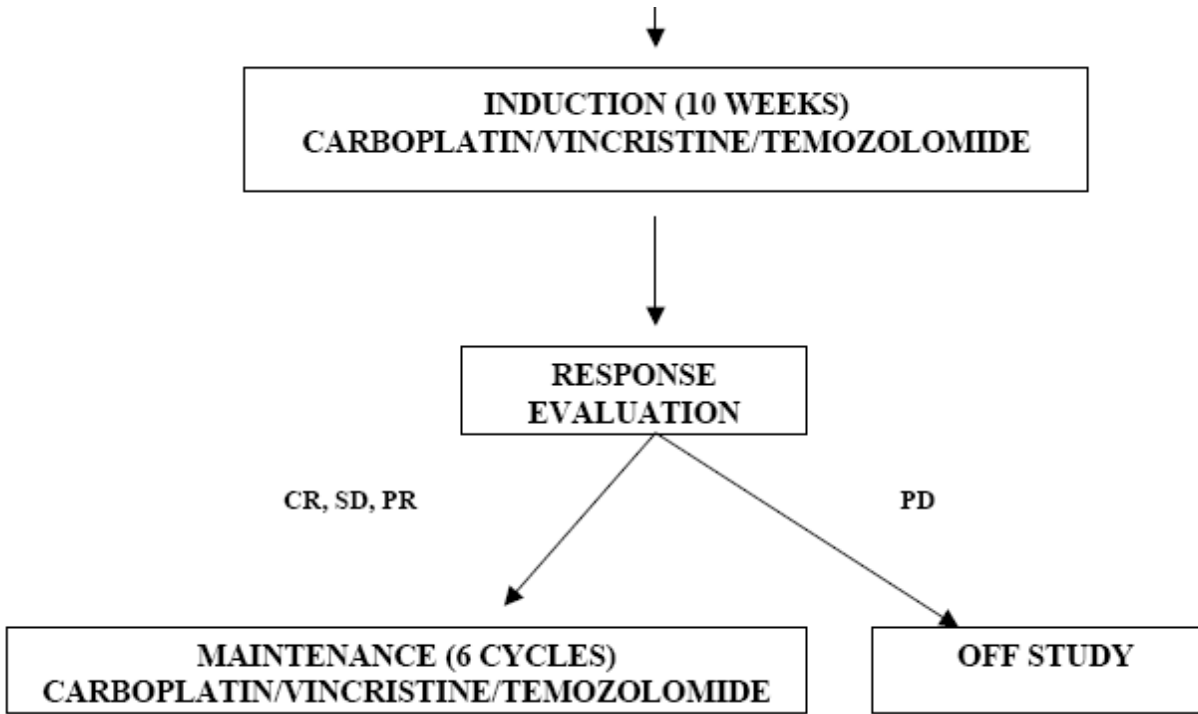
V-P shunt

parciální resekční výkon v druhé době

fibrilární astrocytom gr 2

adjuvantní léčba chemoterapií
VCR/karboplatina/temozolomid

(pro symptomatické/progredující LGG)



- opakovaná alergická reakce na karboplatinu
- proto přechod na podávání vinblastinu 1x týdnu (až 52 týdnů léčby)
- indukční chemoterapií částeční zmenšení nádoru (PR), na udržovací léčbě již bez další velikostní změny, cílem je stabilizace nemoci low dose chemoterapíí

- 2,5 letá dívka, pozoruje předměty zblízka, mamince se zdá, že „kmitá očima“
- vyloučena krátkozrakost, dg rotatorický nystagmus, patologický VEP svědčí pro lézi zrakové dráhy či nemožnost fixace, EEG norma
- oční pozadí v normě
- hraniční makrocefalie
- doporučeno MR

objemný nádor přední
a střední jámy lební
postuhující chiasma
opticum, vs
optochiasmatický
gliom, nebioptován

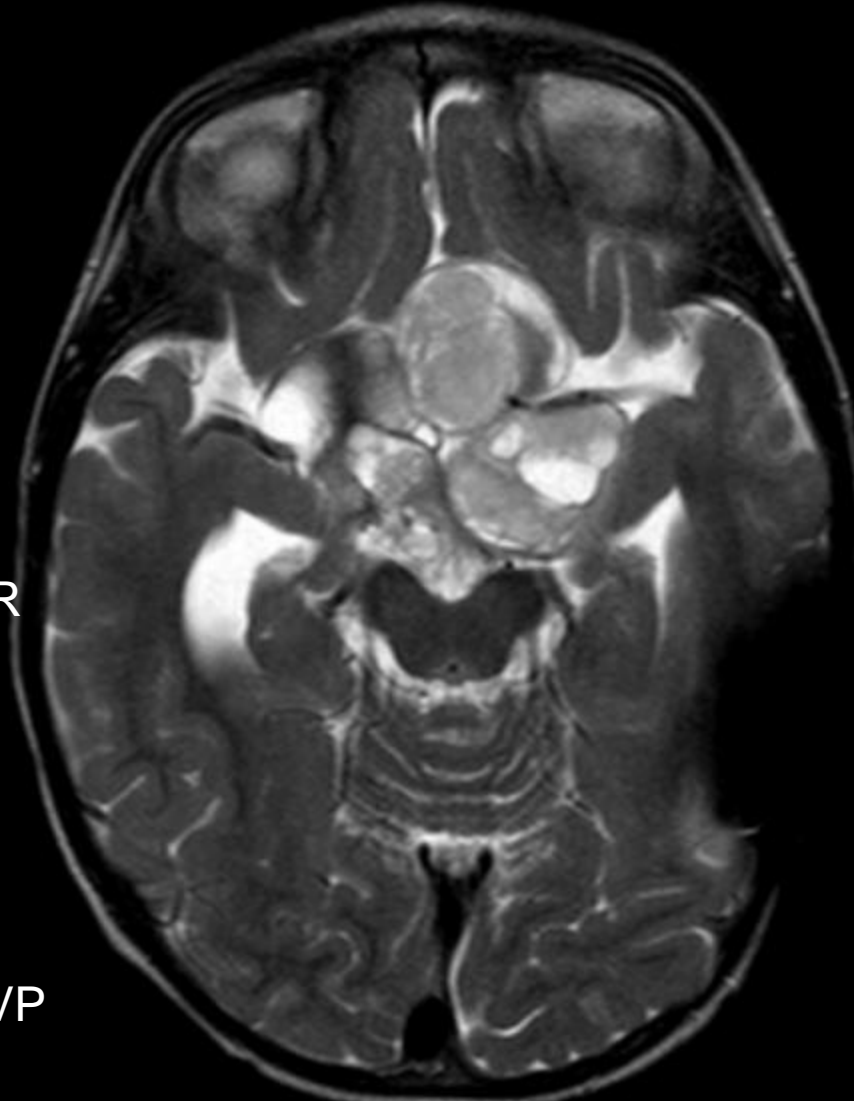
V-P shunt při ICH

léčba low dose
chemoterapií

indukcí dosaženo PR

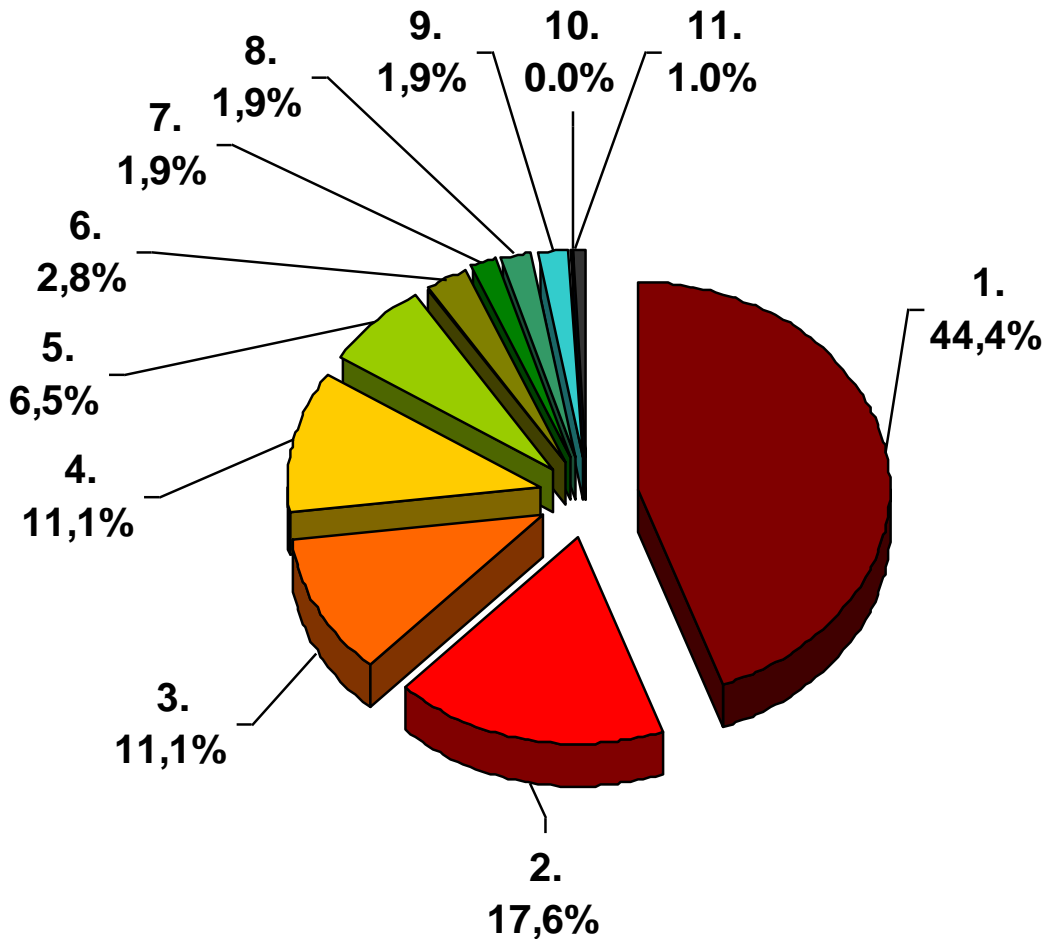
stabilní nemoc na
udržovací léčbě

biopsie (malfunkce VP
shantu): pilocytický
astocytom, gr 1



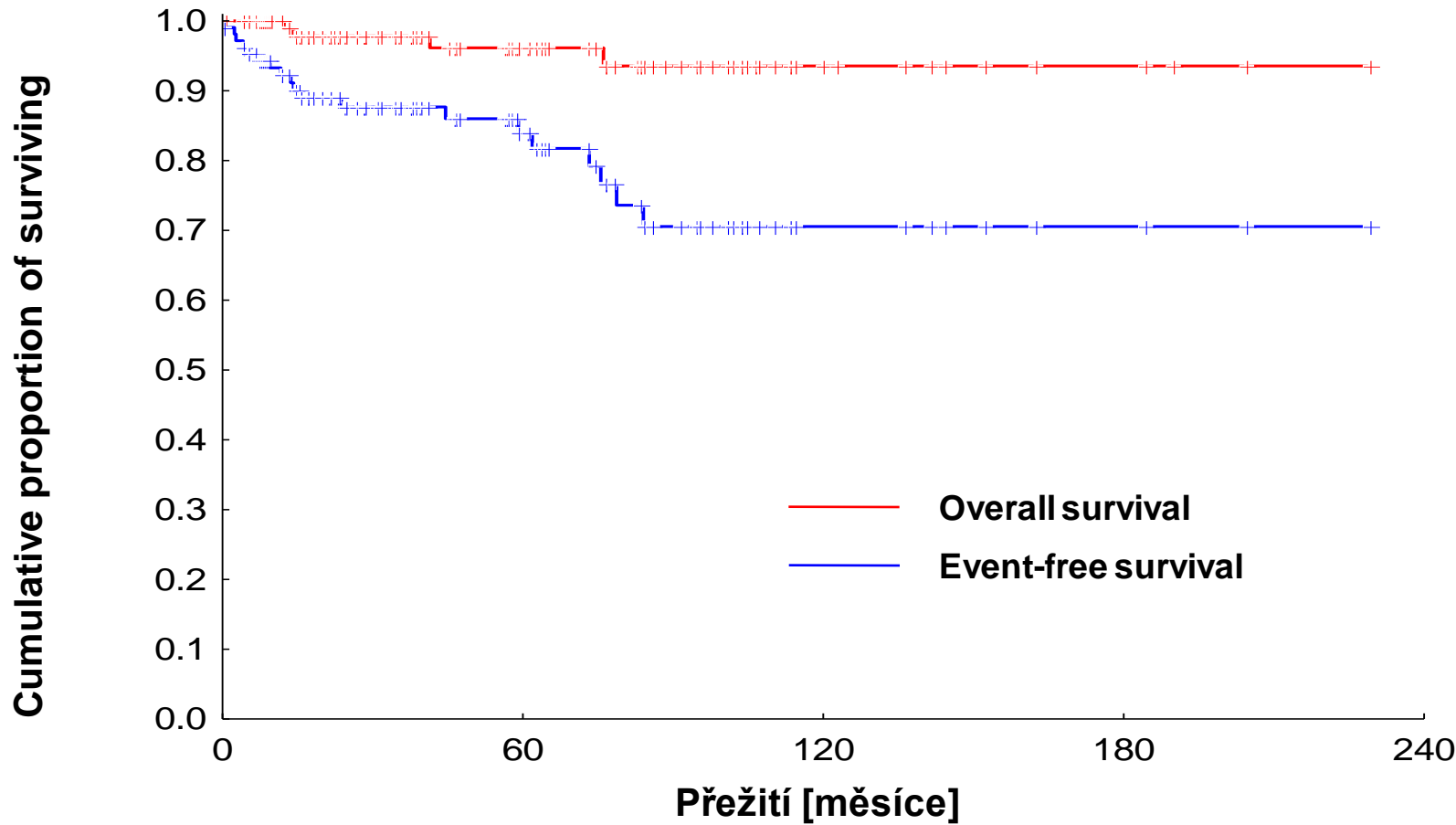
LGG, KDO, 108 pacientů

Kombinace léčebných modalit



1.	Pouze resekce
2.	Resekce + chemoterapie
3.	Resekce + Chemo + XRT
4.	Follow-up pouze
5.	Resekce + XRT
6.	Chemoterapie
7.	Resekce + XRT + gamanůž
8.	Resekce + Chemo + gama
9.	Resekce + gamanůž
10.	XRT
11.	Nepřesná data

LGG, KDO, 108 pacientů

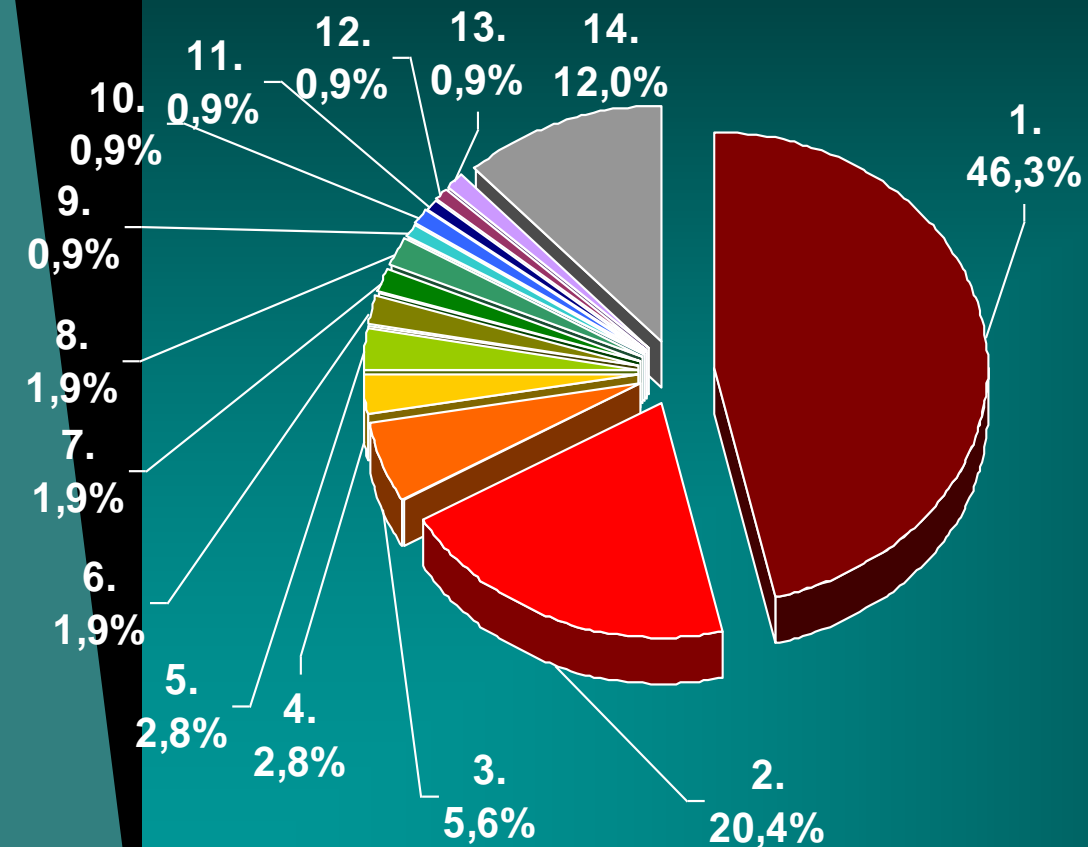


3-year OS = 97.8%, 5-year OS = 96.2%

3-year EFS = 87.6%, 5-year EFS = 83.8%

Populace pacientů II (N=108)

Histologické subtypy



1.	Pilocytický astrocytom
2.	Fibrillární astrocytom
3.	Oligodendrogiom
4.	Pilocytický / Fibrilární astrocytom
5.	Subependymální obrovskobuněčný a.
6.	Oligoastrocytom
7.	Gliomy optiku
8.	Gemistocytický astrocytom
9.	Protoplasmický astrocytom
10.	Desmoplastický astrocytom
11.	Astrocytoma (bez bližší specifikace)
12.	Gangliogliom
13.	Fibrillární / Pilocytický / Protoplasmický a. (smíšený typ)
14.	neznámo (nebioptováno)

Populace pacientů IV (N=108)

Rozsah resekce



1.	Kompletní resekce
2.	Téměř kompletní resekce
3.	Subtotální resekce
4.	Částečná resekce
5.	Biopsie
6.	Nejednoznačně specifikováno

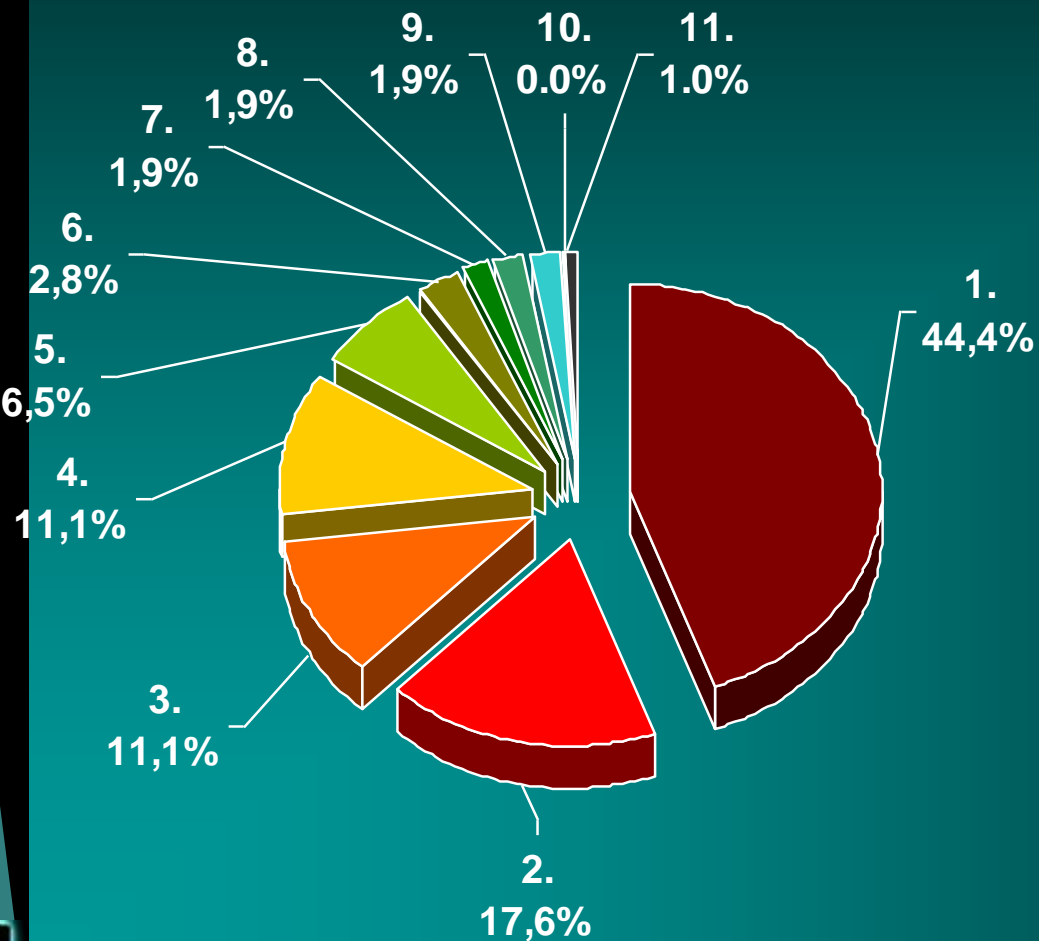
Lokalizace



1.	Hemisféry
2.	Mozeček/zadní jáma
3.	Thalamus, střední mozek
4.	Mícha
5.	Hypothalamus, optický trakt
6.	Lokálně pokročilý, metastatický

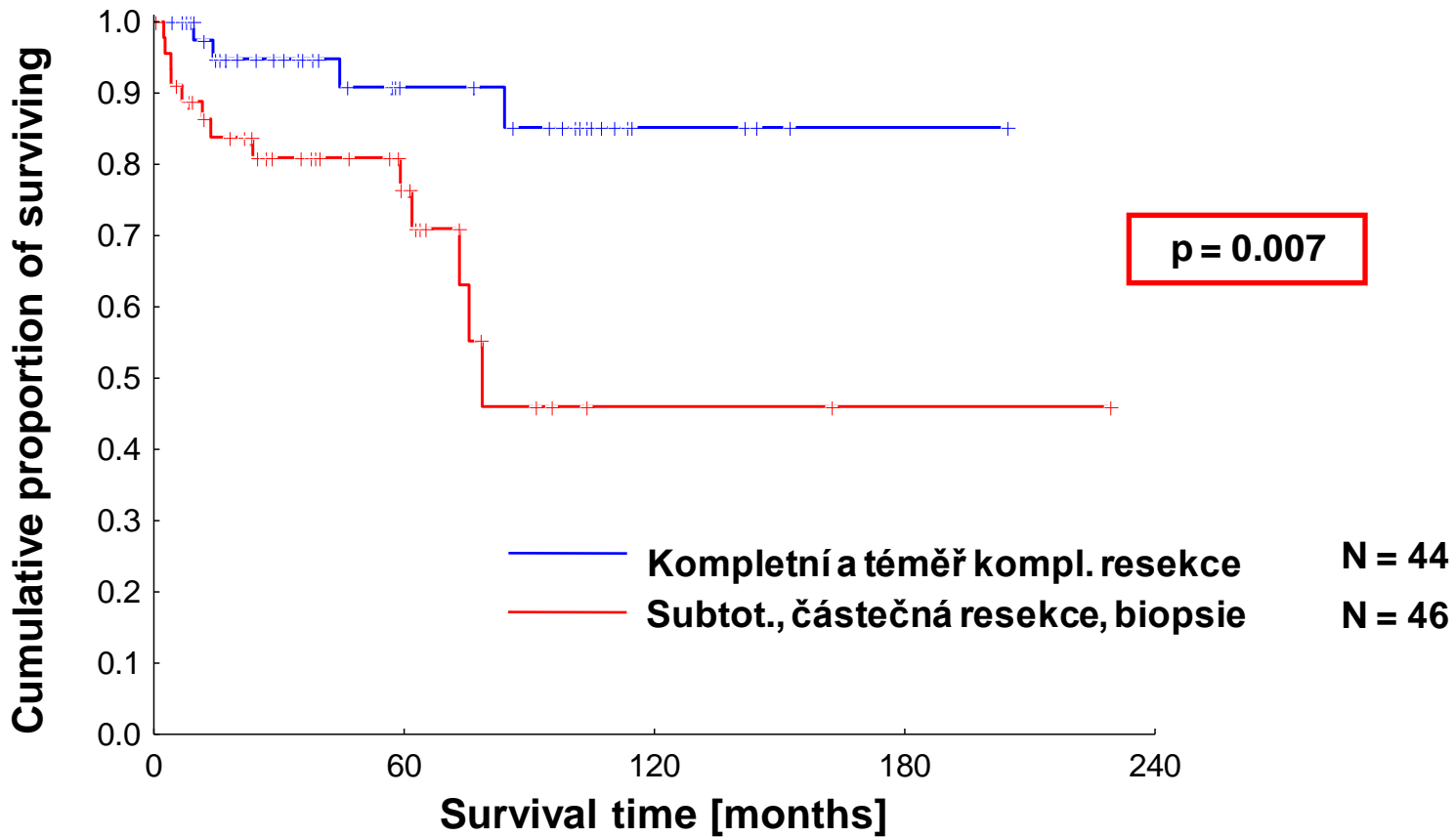
Populace pacientů V (N=108)

Kombinace léčebných modalit



1.	Pouze resekce
2.	Resekce + chemoterapie
3.	Resekce + Chemo + XRT
4.	Follow-up pouze
5.	Resekce + XRT
6.	Chemoterapie
7.	Resekce + XRT + gamanůž
8.	Resekce + Chemo + gama
9.	Resekce + gamanůž
10.	XRT
11.	Nepřesná data

Přežití bez události (EFS) dle rozsahu resekce



Median EFS for total and near-total category : cannot be estimated

Median EFS for subtotal, partial and biopsy category : 77.4 months

	Relativní incidence	Věk (roky)
Astrocytomy, low-grade, z toho: – supratentoriální lokalizace – infratentoriální lokalizace	35 % 13 % 22 %	2–10 >6 2–10
Astrocytomy, high-grade , (anaplastický astrocytom a multiformní glioblastom)	8 %	<1, >6
Nádory mozkového kmene	8 %	3–9
Oligodendrogliom	2 %	<6
Meduloblastom a další nádory embryonální histologie (supratentoriální primitivní neuroektodermální nádor, PNET, a atypický teratoid/rhabdoidní nádor, AT/RT);	20 %	1–10
Ependymom , z toho: – supratentoriální lokalizace – infratentoriální lokalizace	8–10 % 5 % 3 %	>6 1–5
Kraniofaryngeom	7 %	8–14
Nádory glandula pinealis a germinální nádory CNS	4 %	<2, >6
Nádory plexus choroideus	2 %	<1
Další: např. gangliogliom , DNET , centrální neurocytom, meningeom etc.	< 2%	

Meduloblastom (WHO gr. 4):

- 15–20 % všech nádorů CNS dětí, vyrůstá z mozečku, tvoří až 40 % všech infratentoriálních nádorů CNS dětí
- maligní nádor embryonální histologie
- vrchol výskytu kolem 4. – 6. roku života
- možnost leptomeningeálního šíření (M+ onemocnění) u přibližně třetiny případů
- vzácně i extraneurální metastázy (<2 % případů, postižení skeletu, kostní dřeně, jater, plic)
- standardní riziko(SR): dítě straší tří let po totální či „téměř“ totální resekci a bez metastatického postižení
- vysoké riziko: pacient nesplňující všechna kritéria pro onemocnění standardního rizika
- 5–leté bezpříznakové přežití (EFS): SR–meduloblastom 70–82 %, HR–meduloblastom: 30–63 %

MEDULLOBLASTOM

Věk

Residuální
nádor

Histologie

M0 / M+

Biologické
vlastnosti

standardní riziko (SR)

pacient starší 3 let,
bez přítomnosti mts
radikální resekce
resp. reziduum <1,5 cm²

vysoké riziko (HR)

pacient nesplňující výše uvedená
kritéria



(Chang et al., 1969)

M0: bez metastáz

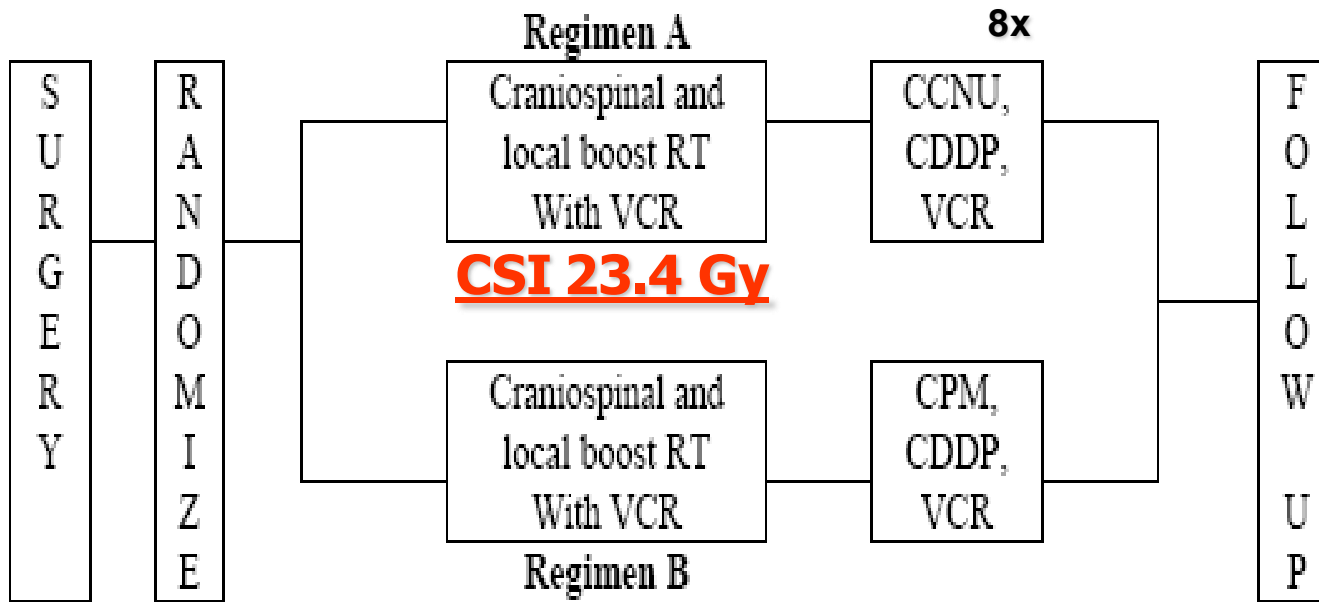
M1: mikroskopická
diseminace

M2: makroskopické
intrakraniální mts

M3: makroskopické
spinální mts

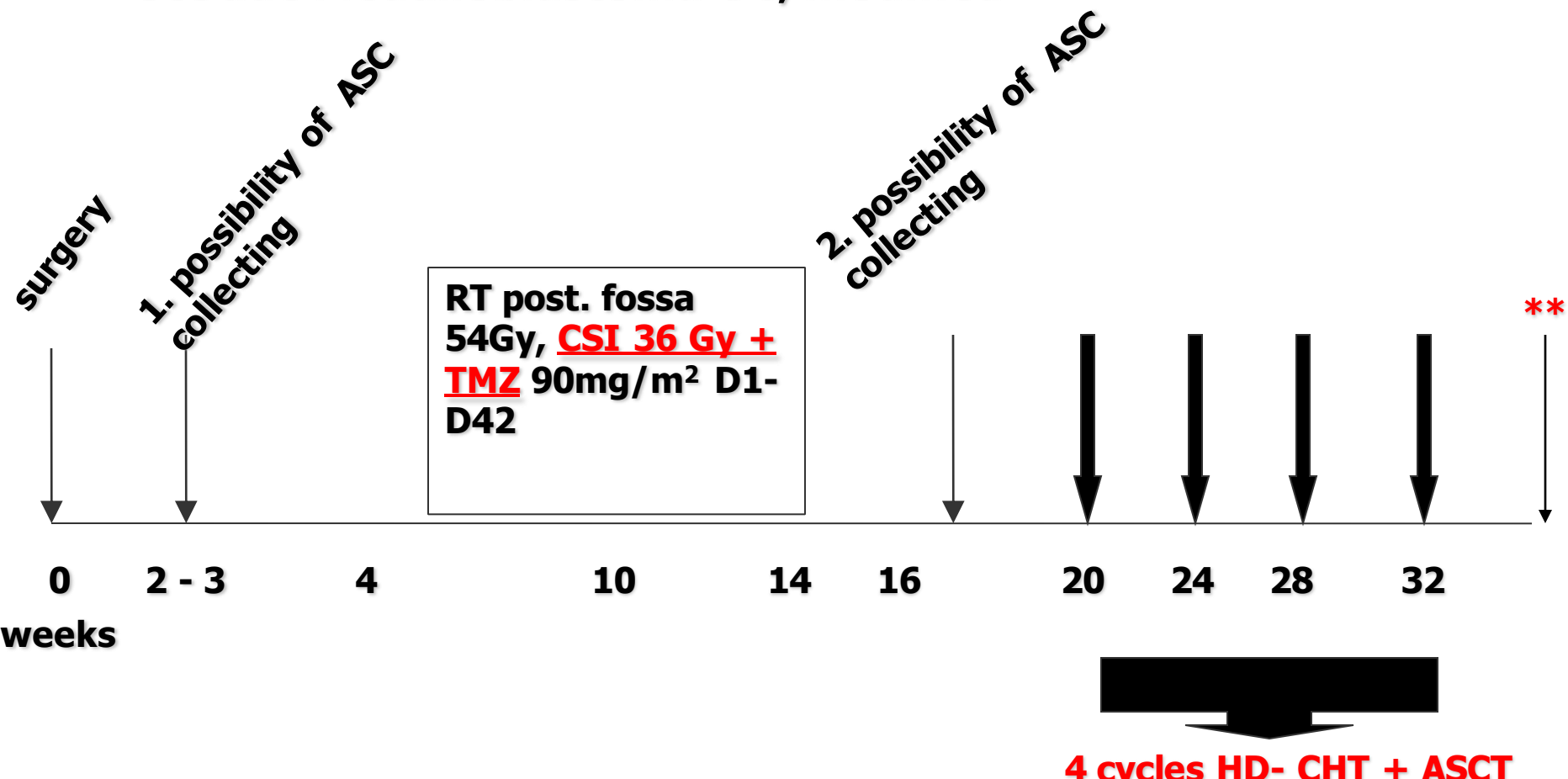
M4: extraneurální mts

SR – medulloblastom: COG A9961, Regimen A



HR – medulloblastoma:

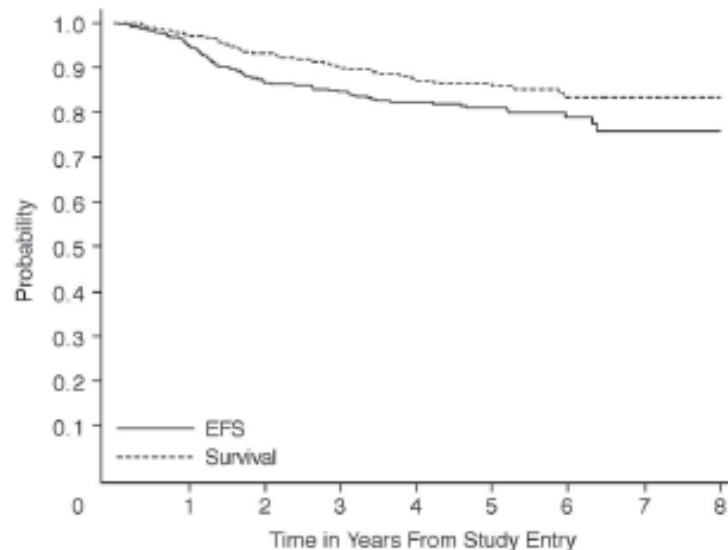
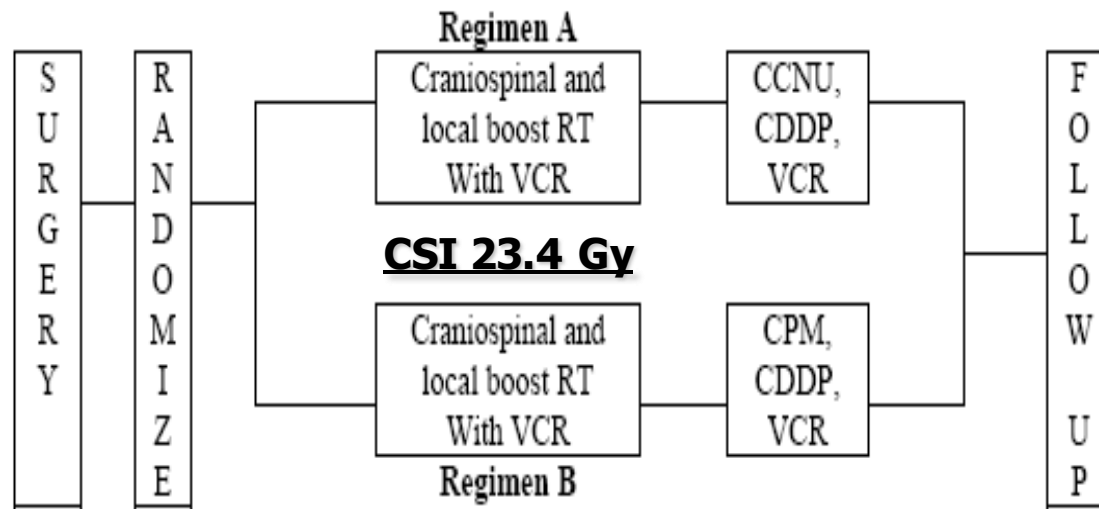
St Jude Medulloblastoma-96, modified



** 13-cis RA (Roaccutane), neuroblastoma-like

SR – meduloblastom: CCG A9961

Packer RJ et al., J Clin Oncol. 2006; 24:4202-8



Ototoxicita
nephrotoxicita
periferní polyneuropatie ...

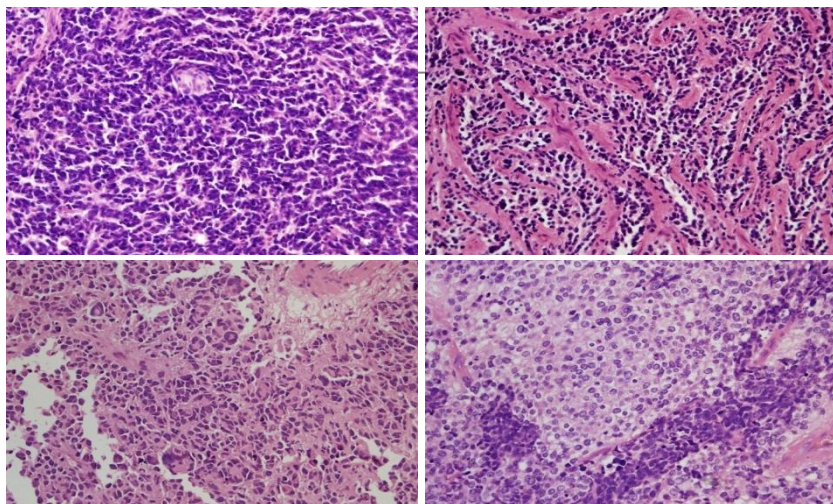
Redukce vs. intensifikace ???

Věk
Residuální
nádor

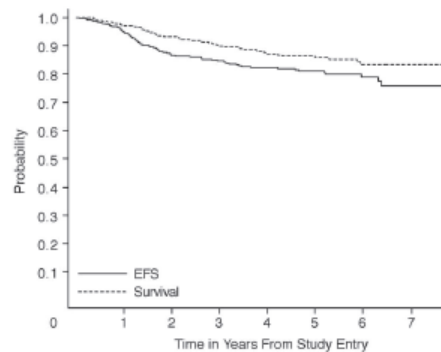
M0 /
M+

**Histologi
e**

**Biologick
é
vlastnosti**

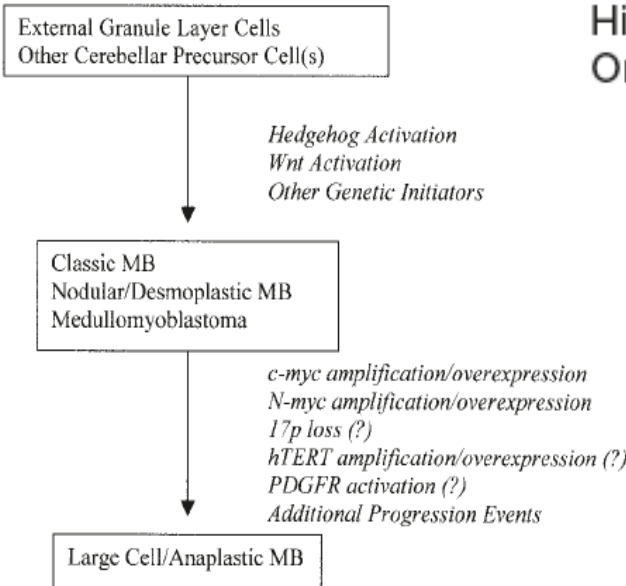


**Snaha identifikovat
biologické znaky s
prognostickým či
prediktivním významem
(biomarkery)**

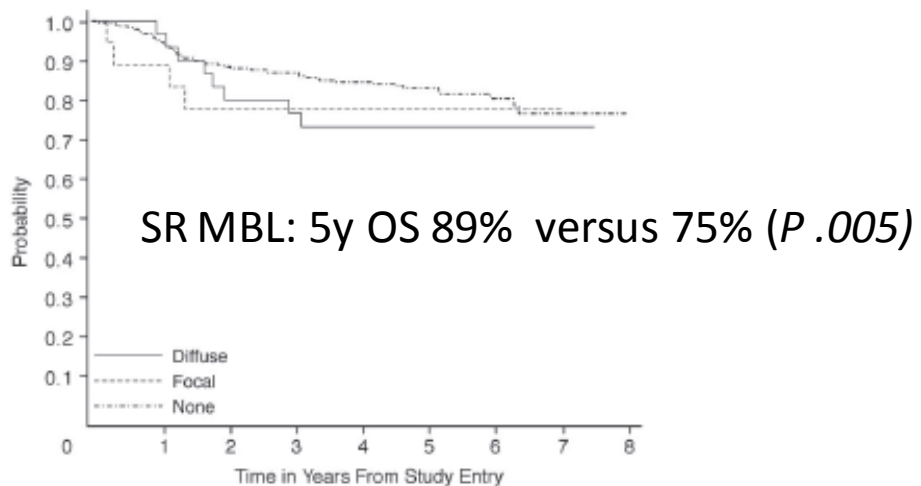
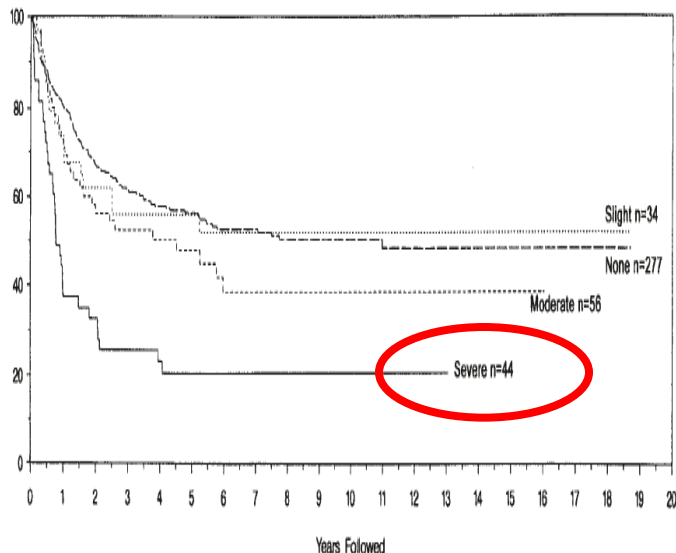
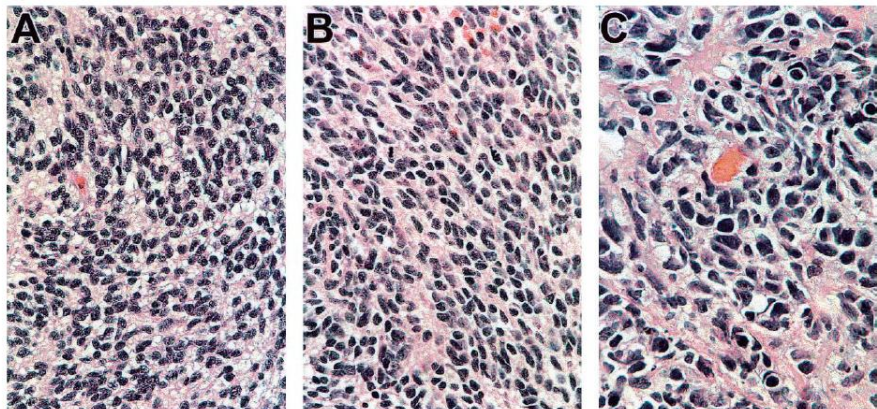


WHO 2007
Klasická varianta
Desmoplastický MB
(Extenzivní nodularita)
**Velkobuněčný MB/těžká difuzní
anaplasie**

Anaplasie



Eberhart CG, Kepner JL, Goldthwaite PT, Kun LE, Duffner PK, Friedman HS, Strother DR, Burger PC (2002) Histopathologic grading of medulloblastomas: a Pediatric Oncology Group study. *Cancer* 94:552-560.



Packer RJ et al., J Clin Oncol. 2006; 24:4202-8

Amplifikace MYCC (c-myc), MYCN (N-myc)

- rodina protoonkogenů **MYC** přispívá k tumorigenezi svým zapojením v signálních drahách regulujících proliferaci, diferenciaci a apoptózu
- Friedman HS et al. poprvé identifikoval c-myc amplifikaci u buněčné linie MB D341 v roce 1988
- následovala další pozorování **c-myc and N-myc amplifikovaných MB** (Rasheed BK et al. 1991, Badali M et al 1991, Tomlinson FH et al 1994, Bruggers CS et al. 1998, Jay V et al 1999, Kučerová H et al 2000, Gilhuis HJ et al 2000).
- pravděpodobně existuje **associace mezi LC/A fenotypem MB a MYCC/MYCN amplifikací** (Eberhart CG et al 2002, Lamont JM et al 2004).
- jednotlivá pozorování (Badali, Tomlinson, Jay) a analýzy souborů pacientů (Scheurlen WG et al 1998, Aldosari N et al 2002, Lamont JM et al. 2004 Neben K 2004) **popisují klinickou agresivitu MYC amplifikovaných nádorů**

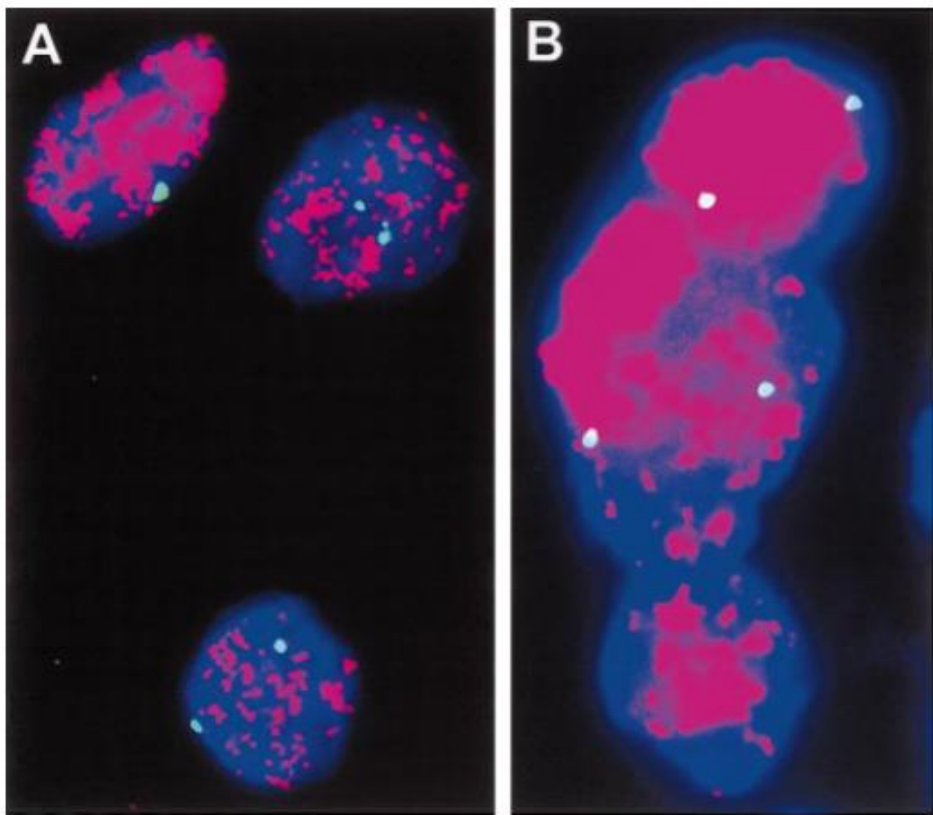


Figure 1. A, MYCC amplification (red) and centromere of chromosome 9 (green) on paraffin section. B, MYCN amplification on paraffin section (red) and the centromere of chromosome 9 (green).

„double-minutes“

„homogeneously staining regions“

MYCC and MYCN Oncogene Amplification in Medulloblastoma

A Fluorescence In Situ Hybridization Study on Paraffin Sections From the Children's Oncology Group

Naji Aldosari, PhD; Sandra H. Bigner, MD; Peter C. Burger, MD; Laurence Becker, MD; James L. Kepner, PhD; Henry S. Friedman, MD; Roger E. McLendon, MD

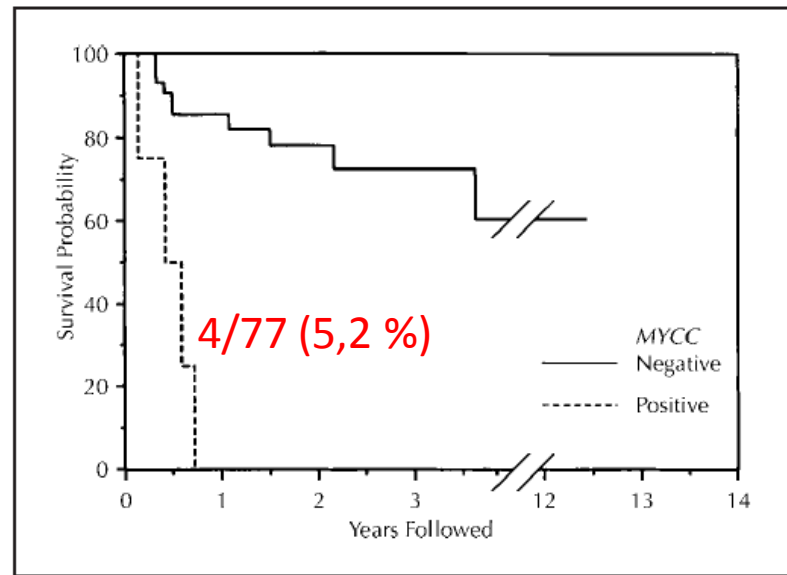


Figure 3. Survival curve comparing survival times of patients whose tumors exhibited MYCC amplification (dotted line) with those from patients with normal MYCC status (straight line).

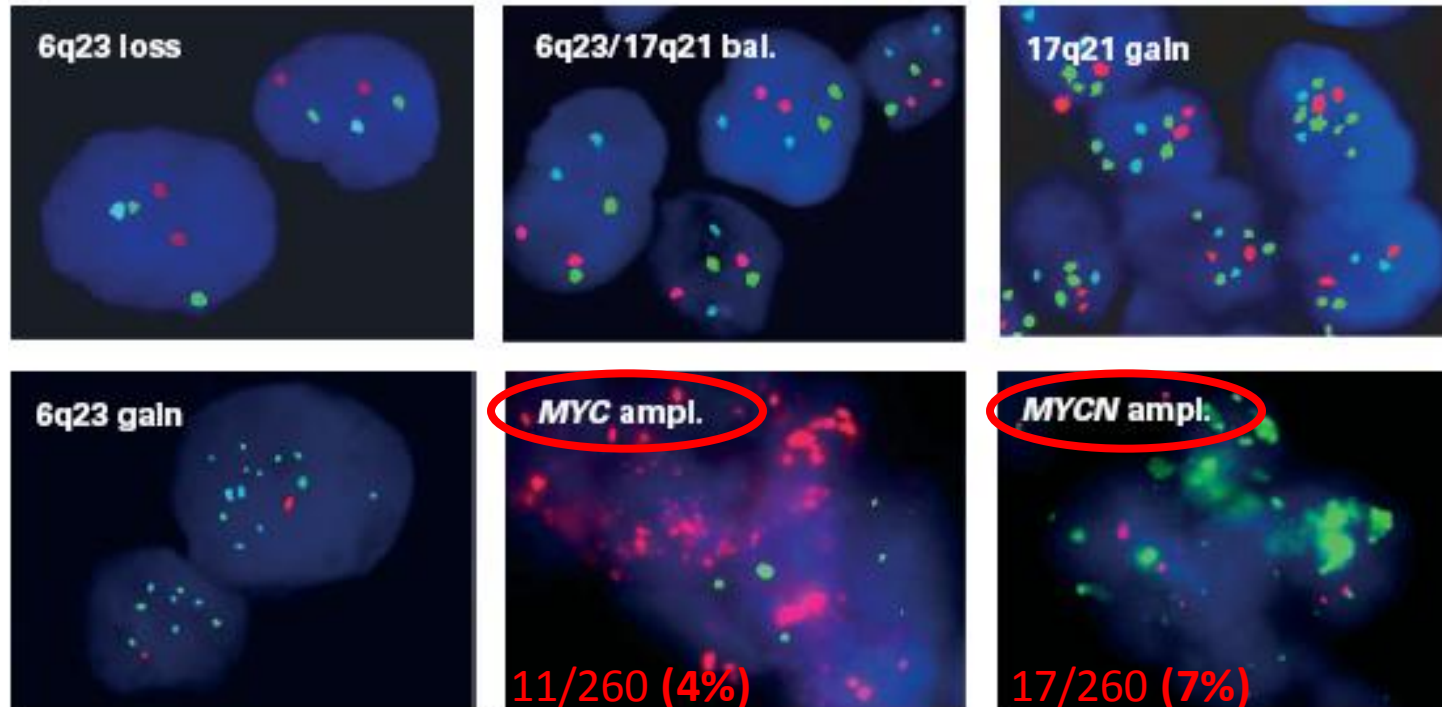
Outcome Prediction in Pediatric Medulloblastoma Based on DNA Copy-Number Aberrations of Chromosomes 6q and 17q and the MYC and MYCN Loci

Stefan Pfister, Marc Remke, Axel Benner, Frank Mendrzyk, Grischa Toedt, Jörg Felsberg, Andrea Wittmann, Frauke Devens, Nicolas U. Gerber, Stefan Joos, Andreas Kulozik, Guido Reifenberger, Stefan Rutkowski, Otmar D. Wiestler, Bernhard Radlwimmer, Wolfram Scheurlen, Peter Lichter, and Andrey Korshunov

VOLUME 27 • NUMBER 10 • APRIL 2009

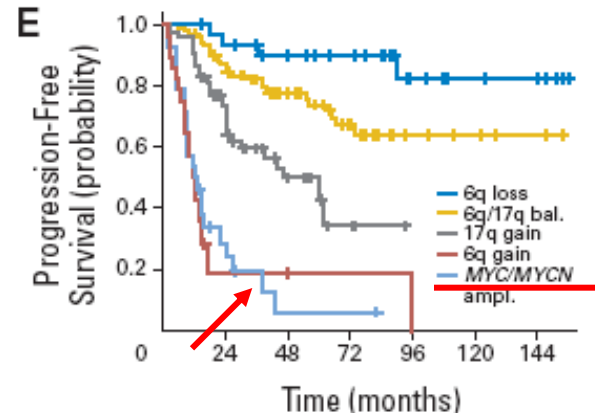
JOURNAL OF CLINICAL ONCOLOGY

ORIGINAL REPORT



n= 260

Variable	No.	%	Estimated 5-Year OS (%)	95% CI (%)	Log-Rank Test, Adjusted P
MYC/MYCN					
Amplified	28	11	13	3 to 33	< .001
Not amplified	232	89	77	70 to 83	



MYCC/MYCN considered amplified, when more than 10% of tumor cells exhibited:

(i) more than 8 signals of the probe

(ii) innumerable clusters

WNT signální dráha jaderná akumulace beta-cateninu

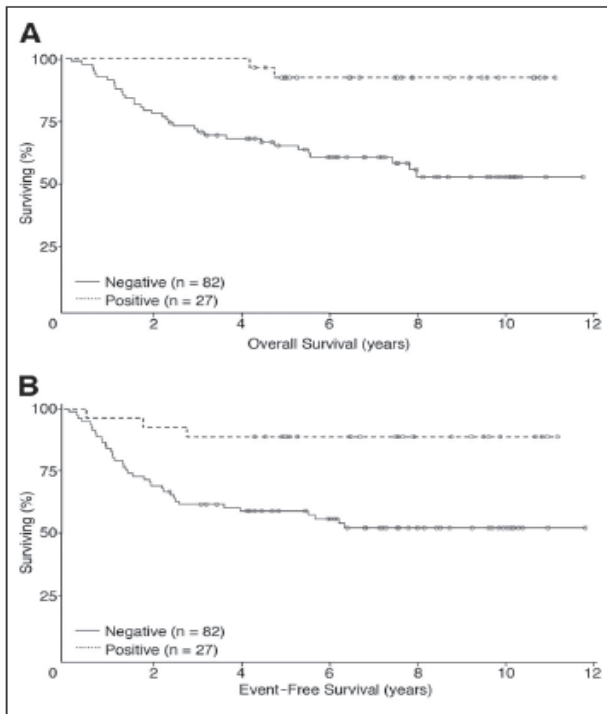
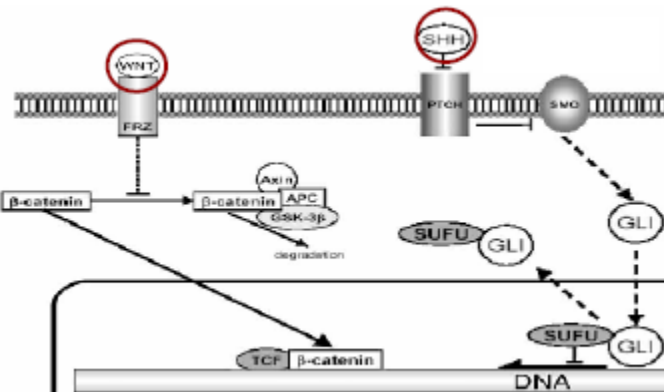
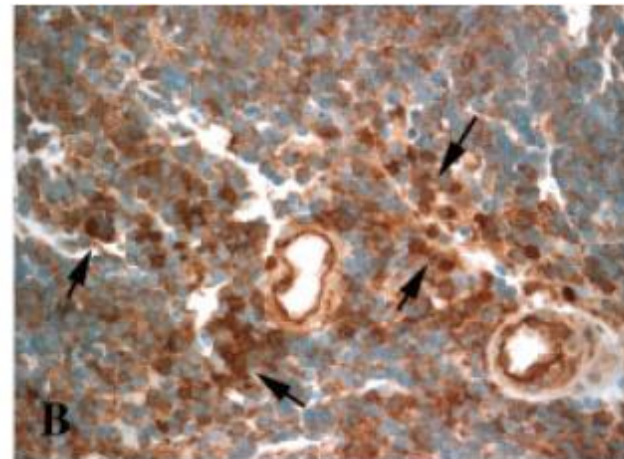


Fig 2. Kaplan-Meier overall (A) and event-free (B) survival curves for children with β -catenin nucleopositive/nucleonegative medulloblastomas ($P = .0015$ for OS, $P = .0026$ for EFS; logrank tests).



VOLUME 23 • NUMBER 31 • NOVEMBER 1 2005

JOURNAL OF CLINICAL ONCOLOGY

ORIGINAL REPORT

β -Catenin Status Predicts a Favorable Outcome in Childhood Medulloblastoma: The United Kingdom Children's Cancer Study Group Brain Tumour Committee

David W. Ellison, Olabisi E. Onilude, Janet C. Lindsey, Meryl E. Lusher, Claire L. Weston, Roger E. Taylor, Andrew D. Pearson, and Steven C. Clifford

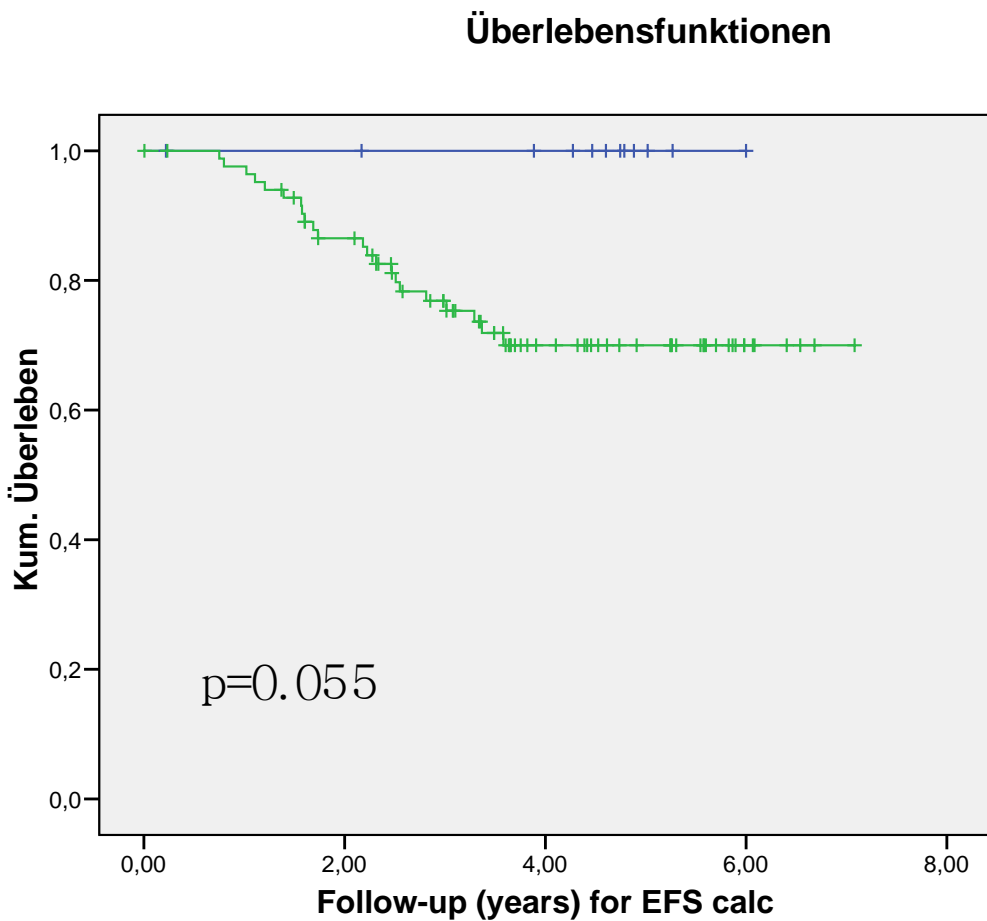
cca 1/4 případů vykazuje jadernou akulumaci

dvě a více nezávislých studií:

- velkobuněčný MB / těžká anaplasie (LC/A)
- MYC (c-myc, N-myc) amplifikace
- Jaderná akumulace beta-cateninu
- Desmoplasie (děti pod 3 roky)

PNET4 Biological Markers

HIT-Series (n=173 in total analysis)



Favorable (0/12): 5 yr EFS 100%:

- no LCA
- β -catenin +
- no myc amplif (PCR)
- no residual TU > 1.5

Non favorable (22/85): 5 yr EFS 70%

> 3 ROKY
Bez
rezidua,
<1.5cm²

M0

Koncept vznikající Phase II studie, SIOP-E (Rutkowski et al.)

PACIENTI KLINICKY STANDARDNÍHO RIZIKA

Nízké riziko (PNET-5 draft)

Redukce

Radioterapie
(CSI 23,4Gy, IF, no VCR)

Chemoterapie
(redukce)

Vysoké riziko (PNET-6 draft)

Intensifikace

Radioterapie
± Chemoterapie

Chemoterapie

PNET 5: OP

RT 54 Gy (inv. field)
23,4 Gy CSA (no VCR)

ABABAB

A: Cisplatin 70 mg/m² day 1, CCNU 75 mg/m² day 1, VCR 1.5 mg/m² days 1, 8 and 15

B: Cyclophosphamide (2 x 1000 mg/m² days 1-2), VCR 1.5 mg/m² (day 1)

Interval after cycle A: 6 weeks, after cycle B: 3 weeks

=> total duration of chemo: 27 weeks (PNET5)

	PNET4	PNET5
cDDP	560 mg/m ²	210 mg/m ²
CCNU	600 mg/m ²	225 mg/m ²
VCR	45 mg/m ² (incl 6x with RT)	13.5 mg/m ²
CPM	-	6 g/m ²

Kritéria příznivého
biologického profilu splní
cca 10 % všech
meduloblastomů standardního
rizika

Logistika: CENTRÁLNÍ REVIEW , SPOLEČNÉ LABORATORNÍ POSTUPY-SOP

Operace

Nativní tkáň nádoru

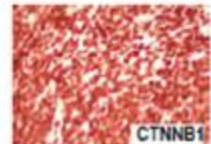
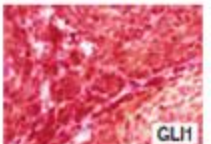
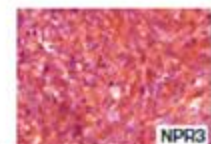
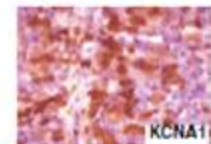
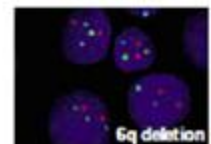
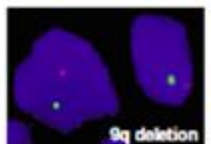
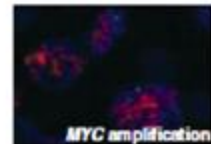
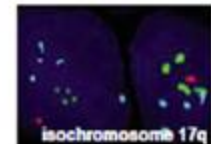
Zhodnocení patologem
ODDĚLENÍ TKÁNĚ
PRO BIOLOGICKÉ
STUDIE

Definitivní histologie

beta-catenin IHC
LC/A

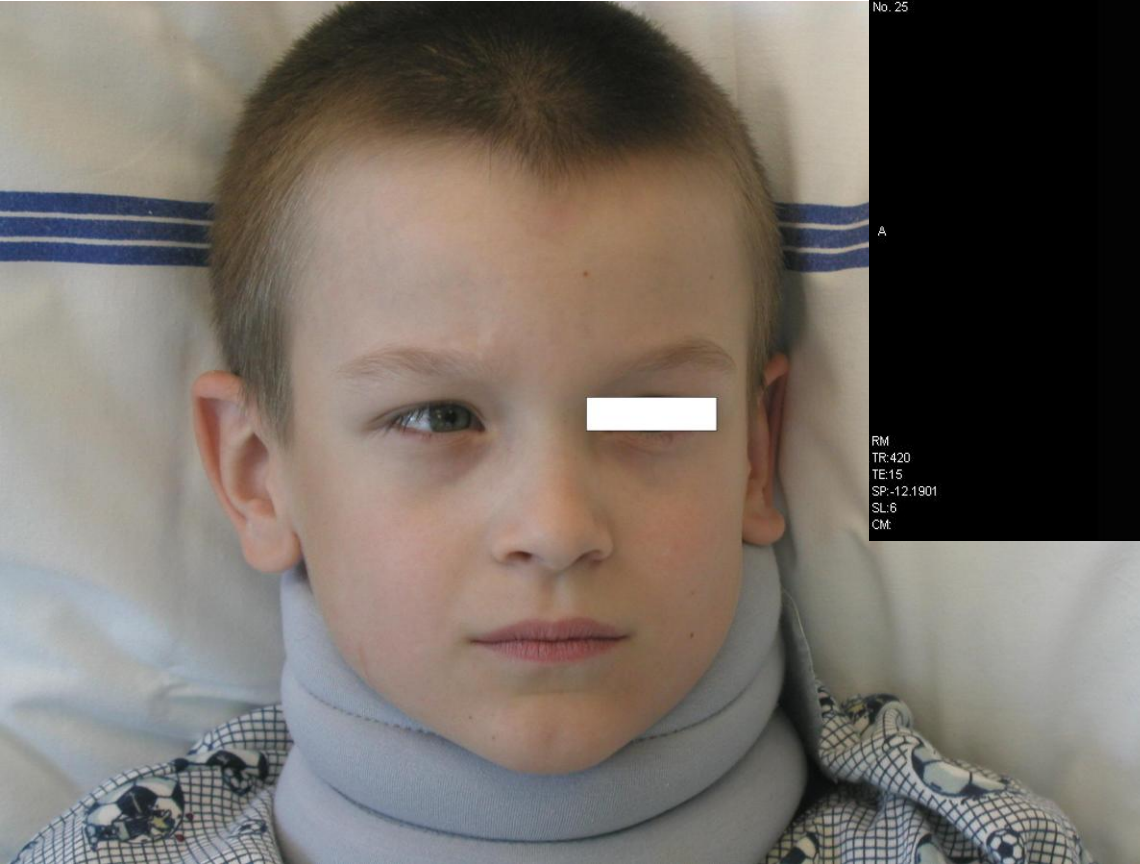
- Sterilní odběr reprezentativního vzorku tkáně do kultivačního média
 - Kultivace tkáně pro metafázni analýzy
 - G-banding, SKY
- Zamražení tkáně v tekutém dusíku a následné uchování při -86°C
 - FISH

Zahájení léčby do 3(4) týdnů od dg !

Podtyp	Kool Northcott	A WNT	B SHH	E Skupina C	CD Skupina D
Expresní profil		WNT / TGF signaling NOTCH / PDGF signaling Cell cycle proteins ↑ 	SHH signaling NOTCH / PDGF signaling Cell cycle proteins ↑ 	Fotoreceptorové markery Cell cycle proteins ↑ 	Neuronální a fotoreceptorové markery Cell cycle proteins ↑ 
Genetická charakteristika		- 6 <i>CTNNB1</i> mutations 	- 9q <i>MYCN</i> ampl. <i>PTCH / SMO / SUFU</i> mutations 	i(17q), -X, +18 <i>MYC</i> ampl. 	i(17q), -8, -X, +18 <i>MYCN</i> ampl. 
Podtyp		Klasický	Desmoplastický Klasický	Klasický/ anaplastický	Klasický/ anaplastický
Metastazování		Zřídka metastatický	Zřídka metastatický	Často metastatický	Často metastatický
Věk		Starší děti	Pod 3 r., dospělý	Mladší děti	Děti
Prognóza		Velmi dobrá	Pod 3 r. - uspokojivá Starší – středně dobrá	Špatná	Střední

	Relativní incidence	Věk (roky)
Astrocytomy, low-grade, z toho: – supratentoriální lokalizace – infratentoriální lokalizace	35 % 13 % 22 %	2–10 >6 2–10
Astrocytomy, high-grade , (anaplastický astrocytom a multiformní glioblastom)	8 %	<1, >6
Nádory mozkového kmene	8 %	3–9
Oligodendrogliom	2 %	<6
Meduloblastom a další nádory embryonální histologie (supratentoriální primitivní neuroektodermální nádor, PNET, a atypický teratoid/rhabdoidní nádor, AT/RT);	20 %	1–10
Ependymom , z toho: – supratentoriální lokalizace – infratentoriální lokalizace	8–10 % 5 % 3 %	>6 1–5
Kraniofaryngeom	7 %	8–14
Nádory glandula pinealis a germinální nádory CNS	4 %	<2, >6
Nádory plexus choroideus	2 %	<1
Další: např. gangliogliom , DNET , centrální neurocytom, meningeom etc.	< 2%	

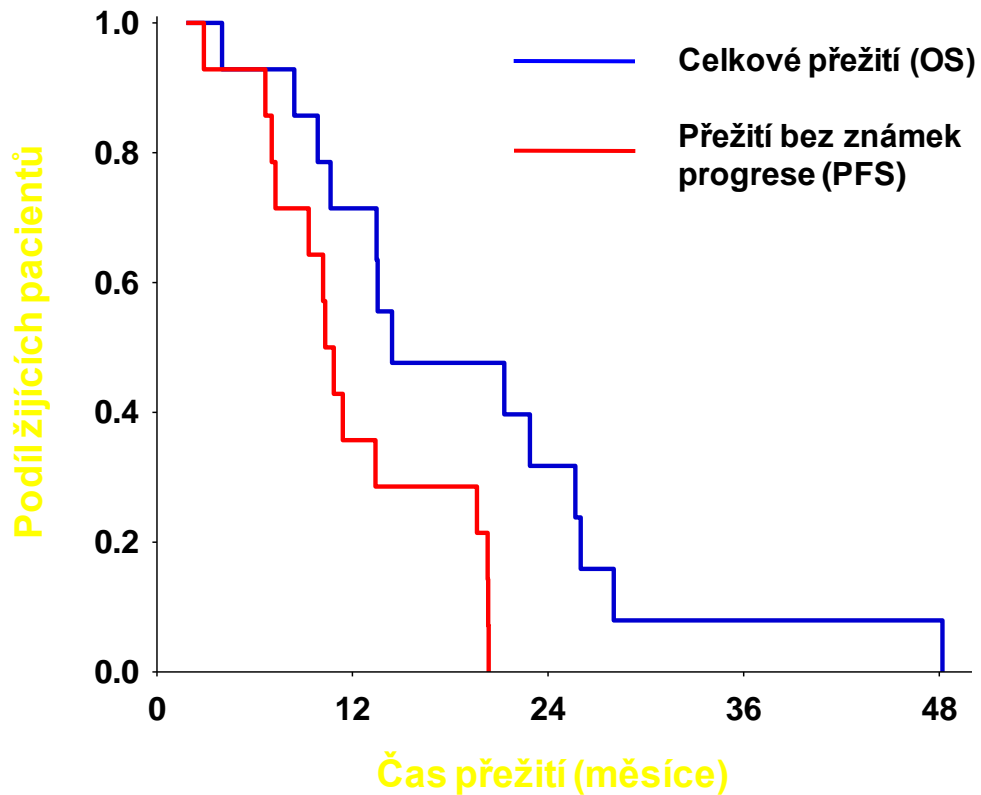
Difuzní gliomy mozkového kmene



5 letý chlapec s 10 denní historií ataxie, strabismu l. dx., poruchy řeči a polykání

- – **difúzní pontinní gliomy**, 8 % nádorů CNS dětí, representují 80 % všech pediatrických tumorů mozkového kmene, **inoperabilní, léčba se zahajuje na základě typického nálezu na MRI**
- medián přežití do progrese činí cca 6 měsíců, méně než 10 % dětí přežívá dva roky od diagnózy

Celkové přežití (OS) a přežití bez známek progrese (PFS)

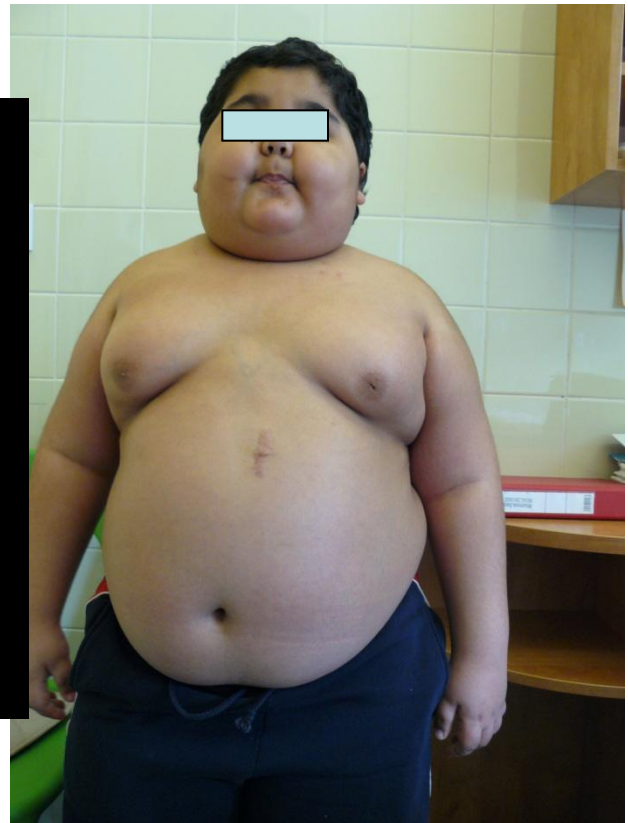


1leté OS = 71,4%, 2leté OS = 31,7%

Medián PFS: 10,3 měsíců, 1leté PFS = 35,7%, 2leté PFS = 0,0%

	Relativní incidence	Věk (roky)
<u>Astrocytomy, low-grade,</u> z toho: – supratentoriální lokalizace – infratentoriální lokalizace	35 % 13 % 22 %	2–10 >6 2–10
<u>Astrocytomy, high-grade,</u> (anaplastický astrocytom a multiformní glioblastom)	8 %	<1, >6
<u>Nádory mozkového kmene</u>	8 %	3–9
Oligodendrogliom	2 %	<6
<u>Meduloblastom</u> a další nádory embryonální histologie (supratentoriální primitivní neuroektodermální nádor, PNET, a atypický teratoid/rhabdoidní nádor, AT/RT);	20 %	1–10
<u>Ependymom,</u> z toho: – supratentoriální lokalizace – infratentoriální lokalizace	8–10 % 5 % 3 %	>6 1–5
Kraniofaryngeom	7 %	8–14
Nádory glandula pinealis a germinální nádory CNS	4 %	<2, >6
Nádory plexus choroideus	2 %	<1
Další: např. gangliogliom, DNET , centrální neurocytom, meningiom etc.	< 2%	

- **kraniofaryngeom** – 6–9 % primárních nádorů CNS dětí – bimodální věková distribuce, v dětství mezi 5–10 rokem, v dospělosti mezi 50–65 rokem věku
- **nádor vyrůstá v selární a supraselární oblasti** – histologicky benigní nádor, ale maligní svou lokalizací a růstem (destrukce okolních struktur) –
- terapie neurochirurgickou resekcí (agresivní chirurgický přístup by však neměl být volen pro svoji morbiditu), u inkompletně resekovaných následuje radioterapie – neuroendokrinní poruchy u intraselárního postižení, oční poruchy u prechiasmatického postižení



9letý chlapec, 3 letá anamnéza progresivní obezity, ztráty zraku, růstové retardace, diabetes insipidus

Poškození kritických struktur CNS nádorem nebo nežádoucím následkem neurochirurgického či radioterapeutického zákroku.

Poškození endokrinní

Poškození zrakové

Poškození hypotalamické

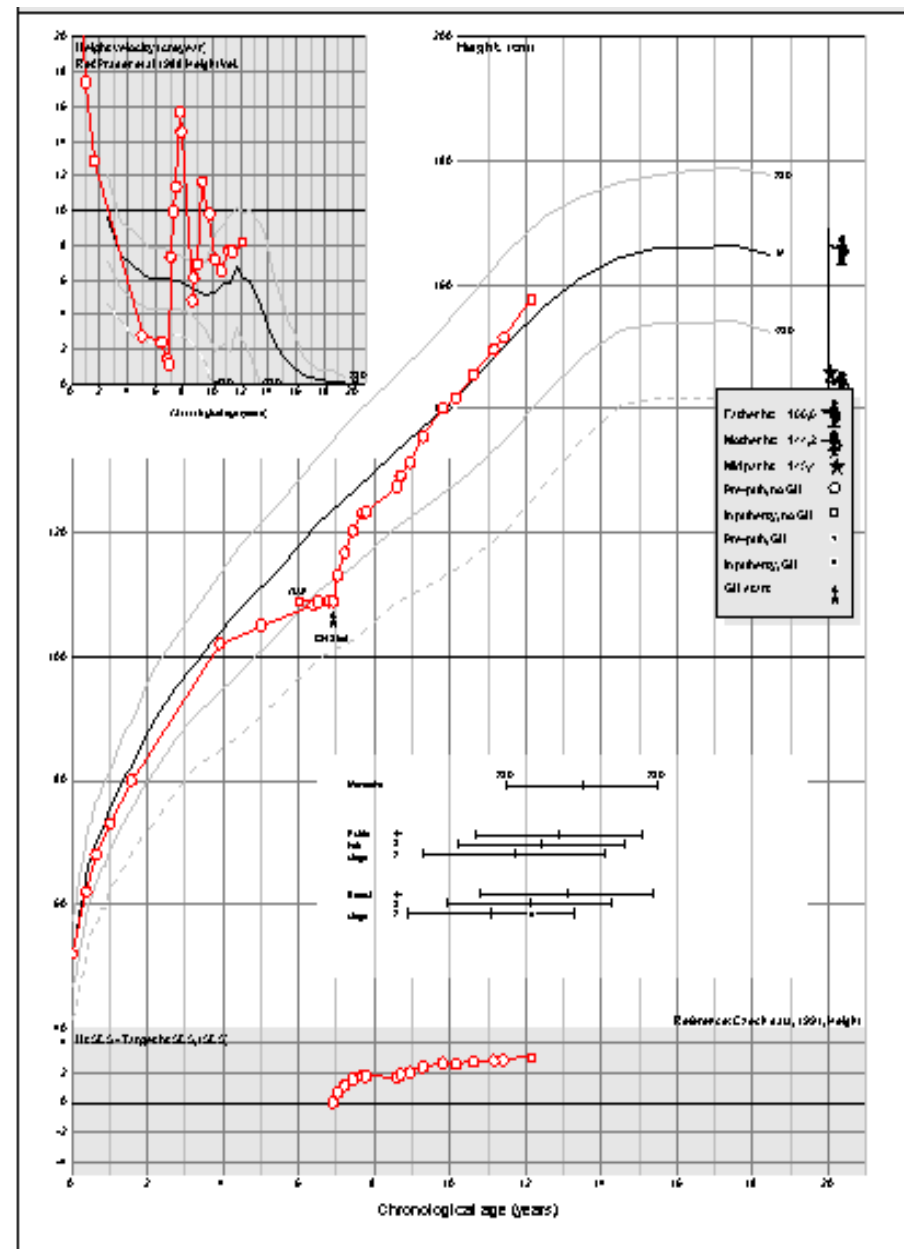
Porucha růstu předchází diagnosu KF

Parciální/kompletní hypopituitarismus

Diabetes insipidus

Hypotalamické poruchy:

Hyperfagie a nekontrolovaná obesita,
Poruchy žízně a regulace vody,
Poruchy chování a emocí, Poruchy neuropsychologické a kognitivní
Porucha termoregulace
Poruchy spánku



	Relativní incidence	Věk (roky)
<u>Astrocytomy, low-grade,</u> z toho: – supratentoriální lokalizace – infratentoriální lokalizace	35 % 13 % 22 %	2–10 >6 2–10
<u>Astrocytomy, high-grade,</u> (anaplastický astrocytom a multiformní glioblastom)	8 %	<1, >6
<u>Nádory mozkového kmene</u>	8 %	3–9
Oligodendrogliom	2 %	<6
<u>Meduloblastom</u> a další nádory embryonální histologie (supratentoriální primitivní neuroektodermální nádor, PNET, a atypický teratoid/rhabdoidní nádor, AT/RT);	20 %	1–10
Ependymom, z toho: – supratentoriální lokalizace – infratentoriální lokalizace	8–10 % 5 % 3 %	>6 1–5
Kraniofaryngeom	7 %	8–14
Nádory glandula pinealis a germinální nádory CNS	4 %	<2, >6
Nádory plexus choroideus	2 %	<1
Další: např. gangliogliom, DNET , centrální neurocytom, meningeom etc.	< 2%	

Závěr

- Nádory CNS *nejsou* časté, ale jsou nejčastější skupinou solidních nádorů u dětí, u dospělých jsou spjaty s významnou mortalitou a morbiditou
- Musí na ně **být pamatováno v diferenciální diagnostice bolestí hlavy**, především horší-li se v čase, či vždy, je-li nově přítomen patologický neurologický nález
- I nepatrné odchylky mohou být důležité (!)
- “**člověk spíše nepřehlédne to, po čem aktivně pátrá**“

Závěr

- Léčebné výsledky nejsou tak špatné, za jaké bývají obecně považovány
- Nutná je mezioborová spolupráce, „neuro-onkologický tým“
- Optimální je diagnostika a léčba v onkologických centrech (efektivní diagnostika, včetně molekulárně-genetického vyšetření nádoru, což samo o sobě může mít pro léčebný a prognostický dopad)

Závěr

- Astrocytomy nízkého stupně malignity jsou v případě radikálního odstranění nádoru prognosticky příznivým onemocněním
- Pacienti s high-grade astrocytomy mají prognózu špatnou a jsou popřípadě kandidáty experimentální terapie
- Děti s meduloblastomem, ependymomem či intrakraniálním germinálním nádorem CNS mají za použití multimodální léčby více jak 70% šanci na dlouhodobé přežití
- **Kvalita přežití je jedním z cílů, především v pediatrické onkologii**